

Zulassungsstelle für Bauprodukte und Bauarten

Bautechnisches Prüfamt

Eine vom Bund und den Ländern
gemeinsam getragene Anstalt des öffentlichen Rechts



Europäische Technische Bewertung

ETA-21/0170
vom 13. Februar 2021

Allgemeiner Teil

Technische Bewertungsstelle, die die Europäische Technische Bewertung ausstellt

Deutsches Institut für Bautechnik

Handelsname des Bauprodukts

Soudal Injektionssystem VE-SF

Produktfamilie,
zu der das Bauprodukt gehört

Metall-Injektionsdübel zur Verankerung im Mauerwerk

Hersteller

SOUDAL N.V.
Everdongenlaan 18-20
2300 Turnhout
BELGIEN

Herstellungsbetrieb

SOUDAL

Diese Europäische Technische Bewertung enthält

66 Seiten, davon 3 Anhänge, die fester Bestandteil dieser Bewertung sind.

Diese Europäische Technische Bewertung wird ausgestellt gemäß der Verordnung (EU) Nr. 305/2011, auf der Grundlage von

EAD 330076-00-0604, Edition 11/2017

Die Europäische Technische Bewertung wird von der Technischen Bewertungsstelle in ihrer Amtssprache ausgestellt. Übersetzungen dieser Europäischen Technischen Bewertung in andere Sprachen müssen dem Original vollständig entsprechen und müssen als solche gekennzeichnet sein.

Diese Europäische Technische Bewertung darf, auch bei elektronischer Übermittlung, nur vollständig und ungekürzt wiedergegeben werden. Nur mit schriftlicher Zustimmung der ausstellenden Technischen Bewertungsstelle kann eine teilweise Wiedergabe erfolgen. Jede teilweise Wiedergabe ist als solche zu kennzeichnen.

Die ausstellende Technische Bewertungsstelle kann diese Europäische Technische Bewertung widerrufen, insbesondere nach Unterrichtung durch die Kommission gemäß Artikel 25 Absatz 3 der Verordnung (EU) Nr. 305/2011.

Besonderer Teil

1 Technische Beschreibung des Produkts

Der "Soudal Injektionssystem VE-SF" ist ein Verbunddübel (Injektionstyp), der aus einer Mörtelkartusche mit Injektionsmörtel Soudafix VE400-SF oder Soudafix VE400-SF Arctic, einer Siebhülse und einer Gewindestange mit Sechskantmutter und Unterlegscheibe oder einer Innengewindeankerstange besteht. Die Stahlteile bestehen aus verzinktem Stahl, nichtrostendem Stahl oder hochkorrosionsbeständigem Stahl.

Die Ankerstange wird in ein mit Injektionsmörtel gefülltes Bohrloch gesetzt und durch den Verbund und/oder Formschluss zwischen Stahlteil, Injektionsmörtel und Mauerwerk verankert.

Die Produktbeschreibung ist in Anhang A angegeben.

2 Spezifizierung des Verwendungszwecks gemäß dem anwendbaren Europäischen Bewertungsdokument

Von den Leistungen in Abschnitt 3 kann nur ausgegangen werden, wenn der Dübel entsprechend den Angaben und Bedingungen nach Anhang B verwendet wird.

Die Prüf- und Bewertungsmethoden, die dieser Europäischen Technischen Bewertung zu Grunde liegen, führen zur Annahme einer Nutzungsdauer des Dübels von mindestens 50 Jahren. Die Angabe zur Nutzungsdauer kann nicht als Garantie des Herstellers ausgelegt werden, sondern ist lediglich ein Hilfsmittel zur Auswahl des richtigen Produkts in Bezug auf die erwartete wirtschaftlich angemessene Nutzungsdauer des Bauwerks.

3 Leistung des Produkts und Angaben der Methoden ihrer Bewertung

3.1 Mechanische Festigkeit und Standsicherheit (BWR 1)

Wesentliches Merkmal	Leistung
Charakteristische Werte für Widerstand	Siehe Anhang C 1 bis C 48
Verschiebungen	Siehe Anhang C 6 bis C 48
Dauerhaftigkeit	Siehe Anhang B 1

3.2 Brandschutz (BWR 2)

Wesentliches Merkmal	Leistung
Brandverhalten	Klasse A1

3.3 Hygiene, Gesundheit und Umweltschutz (BWR 3)

Wesentliches Merkmal	Leistung
Inhalt, Emission und/oder Freisetzung von gefährlichen Stoffen	Leistung nicht bewertet

4 Angewandtes System zur Bewertung und Überprüfung der Leistungsbeständigkeit mit der Angabe der Rechtsgrundlage

Gemäß dem Europäischen Bewertungsdokument EAD 330076-00-0604 gilt folgende Rechtsgrundlage: [97/177/EG].

Folgendes System ist anzuwenden: 1

5 Für die Durchführung des Systems zur Bewertung und Überprüfung der Leistungsbeständigkeit erforderliche technische Einzelheiten gemäß anwendbarem Europäischen Bewertungsdokument

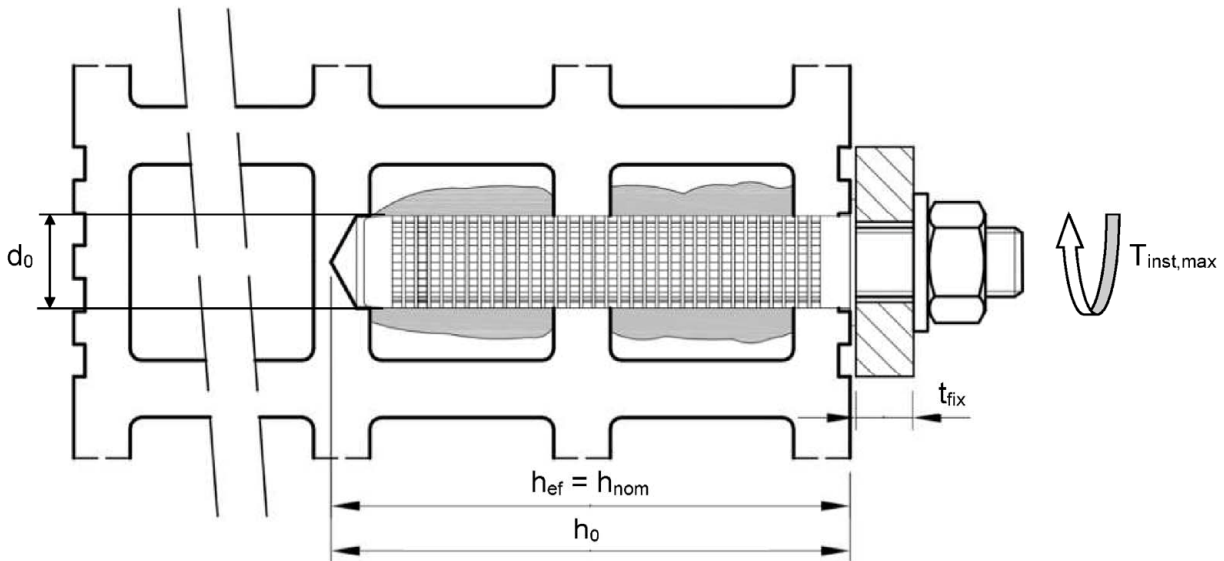
Technische Einzelheiten, die für die Durchführung des Systems zur Bewertung und Überprüfung der Leistungsbeständigkeit notwendig sind, sind Bestandteil des Prüfplans, der beim Deutschen Institut für Bautechnik hinterlegt ist.

Ausgestellt in Berlin am 13. Februar 2021 vom Deutschen Institut für Bautechnik

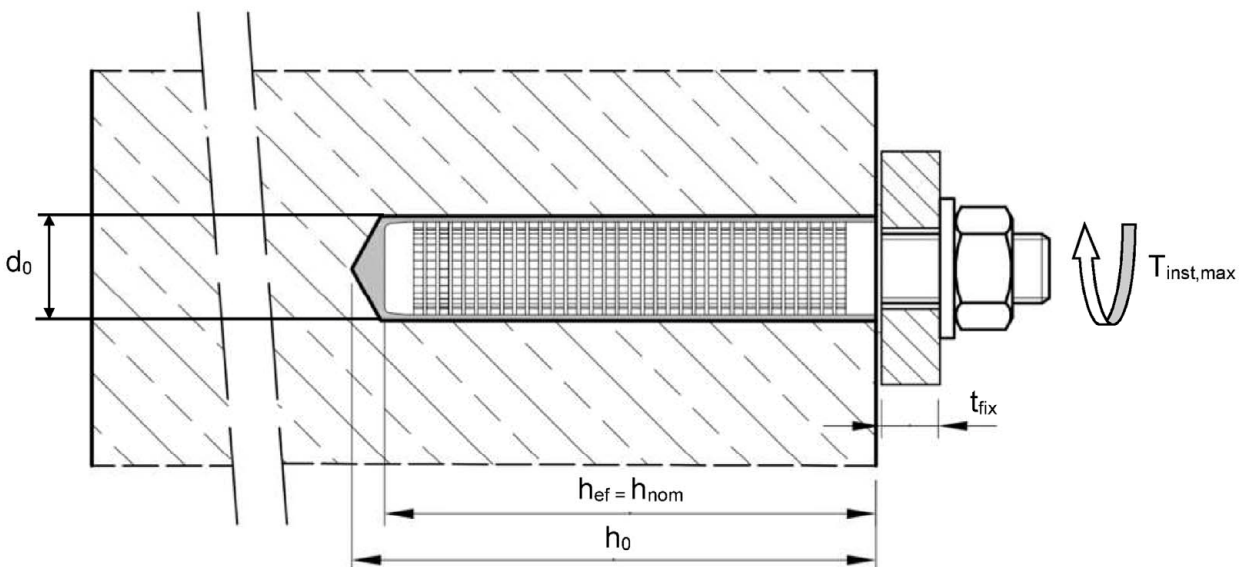
Dipl.-Ing. Beatrix Wittstock
Referatsleiterin

Beglaubigt
Baderschneider

Installation in Lochstein; Gewindestange und Innengewindehülse mit Siebhülse



Installation in Vollstein; Gewindestange oder Innengewindehülse mit oder ohne Siebhülse



$h_{ef} = h_{nom}$ = effektive Setztiefe

h_0 = Bohrlochtiefe

t_{fix} = Dicke des Anbauteils

d_0 = Bohrlochdurchmesser

$T_{inst,max}$ = Max Installationsdrehmoment

Soudal Injektionssystem VE-SF

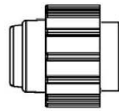
Produktbeschreibung
Einbauzustand

Anhang A 1

Kartusche: Soudafix VE400-SF oder Soudafix VE400-SF Arctic

150 ml, 280 ml, 300 ml bis zu 333 ml und 380 ml bis zu 420 ml Kartusche (Typ: koaxial)

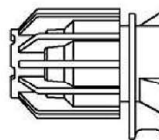
Schraubverschluss



Aufdruck Soudafix VE400-SF oder Soudafix VE400-SF Arctic, Verarbeitungshinweise, Chargennummer, Haltbarkeit, Gefahrennummern, Aushärtezeit und der Verarbeitungszeit (abhängig von der Temperatur), Optional mit Kolbenwegskala

235 ml, 345 ml bis zu 360 ml und 825 ml Kartusche (Typ: "side-by-side")

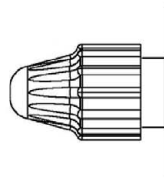
Schraubverschluss



Aufdruck Soudafix VE400-SF oder Soudafix VE400-SF Arctic, Verarbeitungshinweise, Chargennummer, Haltbarkeit, Gefahrennummern, Aushärtezeit und der Verarbeitungszeit (abhängig von der Temperatur), Optional mit Kolbenwegskala

165 ml und 300 ml Kartusche (Typ: "Schlauchfolie")

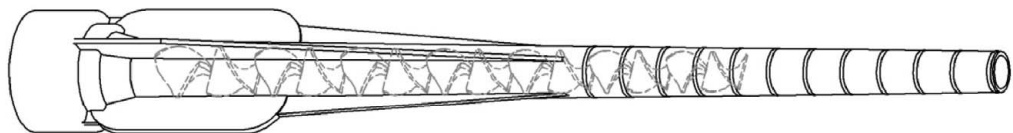
Schraubverschluss



Aufdruck Soudafix VE400-SF oder Soudafix VE400-SF Arctic, Verarbeitungshinweise, Chargennummer, Haltbarkeit, Gefahrennummern, Aushärtezeit und der Verarbeitungszeit (abhängig von der Temperatur), Optional mit Kolbenwegskala

Statikmischer

CRW 14W

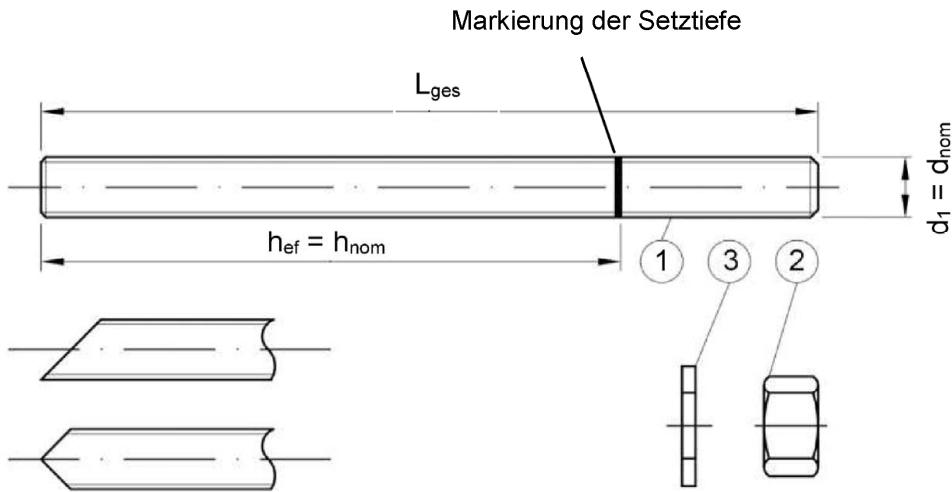


Soudal Injektionssystem VE-SF

Produktbeschreibung
Injektionssystem

Anhang A 2

Gewindestange M8, M10, M12, M16

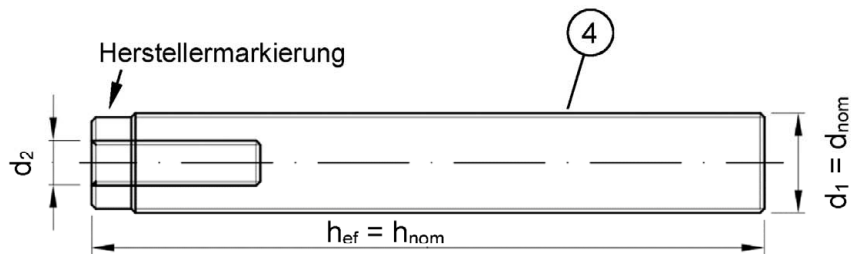
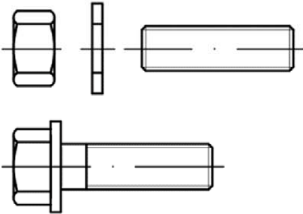


Handelsübliche Gewindestange mit:

- Werkstoff, Abmessungen und mechanische Eigenschaften gem. Tabelle A1
- Abnahmeprüfzeugnis 3.1 gem. EN 10204:2004. Das Dokument muss aufbewahrt werden.
- Markierung der Verankerungstiefe

Innengewindeankerstange IG-M6, IG-M8, IG-M10

Ankerstange oder Schraube



Markierung: z. B.  M8

 Kennzeichnung Innengewinde

 Werkszeichen

M8 Gewindegröße (Innengewinde)

A4 zusätzliche Kennung für nichtrostenden Stahl

HCR zusätzliche Kennung für hochkorrosionsbeständigen Stahl

Soudal Injektionssystem VE-SF

Produktbeschreibung
Ankerstangen

Anhang A 3

Tabelle A1: Werkstoffe				
Teil	Benennung	Werkstoff		
Stahlteile aus verzinktem Stahl (Stahl gemäß EN 10087:1998 oder EN 10263:2001)				
- galvanisch verzinkt $\geq 5 \mu\text{m}$ gemäß EN ISO 4042:1999 oder				
- feuerverzinkt $\geq 40 \mu\text{m}$ gemäß EN ISO 1461:2009 und EN ISO 10684:2004+AC:2009 oder				
- diffusionsverzinkt $\geq 45 \mu\text{m}$ gemäß EN ISO 17668:2016				
1	Gewindestange	Festigkeitsklasse gemäß EN ISO 898-1:2013	Charakteristische Zugfestigkeit	Charakteristische Streckgrenze
			4.6 $f_{uk} = 400 \text{ N/mm}^2$	$f_{yk} = 240 \text{ N/mm}^2$
			4.8 $f_{uk} = 400 \text{ N/mm}^2$	$f_{yk} = 320 \text{ N/mm}^2$
			5.6 $f_{uk} = 500 \text{ N/mm}^2$	$f_{yk} = 300 \text{ N/mm}^2$
			5.8 $f_{uk} = 500 \text{ N/mm}^2$	$f_{yk} = 400 \text{ N/mm}^2$
2	Sechskantmutter	gemäß EN ISO 898-2:2012	4 für Gewindestangen der Klasse 4.6 oder 4.8	
			5 für Gewindestangen der Klasse 5.6 oder 5.8	
			8 für Gewindestangen der Klasse 8.8	
3a	Unterlegscheibe	Stahl, galvanisch verzinkt, feuerverzinkt oder diffusionsverzinkt (z.B.: EN ISO 887:2006, EN ISO 7089:2000, EN ISO 7093:2000 oder EN ISO 7094:2000)		
4	Innengewindeankerstange	Festigkeitsklasse gemäß EN ISO 898-1:2013	Charakteristische Zugfestigkeit	Charakteristische Streckgrenze
			5.8 $f_{uk} = 500 \text{ N/mm}^2$	$f_{yk} = 400 \text{ N/mm}^2$
			8.8 $f_{uk} = 800 \text{ N/mm}^2$	$f_{yk} = 640 \text{ N/mm}^2$
Nichtrostender Stahl A2 (Werkstoff 1.4301 / 1.4307 / 1.4311 / 1.4567 oder 1.4541, gemäß EN 10088-1:2014)				
Nichtrostender Stahl A4 (Werkstoff 1.4401 / 1.4404 / 1.4571 / 1.4362 oder 1.4578, gemäß EN 10088-1:2014)				
Hochkorrosionsbeständiger Stahl (Werkstoff 1.4529 oder 1.4565, gemäß EN 10088-1: 2014)				
1	Gewindestange ¹⁾	Festigkeitsklasse gemäß EN ISO 3506-1:2009	Charakteristische Zugfestigkeit	Charakteristische Streckgrenze
			50 $f_{uk} = 500 \text{ N/mm}^2$	$f_{yk} = 210 \text{ N/mm}^2$
			70 $f_{uk} = 700 \text{ N/mm}^2$	$f_{yk} = 450 \text{ N/mm}^2$
2	Sechskantmutter ¹⁾	gemäß EN ISO 3506-1:2009	50 für Gewindestangen der Klasse 50	
			70 für Gewindestangen der Klasse 70	
			80 für Gewindestangen der Klasse 80	
3	Unterlegscheibe	A2: Werkstoff 1.4301 / 1.4307 / 1.4311 / 1.4567 oder 1.4541, EN 10088-1:2014 A4: Werkstoff 1.4401 / 1.4404 / 1.4571 / 1.4362 oder 1.4578, EN 10088-1:2014 HCR: Werkstoff 1.4529 oder 1.4565, EN 10088-1: 2014 (z.B.: EN ISO 887:2006, EN ISO 7089:2000, EN ISO 7093:2000 oder EN ISO 7094:2000)		
4	Innengewindeankerstange ¹⁾	Festigkeitsklasse gemäß EN ISO 3506-1:2009	Charakteristische Zugfestigkeit	Charakteristische Streckgrenze
			50 $f_{uk} = 500 \text{ N/mm}^2$	$f_{yk} = 210 \text{ N/mm}^2$
			70 $f_{uk} = 700 \text{ N/mm}^2$	$f_{yk} = 450 \text{ N/mm}^2$
¹⁾ Festigkeitsklasse 80 nur für nichtrostenden Stahl A4 und hochkorrosionsbeständigen Stahl HCR				
Kunststoffsiebhülse				
Siebhülse		Material Polypropylene (PP)		
Soudal Injektionssystem VE-SF			Anhang A 4	
Produktbeschreibung Werkstoffe				

Tabelle A2: Siebhülse

SH 12x80 SH 16x85 SH 20x85		SH 16x130 / 330 zur Montage durch bis zu 20 cm Wärmedämmung oder zur Durchsteckmontage	
SH 16x130 SH 20x130 SH 20x200			

Tabelle A3: Abmessungen Siebhülse

Siebhülse			
Größe	d_s	L_s	$h_{ef} = h_{nom}$
[mm]	[mm]	[mm]	[mm]
SH 12x80	12	80	80
SH 16x85	16	85	85
SH 16x130	16	130	130
SH 16x130 / 330 ¹⁾	16	330	130
SH 20x85	20	85	85
SH 20x130	20	130	130
SH 20x200	20	200	200

¹⁾ In den Anhängen C4 – C48 ist diese Siebhülse mit der SH 16x130 abgedeckt.

Tabelle A4: Stahlteile

Ankerstange			
Größe	$d_1 = d_{nom}$	d_2	l_{ges}
[mm]	[mm]	[mm]	[mm]
IG-M6 ¹⁾	10	6	Mit Siebhülse: $h_{ef} - 5\text{mm}$ Ohne Siebhülse: h_{ef}
IG-M8 ¹⁾	12	8	
IG-M10 ¹⁾	16	10	
M8	8	-	$h_{ef} + t_{fix} + 9,5$
M10	10	-	$h_{ef} + t_{fix} + 11,5$
M12	12	-	$h_{ef} + t_{fix} + 17,5$
M16	16	-	$h_{ef} + t_{fix} + 20,0$

¹⁾ Innengewindehülse mit metrischem Außengewinde

Soudal Injektionssystem VE-SF

Produktbeschreibung
Siebhülse

Anhang A 5

Spezifizierung des Verwendungszwecks

Beanspruchung der Verankerung:

- Statische und quasi-statische Lasten

Verankerungsgrund:

- Porenbeton (Nutzungsbedingungen d) entsprechend Anhang B2
- Vollsteine (Nutzungsbedingungen b) entsprechend Anhang B2.
- Loch- und Hohlsteinen (Nutzungsbedingungen c) entsprechend Anhang B2 und B3
- Mindestanforderung des Mauermörtels: Festigkeitsklasse M2,5 gemäß EN 998-2:2010.
 - Bei anderen Steinen im Vollsteinmauerwerk, Lochsteinmauerwerk oder Porenbeton darf die charakteristische Tragfähigkeit des Dübels durch Test auf der Baustelle entsprechend EOTA TR 053, Fassung April 2016 unter Berücksichtigung des β -Faktors von Anhang C1, Tabelle C1 ermittelt werden.

Temperaturbereich:

- T_a : - 40°C bis +40°C (max. Kurzzeittemperatur +40°C und max. Langzeittemperatur +24°C)
- T_b : - 40°C bis +80°C (max. Kurzzeittemperatur +80°C und max. Langzeittemperatur +50°C)
- T_c : - 40°C bis +120°C (max. Kurzzeittemperatur +120°C und max. Langzeittemperatur +72°C)

Anwendungsbedingungen (Umgebungsbedingungen):

- Trockenes und nasses Mauerwerk (in Bezug auf den Injektionsmörtel).
- Bauteile unter den Bedingungen trockener Innenräume (verzinkter Stahl, nichtrostender Stahl oder hochkorrosionsbeständiger Stahl).
- Bauteile im Freien, einschließlich Industriatmosphäre und Meeresnähe) und in Feuchträumen, wenn keine besonders aggressiven Bedingungen vorliegen (nichtrostender Stahl oder hochkorrosionsbeständiger Stahl).
- Bauteile im Freien und in Feuchträumen, wenn besonders aggressive Bedingungen vorliegen (hochkorrosionsbeständiger Stahl).

Anmerkung: Aggressive Bedingungen sind z. B. ständiges, abwechselndes Eintauchen in Seewasser oder der Bereich der Spritzzone von Seewasser, chlorhaltige Atmosphäre in Schwimmbadhallen oder Atmosphäre mit extremer chemischer Verschmutzung (z. B. bei Rauchgas-Entschwefelungsanlagen oder Straßentunneln, in denen Enteisungsmittel verwendet werden).

Nutzungsbedingungen:

- Bedingung d/d - Installation und Verwendung in trockenem Mauerwerk.
- Bedingung w/w - Installation und Verwendung in nassem Mauerwerk (inkl. w/d Installation im nassem Mauerwerk und Verwendung im trockenem Mauerwerk)

Bemessung:

- Unter Berücksichtigung des Mauerwerks im Verankerungsbereich, der zu verankernden Lasten und der Weiterleitung der Lasten sind prüfbare Berechnungen und Konstruktionszeichnungen anzufertigen. Auf den Konstruktionszeichnungen ist die Lage des Dübels angegeben.
- Die Bemessung der Verankerungen erfolgt, gemäß EOTA TR 054, Fassung April 2016, unter der Verantwortung eines auf dem Gebiet der Verankerungen und des Mauerwerksbaus erfahrenen Ingenieurs.
- $N_{RK,p} = N_{RK,b}$ siehe Anhang C4 bis C48; $N_{RK,s}$ siehe Anhang C2; $N_{RK,pb}$ siehe EOTA TR 054, Fassung April 2016
- $V_{RK,b}$ siehe Anhang C4 bis C48; $V_{RK,s}$ siehe Anhang C2; $V_{RK,c}$ siehe Anhang C3; $V_{RK,pb}$ siehe EOTA TR 054, Fassung April 2016
- Bei Anwendungen mit Siebhülse mit Bohrlochdurchmessern ≤ 15 mm, installiert in nichtgefüllte Fugen:
 - o $N_{RK,p,j} = 0,18 * N_{RK,p}$ und $N_{RK,b,j} = 0,18 * N_{RK,b}$ ($N_{RK,p} = N_{RK,b}$ siehe Anhang C4 bis C48)
 - o $V_{RK,c,j} = 0,15 * V_{RK,c}$ und $V_{RK,b,j} = 0,15 * V_{RK,b}$ ($V_{RK,b}$ siehe Anhang C4 bis C48; $V_{RK,c}$ siehe Anhang C3)
- Anwendung ohne Siebhülse installiert in nichtgefüllte Fugen, sind nicht erlaubt.

Einbau:

- Trockenes oder nasses Mauerwerk.
- Einbau durch entsprechend geschultes Personal unter der Aufsicht des Bauleiters.
- Schrauben oder Gewindestangen (inkl. Mutter und Unterlegscheibe) müssen dem Material und der Festigkeitsklasse der Innengewindehülse entsprechen.

Soudal Injektionssystem VE-SF

Verwendungszweck
Spezifikationen

Anhang B 1

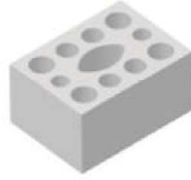
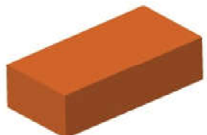
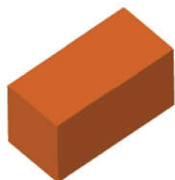
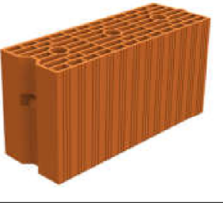
Tabelle B1: Übersicht der Mauersteine und Eigenschaften mit den entsprechenden Befestigungselementen (Anker und Siebhülse)									
Bezeichnung Rohdichte [kg/dm³] Maße LxBxH [mm]	Foto	Ankerstange	Siebhülse	Anhang	Bezeichnung Rohdichte [kg/dm³] Maße LxBxH [mm]	Foto	Ankerstange	Siebhülse	Anhang
Porenbeton gemäß EN 771-4					Leichtbetonvollstein gemäß EN 771-3				
AAC $\rho = 0,35-0,60$ $\geq 499 \times 240 \times 249$		M8 - M16 IG-M6 - IG-M10	12x80 16x85 16x130 20x85 20x130 20x200	C4 - C6	VBL $\rho \geq 0,6$ $\geq 240 \times 300 \times 113$		M8 - M16 IG-M6 - IG-M10	12x80 16x85 16x130 20x85 20x130 20x200	C47 - C48
Leichtbetonlochsteine gemäß EN 771-3									
HBL 16DF $\rho \geq 1,0$ 500x250x240		M8 - M16 IG-M6 - IG-M10	16x85 16x130 20x85 20x130 20x200	C43 - C44	Bloc creux B40 $\rho \geq 0,8$ 495x195x190		M8 - M16 IG-M6 - IG-M10	16x130 20x130	C45 - C46
Kalksandsteine gemäß EN 771-2									
KS $\rho \geq 2,0$ $\geq 240 \times 115 \times 71$		M8 - M16 IG-M6 - IG-M10	12x80 16x85 16x130 20x85 20x130 20x200	C7 - C8	KSL-3DF $\rho \geq 1,4$ 240x175x113		M8 - M16 IG-M6 - IG-M10	16x85 16x130 20x85 20x130	C9 - C10
KSL-8DF $\rho \geq 1,4$ 248x240x238		M8-M16 IG-M6 - IG-M10	16x130 20x130 20x200	C11 - C12	KSL-12DF $\rho \geq 1,4$ 498x175x238		M8 - M16 IG-M6 - IG-M10	16x130 20x130	C13 - C14
Vollziegel gemäß EN 771-1:2015									
Mz-1DF $\rho \geq 2,0$ $\geq 240 \times 115 \times 55$		M8 - M16 IG-M6 - IG-M10	12x80 16x85 16x130 20x85 20x130 20x200	C15 - C16	Mz - 2 DF $\rho \geq 2,0$ $\geq 240 \times 115 \times 113$		M8 - M16 IG-M6 - IG-M10	12x80 16x85 16x130 20x85 20x130 20x200	C17 - C18
Soudal Injektionssystem VE-SF						Anhang B 2			
Verwendungszweck Steintyp und Eigenschaften mit den entsprechenden Befestigungselementen									

Tabelle B1: Übersicht der Mauersteine und Eigenschaften mit den entsprechenden Befestigungselementen (Anker und Siebhülse) (Fortsetzung)

Bezeichnung Rohdichte [kg/dm ³] Maße LxBxH [mm]	Foto	Ankerstange	Siebhülse	Anhang	Bezeichnung Rohdichte [kg/dm ³] Maße LxBxH [mm]	Foto	Ankerstange	Siebhülse	Anhang
Lochziegel gemäß EN 771-1:2015									
Hz-10DF $\rho \geq 1,25$ 300x240x249		M8 - M16 IG-M6 - IG-M10	12x80 16x85 16x130 20x85 20x130 20x200	C19 - C20	Porotherm Homebric $\rho \geq 0,7$ 500x200x299		M8 - M16 IG-M6 - IG-M10	12x80 16x85 16x130 20x85 20x130	C21 - C22
BGV Thermo $\rho \geq 0,6$ 500x200x314		M8 - M16 IG-M6 - IG-M10	12x80 16x85 16x130 20x85 20x130	C23 - C24	Brique creuse C40 $\rho \geq 0,7$ 500x200x200		M8 - M16 IG-M6 - IG-M10	12x80 16x85 16x130 20x85 20x130	C29 - C30
Calibric R+ $\rho \geq 0,6$ 500x200x314		M8 - M16 IG-M6 - IG-M10	12x80 16x85 16x130 20x85 20x130	C25 - C26	Blocchi Leggeri $\rho \geq 0,6$ 250x120x250		M8 - M16 IG-M6 - IG-M10	12x80 16x85 16x130 20x85 20x130	C31 - C32
Urbanbric $\rho \geq 0,7$ 560x200x274		M8 - M16 IG-M6 - IG-M10	12x80 16x85 16x130 20x85 20x130	C27 - C28	Doppio Uni $\rho \geq 0,9$ 250x120x120		M8 - M16 IG-M6 - IG-M10	12x80 16x85 16x130 20x85 20x130	C33 - C34
Lochziegel mit Wärmedämmung gemäß EN 771-1:2015									
Coriso WS07 $\rho \geq 0,55$ 248x365x249 Mineralwolle		M8 - M16 IG-M6 - IG-M10	12x80 16x85 16x130 20x85 20x130 20x200	C35 - C36	T8P $\rho \geq 0,56$ 248x365x249 Perlite		M8 - M16 IG-M6 - IG-M10	12x80 16x85 16x130 20x85 20x130 20x200	C39 - C40
T7MW $\rho \geq 0,59$ 248x365x249 Mineralwolle		M8 - M16 IG-M6 - IG-M10	12x80 16x85 16x130 20x85 20x130 20x200	C37 - C38	MZ90-G $\rho \geq 0,68$ 248x365x249 Mineralwolle		M8 - M16 IG-M6 - IG-M10	12x80 16x85 16x130 20x85 20x130 20x200	C41 - C42
Soudal Injektionssystem VE-SF						Anhang B 3			
Verwendungszweck Steintyp und Eigenschaften mit den entsprechenden Befestigungselementen									

Installation: Stahlbürste RBT



Tabelle B2: Montagekennwerte für Porenbeton und Vollstein (ohne Siebhülse)

Ankergröße			M8	M10	IG-M6	M12	IG-M8	M16	IG-M10
Bohrerinnendurchmesser	d_o	[mm]	10	12		14		18	
Bohrlochtiefe	h_o	[mm]	80	90		100		100	
Effektive Verankerungstiefe	h_{ef}	[mm]	80	90		100		100	
Minimale Wanddicke	h_{min}	[mm]	$h_{ef} + 30$						
Durchgangsloch im anzuschließenden Bauteil	$d_f \leq$	[mm]	9	12	7	14	9	18	12
Bürste			RBT10	RBT12		RBT14		RBT18	
min. Bürstendurchmesser	d_b	[mm]	10,5	12,5		14,5		18,5	

Tabelle B3: Montagekennwerte im Vollstein und Lochstein (mit Siebhülse)

Ankergröße			M8	M8 / M10 / IG-M6				M12 / M16 / IG-M8 / IG-M10		
Siebhülse SH			12x80	16x85	16x130	16x130/330	20x85	20x130	20x200	
Bohrerinnendurchmesser	d_o	[mm]	12	16	16	16	20	20	20	
Bohrlochtiefe	h_o	[mm]	85	90	135	330	90	135	205	
Effektive Verankerungstiefe	h_{ef}	[mm]	80	85	130	130	85	130	200	
Minimale Wanddicke	h_{min}	[mm]	115	115	195	195	115	195	240	
Durchgangsloch im anzuschließenden Bauteil	Vorsteckmontage	$d_f \leq$	[mm]	9	7 (IG-M6) / 9 (M8) / 12 (M10)			9 (IG-M8) / 12 (IG-M10) / 14 (M12) / 18 (M16)		
	Durchsteckmontage	$d_f \leq$	[mm]	14	18			22		
Bürste			RBT12	RBT16				RBT20		
min. Bürstendurchmesser	d_b	[mm]	12,5	16,5				20,5		

Handpumpe (Volumen 750 ml)



Soudal Injektionssystem VE-SF

Verwendungszweck
Montagekennwerte und Reinigungsbürste

Anhang B 4

**Tabelle B4: Maximale Verarbeitungszeiten und minimale Aushärtezeiten
Soudafix VE400-SF**

Temperatur im Verankerungsgrund T	Kartuschentemperatur	Gellierungs- / Verarbeitungszeit	Min. Aushärtezeit in trockenem Untergrund ¹⁾
0 °C bis + 4 °C	+5 °C bis +40 °C	45 min	7 h
+ 5 °C bis + 9 °C		25 min	2 h
+ 10 °C bis + 19 °C		15 min	80 min
+ 20 °C bis + 29 °C		6 min	45 min
+ 30 °C bis + 34 °C		4 min	25 min
+ 35 °C bis + 39 °C		2 min	20 min
+ 40 °C		1,5 min	15 min

¹⁾ In feuchtem Untergrund **muss** die Aushärtezeit verdoppelt werden

**Tabelle B5: Maximale Verarbeitungszeiten und minimale Aushärtezeiten
Soudafix VE400-SF Arctic**

Temperatur im Verankerungsgrund T	Kartuschentemperatur	Gellierungs- / Verarbeitungszeit	Min. Aushärtezeit in trockenem Untergrund ¹⁾
0 °C bis + 4 °C	-20 °C bis +10 °C	10 min	2,5 h
+ 5 °C bis + 9 °C		6 min	80 min
+ 10 °C		6 min	60 min

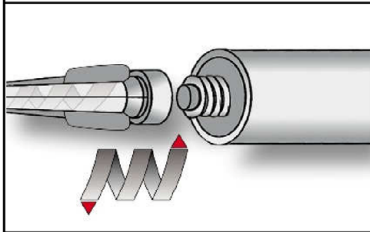
¹⁾ In feuchtem Untergrund **muss** die Aushärtezeit verdoppelt werden

Soudal Injektionssystem VE-SF

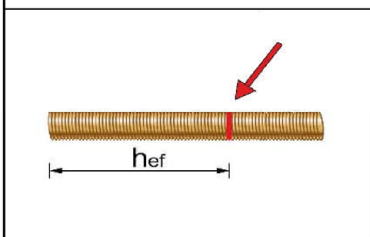
Anhang B 5

Montageanweisung

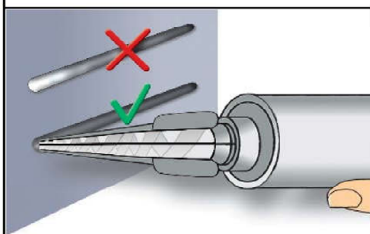
Vorbereitung der Kartusche



1. Die Kappe von der Kartusche entfernen und den mitgelieferten Statikmischer fest auf die Kartusche aufschrauben und Kartusche in eine geeignete Auspresspistole einlegen. Bei Schlauchfolien den Clip vor der Verwendung abschneiden. Bei jeder Arbeitsunterbrechung länger als die empfohlene Verarbeitungszeit (Tabelle B4 und B5) und bei jeder neuen Kartusche ist der Statikmischer zu erneuern.

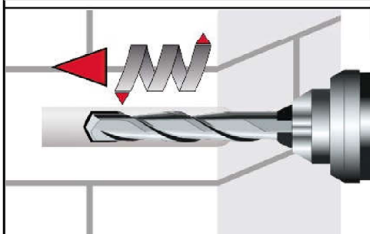


2. Vor dem Einsetzen der Ankerstange ist die Verankerungstiefe auf der Ankerstange zu markieren.

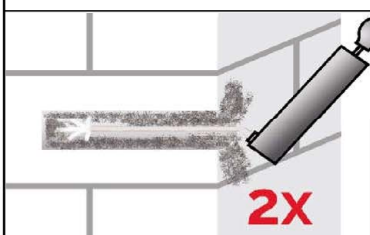


3. Der Mörtelvorlauf ist nicht zur Befestigung der Ankerstange geeignet. Vor dem Injizieren ins Bohrloch, unvermischten Mörtel solange verwerfen, bis sich eine gleichmäßige graue Mischfarbe eingestellt hat, jedoch mindesten 3 volle Hübe, bei Schlauchfolien 6 volle Hübe.

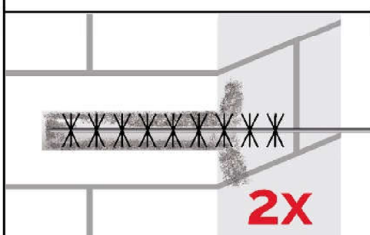
Installation in Vollstein (ohne Siebhülse)



4. Das Bohrloch, senkrecht zur Oberfläche des Verankerungsgrundes, unter Verwendung eines Hartmetallbohrers mit Bohrverfahren nach Anhang C4-C48, mit vorgeschriebenem Bohrerennendurchmesser und Bohrlochtiefe entsprechend der Ankergröße und Einbindetiefe des gewählten Dübels, im Verankerungsgrund erstellen. Bei Fehlbohrungen ist das Bohrloch zu vermörteln.



- 5a. Das Bohrloch vom Bohrlochgrund her 2x vollständig mit einer Handpumpe (Anhang B4) ausblasen.



- 5b. Eine geeignete Drahtbürste $> d_{b,min}$ (Tabelle B2) an einer Bohrmaschine oder einen Akkuschauber einstecken und das Bohrloch minimum 2x auszubürsten. Wird der Bohrlochgrund mit der Bürste nicht erreicht, muss eine Bürstenverlängerung verwendet werden.

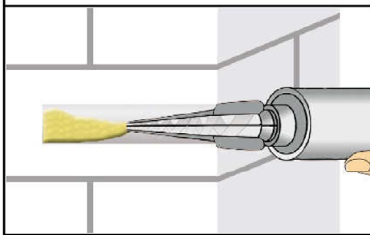
Soudal Injektionssystem VE-SF

Anhang B 6

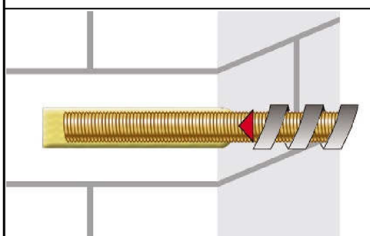
Montageanweisung (Fortsetzung)



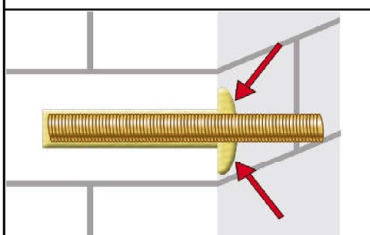
5c. Abschließend erneut das Bohrloch vom Bohrlochgrund her 2x vollständig mit einer Handpumpe (Anhang B4) ausblasen.



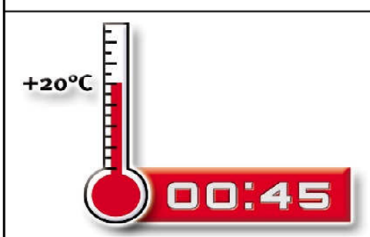
6. Das Bohrloch vom Grund her zu mindestens 2/3 mit Mörtel füllen. Langsames Zurückziehen des Statikmischers aus dem Bohrloch verhindert die Bildung von Lufteinschlüssen. Die temperaturrelevanten Verarbeitungszeiten (Tabelle B4 + B5) sind zu beachten.



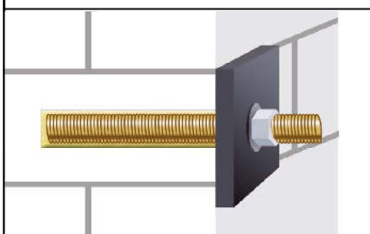
7. Befestigungselement mit leichten Drehbewegungen bis zur festgelegten Setztiefe einführen. Die Ankerstange muss frei von Schmutz-, Fett, Öl und anderen Fremdmaterialien sein.



8. Nach der Installation des Ankers muss der Ringspalt zwischen Ankerstange und Mauerstein, bei Durchsteckmontage zusätzlich auch im Anbauteil, komplett mit Mörtel ausgefüllt sein. Tritt keine Masse nach Erreichen der Verankerungstiefe heraus, ist diese Voraussetzung nicht erfüllt und die Anwendung muss vor Beendigung der Verarbeitungszeit wiederholt werden.



9. Die angegebene Aushärtezeit muss eingehalten werden. Anker während der Aushärtezeit nicht bewegen oder belasten. (siehe Tabelle B4 + B5).



10. Nach vollständiger Aushärtung kann das Anbauteil mit bis zu dem maximalen Drehmoment (Anhänge C4 – C48) montiert werden. Die Mutter muss mit einem kalibriertem Drehmomentschlüssel festgezogen werden.

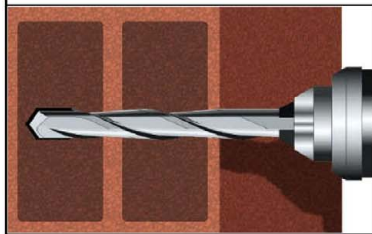
Soudal Injektionssystem VE-SF

Verwendungszweck
Montageanweisung Vollstein und Porenbeton

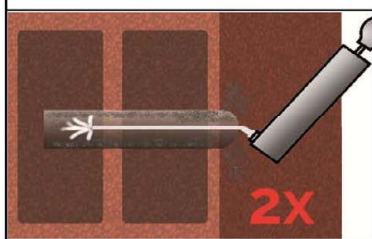
Anhang B 7

Montageanweisung (Fortsetzung)

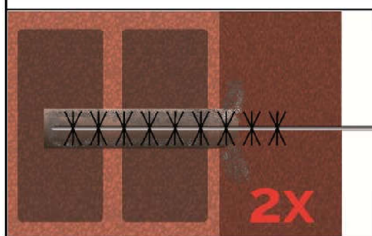
Montageanleitung für Voll- und Lochstein (mit Siebhülse)



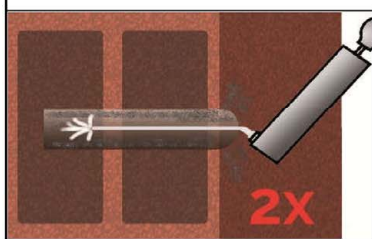
4. Das Bohrloch, senkrecht zur Oberfläche des Verankerungsgrundes, unter Verwendung eines Hartmetallbohrers mit Bohrverfahren nach Anhang C4 - C48, mit vorgeschriebenem Bohrerinnendurchmesser und Bohrlochtiefe entsprechend der Ankergröße und Einbindetiefe des gewählten Dübels, im Verankerungsgrund erstellen. Bei Fehlbohrungen ist das Bohrloch zu vermörteln.



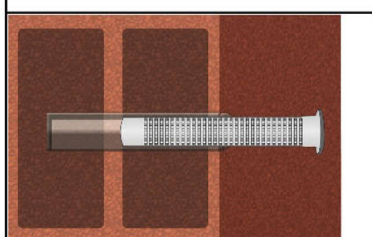
- 5a. Das Bohrloch vom Bohrlochgrund her 2x vollständig mit einer Handpumpe (Anhang B4) ausblasen.



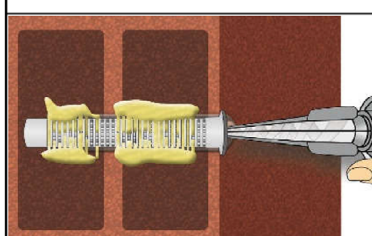
- 5b. Eine geeignete Drahtbürste $> d_{b,min}$ (Tabelle B3) an einer Bohrmaschine oder einen Akkuschauber einstecken und das Bohrloch minimum 2x auszubürsten. Wird der Bohrlochgrund mit der Bürste nicht erreicht, muss eine Bürstenverlängerung verwendet werden.



- 5c. Abschließend erneut das Bohrloch vom Bohrlochgrund her 2x vollständig mit einer Handpumpe (Anhang B4) ausblasen.



6. Die Siebhülse bündig mit der Oberfläche des Verankerungsgrundes in das Bohrloch einstecken. Sicherstellen, dass die Siebhülse optimal ins Bohrloch passt. Siebhülse niemals kürzen. Für die Installation durch Wärmedämmung hindurch oder für eine Durchsteckmontage und unter Verwendung der Siebhülse SH16x130/330 wird diese am Kopfende entsprechend der Dicke der Wärmedämmschicht gekürzt.



7. Die Siebhülse vom Grund her mit Mörtel füllen. Die exakte Mörtelmenge ist dem Kartuschenetikett oder der Montageanleitung zu entnehmen. Die temperaturrelevanten Verarbeitungszeiten (Tabelle B4 + B5) sind zu beachten. Bei einer Durchsteckmontage muss die Siebhülse bis ins Anbauteil komplett mit Mörtel verfüllt sein.

Soudal Injektionssystem VE-SF

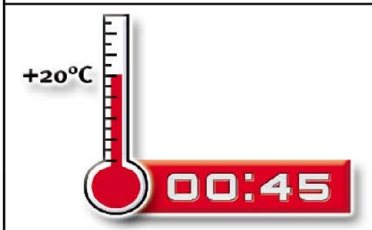
Verwendungszweck
Montageanleitung für Voll- und Lochstein

Anhang B 8

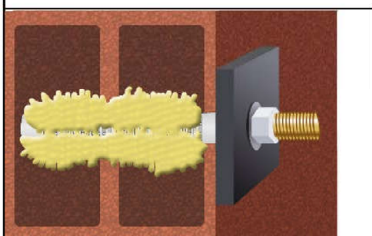
Montageanweisung (Fortsetzung)



8. Befestigungselement mit leichten Drehbewegungen bis zur festgelegten Setztiefe einführen. Die Ankerstange muss frei von Schmutz-, Fett, Öl und anderen Fremdmaterialien sein.



9. Die angegebene Aushärtezeit muss eingehalten werden. Anker während der Aushärtezeit nicht bewegen oder belasten. (siehe Tabelle B4 + B5).



10. Nach vollständiger Aushärtung kann das Anbauteil mit bis zu dem maximalen Drehmoment (Anhänge C4 - C48) montiert werden. Die Mutter muss mit einem kalibriertem Drehmomentschlüssel festgezogen werden.

Soudal Injektionssystem VE-SF

Verwendungszweck
Montageanleitung für Voll- und Lochstein

Anhang B 9

Tabelle C1: β -Faktoren für Baustellenversuche unter Zuglast

Untergrundmaterial	Ankergröße	β -Faktor					
		$T_a: 40^\circ\text{C} / 24^\circ\text{C}$		$T_b: 80^\circ\text{C} / 50^\circ\text{C}$		$T_c: 120^\circ\text{C} / 72^\circ\text{C}$	
		d/d	w/d w/w	d/d	w/d w/w	d/d	w/d w/w
Porenbeton	alle Größen	0,95	0,86	0,81	0,73	0,81	0,73
Kalksandsteine	$d_0 \leq 14 \text{ mm}$	0,93	0,80	0,87	0,74	0,65	0,56
	$d_0 \geq 16 \text{ mm}$	0,93	0,93	0,87	0,87	0,65	0,65
Ziegelsteine	alle Größen	0,86	0,86	0,86	0,86	0,73	0,73
Betonsteine	$d_0 \leq 12 \text{ mm}$	0,93	0,80	0,87	0,74	0,65	0,56
	$d_0 \geq 16 \text{ mm}$	0,93	0,93	0,87	0,87	0,65	0,65

Soudal Injektionssystem VE-SF

Leistungen
 β -Faktoren für Baustellenversuche unter Zuglast

Anhang C 1

Tabelle C2: Charakteristische Werte der Stahltragfähigkeit									
Ankergröße		IG-M6	IG-M8	IG-M10	M8	M10	M12	M16	
Charakteristische Zugtragfähigkeit									
Stahl – Festigkeitsklasse 4.6	$N_{Rk,s}$	[kN]	- ¹⁾	- ¹⁾	- ¹⁾	15	23	34	63
	γ_{Ms}	[-]	-			2,0			
Stahl – Festigkeitsklasse 4.8	$N_{Rk,s}$	[kN]	- ¹⁾	- ¹⁾	- ¹⁾	15	23	34	63
	γ_{Ms}	[-]	-			1,5			
Stahl – Festigkeitsklasse 5.6	$N_{Rk,s}$	[kN]	- ¹⁾	- ¹⁾	- ¹⁾	18	29	42	79
	γ_{Ms}	[-]	-			2,0			
Stahl – Festigkeitsklasse 5.8	$N_{Rk,s}$	[kN]	10	17	29	18	29	42	79
	γ_{Ms}	[-]	1,5			1,5			
Stahl – Festigkeitsklasse 8.8	$N_{Rk,s}$	[kN]	16	27	46	29	46	67	126
	γ_{Ms}	[-]	1,5			1,5			
Nichtrostender Stahl A4 / HCR, Festigkeitsklasse 70	$N_{Rk,s}$	[kN]	14	26	41	26	41	59	110
	γ_{Ms}	[-]	1,87			1,87			
Nichtrostender Stahl A4 / HCR, Festigkeitsklasse 80	$N_{Rk,s}$	[kN]	16	29	46	29	46	67	126
	γ_{Ms}	[-]	1,6			1,6			
Charakteristische Querkzugtragfähigkeit									
Stahl – Festigkeitsklasse 4.6	$V_{Rk,s}$	[kN]	- ¹⁾	- ¹⁾	- ¹⁾	7	12	17	31
	γ_{Ms}	[-]	-			1,67			
Stahl – Festigkeitsklasse 4.8	$V_{Rk,s}$	[kN]	- ¹⁾	- ¹⁾	- ¹⁾	7	12	17	31
	γ_{Ms}	[-]	-			1,25			
Stahl – Festigkeitsklasse 5.6	$V_{Rk,s}$	[kN]	- ¹⁾	- ¹⁾	- ¹⁾	9	15	21	39
	γ_{Ms}	[-]	-			1,67			
Stahl – Festigkeitsklasse 5.8	$V_{Rk,s}$	[kN]	5	9	15	9	15	21	39
	γ_{Ms}	[-]	1,25			1,25			
Stahl – Festigkeitsklasse 8.8	$V_{Rk,s}$	[kN]	8	14	23	15	23	34	63
	γ_{Ms}	[-]	1,25			1,25			
Nichtrostender Stahl A4 / HCR, Festigkeitsklasse 70	$V_{Rk,s}$	[kN]	7	13	20	13	20	30	55
	γ_{Ms}	[-]	1,56			1,56			
Nichtrostender Stahl A4 / HCR, Festigkeitsklasse 80	$V_{Rk,s}$	[kN]	8	15	23	15	23	34	63
	γ_{Ms}	[-]	1,33			1,33			
Charakteristisches Biegemoment									
Stahl – Festigkeitsklasse 4.6	$M^0_{Rk,s}$	[Nm]	- ¹⁾	- ¹⁾	- ¹⁾	15	30	52	133
	γ_{Ms}	[-]	-			1,67			
Stahl – Festigkeitsklasse 4.8	$M^0_{Rk,s}$	[Nm]	- ¹⁾	- ¹⁾	- ¹⁾	15	30	52	133
	γ_{Ms}	[-]	-			1,25			
Stahl – Festigkeitsklasse 5.6	$M^0_{Rk,s}$	[Nm]	- ¹⁾	- ¹⁾	- ¹⁾	19	37	66	167
	γ_{Ms}	[-]	-			1,67			
Stahl – Festigkeitsklasse 5.8	$M^0_{Rk,s}$	[Nm]	8	19	37	19	37	66	167
	γ_{Ms}	[-]	1,25			1,25			
Stahl – Festigkeitsklasse 8.8	$M^0_{Rk,s}$	[Nm]	12	30	60	30	60	105	266
	γ_{Ms}	[-]	1,25			1,25			
Nichtrostender Stahl A4 / HCR, Festigkeitsklasse 70	$M^0_{Rk,s}$	[Nm]	11	26	52	26	52	92	233
	γ_{Ms}	[-]	1,56			1,56			
Nichtrostender Stahl A4 / HCR, Festigkeitsklasse 80	$M^0_{Rk,s}$	[Nm]	12	30	60	30	60	105	266
	γ_{Ms}	[-]	1,33			1,33			
1) Nicht Bestandteil der ETA									
Soudal Injektionssystem VE-SF						Anhang C 2			
Leistungen Charakteristische Stahltragfähigkeit unter Zuglast und Querlast									

Rand- und Achsabstände					
C_{cr}	=	Charakteristischer Randabstand			
C_{min}	=	Minimaler Randabstand			
$S_{scr,II}$; ($S_{min,II}$)	=	Charakteristischer (minimaler) Achsabstand für Anker parallel zur Lagerfuge angeordnet			
$S_{scr,I}$; ($S_{min,I}$)	=	Charakteristischer (minimaler) Achsabstand für Anker senkrecht zur Lagerfuge angeordnet			
Ankeranordnung \ Lastrichtung		Zuglast	Querlast parallel zum freien Rand V_{II}		Querlast senkrecht zum freien Rand V_{\perp}
Anker parallel zur Lagerfuge $S_{scr,II}$; ($S_{min,II}$)		 $\alpha_{g,II,N}$	 $\alpha_{g,II,V_{II}}$	 $\alpha_{g,II,V_{\perp}}$	
Anker senkrecht zur Lagerfuge $S_{scr,I}$; ($S_{min,I}$)		 $\alpha_{g,\perp,N}$	 $\alpha_{g,\perp,V_{II}}$	 $\alpha_{g,\perp,V_{\perp}}$	
$\alpha_{edge,N}$	=	Reduktionsfaktor bei Zuglast am freien Rand (Einzelanker)			
$\alpha_{edge,V_{\perp}}$	=	Reduktionsfaktor bei Querlast senkrecht zum freien Rand (Einzelanker)			
$\alpha_{edge,V_{II}}$	=	Reduktionsfaktor bei Querlast parallel zum freien Rand (Einzelanker)			
$\alpha_{g,II,N}$	=	Gruppenfaktor für Anker parallel zur Lagerfuge unter Zuglast			
$\alpha_{g,\perp,N}$	=	Gruppenfaktor für Anker senkrecht zur Lagerfuge unter Zuglast			
$\alpha_{g,II,V_{II}}$	=	Gruppenfaktor für Anker parallel zur Lagerfuge unter Querlast parallel zum freien Rand			
$\alpha_{g,\perp,V_{II}}$	=	Gruppenfaktor für Anker senkrecht zur Lagerfuge unter Querlast parallel zum freien Rand			
$\alpha_{g,II,V_{\perp}}$	=	Gruppenfaktor für Anker parallel zur Lagerfuge unter Querlast senkrecht zum freien Rand			
$\alpha_{g,\perp,V_{\perp}}$	=	Gruppenfaktor für Anker senkrecht zur Lagerfuge unter Querlast senkrecht zum freien Rand			
Einzelanker am Rand:		$N_{RK,b}$	=	$\alpha_{edge,N} * N_{RK,b}$	
		$V_{RK,c,II}$	=	$\alpha_{edge,V_{II}} * V_{RK,b}$	
		$V_{RK,c,\perp}$	=	$\alpha_{edge,V_{\perp}} * V_{RK,b}$	
Gruppe aus 2 Anker:		N_{RK}^g	=	$\alpha_{g,N} * N_{RK,b}$	
		V_{RK}^g	=	$\alpha_{g,V} * V_{RK,b}$ (für $c \geq C_{cr}$)	
		$V_{RK,c}^g$	=	$\alpha_{g,V} * V_{RK,b}$ (für $c \geq C_{min}$)	
Gruppe aus 4 Anker:		N_{RK}^g	=	$\alpha_{g,II,N} * \alpha_{g,\perp,N} * N_{RK,b}$	
		V_{RK}^g	=	$\alpha_{g,II,V} * \alpha_{g,\perp,V} * V_{RK,b}$ (für $c \geq C_{cr}$)	
		$V_{RK,c}^g$	=	$\alpha_{g,II,V} * \alpha_{g,\perp,V} * V_{RK,b}$ (für $c \geq C_{min}$)	
Formeln abhängig von Ankeranordnung und Lastrichtung (siehe Tabelle oben). Reduktionsfaktoren, Gruppenfaktoren und Widerstände siehe Anhang C4 – C48. Abminderung für Installation in Fugen siehe Anhang B1.					
Soudal Injektionssystem VE-SF				Anhang C 3	
Leistungen Definition der Reduktions- und Gruppenfaktoren					

Steintyp: Porenbeton – AAC

Tabelle C3: Beschreibung des Steins

Steintyp	Porenbeton AAC		
Dichte ρ [kg/dm ³]	0,35 – 0,6		
Druckfestigkeit f_b [N/mm ²]	2, 4, 6		
Norm	EN 771-4:2015		
Hersteller (Land)	z.B. Porit (DE)		
Steinabmessungen [mm]	≥ 499 x 240 x 249		
Bohrverfahren	Drehbohren		

Tabelle C4: Installationsparameter

Ankergröße		[-]	M8	M10	M12	M16	IG-M6	IG-M8	IG-M10
Installationsdrehmoment	T_{inst}	[Nm]	≤ 5	≤ 5	≤ 10	≤ 10	≤ 5	≤ 5	≤ 10
Randabstand	c_{cr}	[mm]	150 (für Querlasten senkrecht zum freien Rand: $c_{cr} = 210$)						
Minimaler Randabstand	c_{min}	[mm]	50						
Achsabstand	$s_{cr, II}$	[mm]	300						
	$s_{cr, \perp}$	[mm]	250						
Minimaler Achsabstand	s_{min}	[mm]	50						

Tabelle C5: Reduktionsfaktoren für Einzelanker unter Randeinfluss

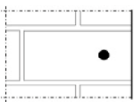
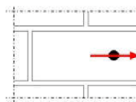
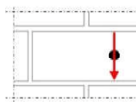
Zuglast			Querlast					
			Senkrecht zum freien Rand			Parallel zum freien Rand		
	mit $c \geq$	$\alpha_{edge, N}$		mit $c \geq$	$\alpha_{edge, V \perp}$		mit $c \geq$	$\alpha_{edge, V II}$
	50	0,85		50	0,12		50	0,70
				125	0,50		125	0,85
	150	1,00		210	1,00		150	1,00

Tabelle C6: Faktoren für Ankergruppen unter Zuglast

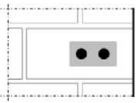
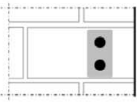
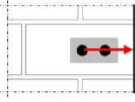
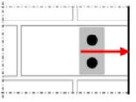
Ankeranordnung parallel zur Lagerfuge				Ankeranordnung senkrecht zur Lagerfuge			
	mit $c \geq$	mit $s \geq$	$\alpha_{g II, N}$		mit $c \geq$	mit $s \geq$	$\alpha_{g \perp, N}$
	50	50	1,10		50	50	0,75
	150	50	1,25		150	50	0,90
	150	300	2,00		150	250	2,00

Tabelle C7: Faktoren für Ankergruppen unter Querlast

	Ankeranordnung parallel zur Lagerfuge				Ankeranordnung senkrecht zur Lagerfuge			
		mit $c \geq$	mit $s \geq$	$\alpha_{g II, V \perp}$		mit $c \geq$	mit $s \geq$	$\alpha_{g \perp, V \perp}$
Querlast senkrecht zum freien Rand		50	50	0,20		50	50	0,25
		210	50	1,60		210	50	1,80
		210	300	2,00		210	250	2,00
Querlast parallel zum freien Rand		50	50	1,15		50	50	0,80
		150	50	1,60		150	50	1,10
		150	300	2,00		150	250	2,00

Soudal Injektionssystem VE-SF

Leistungen Porenbeton - AAC

Beschreibung des Steins, Installationsparameter, Reduktions- und Gruppenfaktoren

Anhang C 4

Steintyp: Porenbeton – AAC

Tabelle C8: Charakteristische Werte der Tragfähigkeit unter Zug- und Querlast

Ankergröße	Siebhülse	Effektive Verankerungstiefe	Charakteristischer Widerstand bei $c \geq c_{cr}$ und $s \geq s_{cr}$						
			Nutzungsbedingungen						
			d/d			w/d w/w			d/d w/d w/w
			40°C/24°C	80°C/50°C	120°C/72°C	40°C/24°C	80°C/50°C	120°C/72°C	Alle Temperaturbereiche
h_{ef}	$N_{Rk,b} = N_{Rk,p}$			$N_{Rk,b} = N_{Rk,p}$			$V_{Rk,b}^{1)}$		
		[mm]	[kN]						
Druckfestigkeit $f_b = 2 \text{ N/mm}^2$;			Rohdichte $\rho \geq 0,35 \text{ kg/dm}^3$						
M8	-	≥ 80	1,2	0,9	0,9	0,9	0,9	0,9	1,5
M10 / IG-M6	-	≥ 90	1,2	0,9	0,9	0,9	0,9	0,9	2,5
M12 / IG-M8	-	≥ 100	2,0	1,5	1,5	1,5	1,5	1,5	2,5
M16 / IG-M10	-	≥ 100	2,0	1,5	1,5	1,5	1,5	1,5	2,5
M8	12x80	80	1,2	0,9	0,9	0,9	0,9	0,9	1,5
M8 / M10 / IG-M6	16x85	85	1,2	0,9	0,9	0,9	0,9	0,9	2,5
	16x130	130	1,2	0,9	0,9	0,9	0,9	0,9	2,5
M12 / M16 / IG-M8 / IG-M10	20x85	85	2,0	1,5	1,5	1,5	1,5	1,5	2,5
	20x130	130	2,0	1,5	1,5	1,5	1,5	1,5	2,5
	20x200	200	2,0	1,5	1,5	1,5	1,5	1,5	2,5
1) $V_{Rk,c}$ gemäß Anhang C3									

Ankergröße	Siebhülse	Effektive Verankerungstiefe	Charakteristischer Widerstand bei $c \geq c_{cr}$ und $s \geq s_{cr}$						
			Nutzungsbedingungen						
			d/d			w/d w/w			d/d w/d w/w
			40°C/24°C	80°C/50°C	120°C/72°C	40°C/24°C	80°C/50°C	120°C/72°C	Alle Temperaturbereiche
h_{ef}	$N_{Rk,b} = N_{Rk,p}$			$N_{Rk,b} = N_{Rk,p}$			$V_{Rk,b}^{1)}$		
		[mm]	[kN]						
Druckfestigkeit $f_b = 4 \text{ N/mm}^2$;			Rohdichte $\rho \geq 0,50 \text{ kg/dm}^3$						
M8	-	≥ 80	3,0	2,5	2,0	2,5	2,0	2,0	4,5
M10 / IG-M6	-	≥ 90	3,0	2,5	2,0	2,5	2,0	2,0	7,5
M12 / IG-M8	-	≥ 100	5,0	4,5	4,0	4,5	4,0	4,0	7,5
M16 / IG-M10	-	≥ 100	5,0	4,5	4,0	4,5	4,0	4,0	7,5
M8	12x80	80	3,0	2,5	2,0	2,5	2,0	2,0	4,5
M8 / M10 / IG-M6	16x85	85	3,0	2,5	2,0	2,5	2,0	2,0	7,5
	16x130	130	3,0	2,5	2,0	2,5	2,0	2,0	7,5
M12 / M16 / IG-M8 / IG-M10	20x85	85	5,0	4,5	4,0	4,5	4,0	4,0	7,5
	20x130	130	5,0	4,5	4,0	4,5	4,0	4,0	7,5
	20x200	200	5,0	4,5	4,0	4,5	4,0	4,0	7,5
1) $V_{Rk,c}$ gemäß Anhang C3									

Soudal Injektionssystem VE-SF	Anhang C 5
Leistungen Porenbeton - AAC Charakteristische Tragfähigkeiten und Verschiebungen	

Steintyp: Porenbeton – AAC

Ankergröße	Siebhülse	Effektive Verankerungs- tiefe	Charakteristischer Widerstand bei $c \geq c_{cr}$ und $s \geq s_{cr}$							
			Nutzungsbedingungen							
			d/d			w/d w/w			d/d w/d w/w	
			40°C/24°C	80°C/50°C	120°C/72°C	40°C/24°C	80°C/50°C	120°C/72°C	Alle Temperatur- bereiche	
		h_{ef}	$N_{Rk,b} = N_{Rk,p}$			$N_{Rk,b} = N_{Rk,p}$			$V_{Rk,b}^{1)}$	
		[mm]	[kN]							
			Druckfestigkeit $f_b = 6 \text{ N/mm}^2$;				Rohdichte $\rho \geq 0,65 \text{ kg/dm}^3$			
M8	-	≥ 80	4,0	3,5	3,0	3,5	3,0	3,0	6,0	
M10 / IG-M6	-	≥ 90	4,0	3,5	3,0	3,5	3,0	3,0	10,0	
M12 / IG-M8	-	≥ 100	7,0	6,0	5,5	6,5	5,5	5,5	10,0	
M16 / IG-M10	-	≥ 100	7,0	6,0	5,5	6,5	5,5	5,5	10,0	
M8	12x80	80	4,0	3,5	3,0	3,5	3,0	3,0	6,0	
M8 / M10/ IG-M6	16x85	85	4,0	3,5	3,0	3,5	3,0	3,0	10,0	
	16x130	130	4,0	3,5	3,0	3,5	3,0	3,0	10,0	
M12 / M16 / IG-M8 / IG-M10	20x85	85	7,0	6,0	5,5	6,5	5,5	5,5	10,0	
	20x130	130	7,0	6,0	5,5	6,5	5,5	5,5	10,0	
	20x200	200	7,0	6,0	5,5	6,5	5,5	5,5	10,0	

¹⁾ $V_{Rk,c}$ gemäß Anhang C3

Tabelle C9: Verschiebungen

Ankergröße	h_{ef}	$\delta N / N$	δN_0	δN_∞	$\delta V / V$	δV_0	δV_∞
	[mm]	[mm/kN]	[mm]	[mm]	[mm/kN]	[mm]	[mm]
M8 – M12, IG-M6 – M10	alle	0,1	0,1 * $N_{Rk} / 2,8$	2 * δN_0	0,3	0,3 * $V_{Rk} / 2,8$	1,5 * δV_0
M16	alle				0,1	0,1 * $V_{Rk} / 2,8$	1,5 * δV_0

Soudal Injektionssystem VE-SF

Leistungen Porenbeton – AAC
Charakteristische Tragfähigkeiten und Verschiebungen

Anhang C 6

Steintyp: Kalksandvollstein KS-NF

Tabelle C10: Beschreibung des Steins

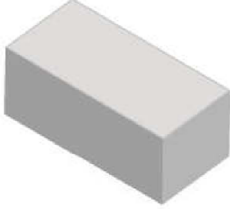
Steintyp	Kalksandvollstein KS-NF		
Dichte ρ [kg/dm ³]	$\geq 2,0$		
Druckfestigkeit f_b [N/mm ²]	≥ 28		
Umrechnungsfaktor für geringere Druckfestigkeiten	$(f_b / 28)^{0,5} \leq 1,0$		
Norm	EN 771-2:2015		
Hersteller (Land)	z.B. Wemding (DE)		
Steinabmessungen [mm]	$\geq 240 \times 115 \times 71$		
Bohrverfahren	Hammerbohren		

Tabelle C11: Installationsparameter

Ankergröße		[-]	M8	M10	M12	M16	IG-M6	IG-M8	IG-M10
Installationsdrehmoment	T_{inst}	[Nm]	≤ 10	≤ 10	≤ 15	≤ 15	≤ 10	≤ 10	≤ 10
Randabstand	c_{cr}	[mm]	150 (für Querlasten senkrecht zum freien Rand: $c_{cr} = 240$)						
Minimaler Randabstand	c_{min}	[mm]	60						
Achsabstand	$s_{cr, II}$	[mm]	240						
	$s_{cr, \perp}$	[mm]	150						
Minimaler Achsabstand	s_{min}	[mm]	75						

Tabelle C12: Reduktionsfaktoren für Einzelanker unter Randeinfluss

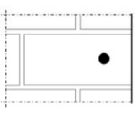
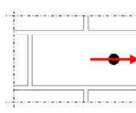
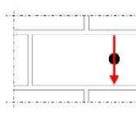
Zuglast			Querlast					
			Senkrecht zum freien Rand			Parallel zum freien Rand		
	mit $c \geq$	$\alpha_{edge, N}$		mit $c \geq$	$\alpha_{edge, V \perp}$		mit $c \geq$	$\alpha_{edge, V II}$
	60	0,50		60	0,30		60	0,60
	100	0,50		100	0,50		100	1,00
	150	1,00		240	1,00		150	1,00

Tabelle C13: Faktoren für Ankergruppen unter Zuglast

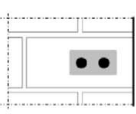
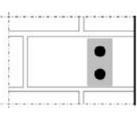
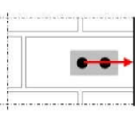
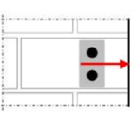
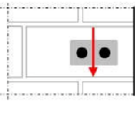
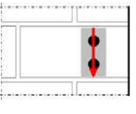
Ankeranordnung parallel zur Lagerfuge				Ankeranordnung senkrecht zur Lagerfuge			
	mit $c \geq$	mit $s \geq$	$\alpha_{g II, N}$		mit $c \geq$	mit $s \geq$	$\alpha_{g \perp, N}$
	60	75	0,70		60	75	1,15
	150	75	1,40		150	75	2,00
	150	240	2,00		150	150	2,00

Tabelle C14: Faktoren für Ankergruppen unter Querlast

	Ankeranordnung parallel zur Lagerfuge				Ankeranordnung senkrecht zur Lagerfuge			
		mit $c \geq$	mit $s \geq$	$\alpha_{g II, V \perp}$		mit $c \geq$	mit $s \geq$	$\alpha_{g \perp, V \perp}$
Querlast senkrecht zum freien Rand		60	75	0,75		60	75	0,90
		150	75	2,00		150	75	2,00
		150	240	2,00		150	150	2,00
Querlast parallel zum freien Rand		mit $c \geq$	mit $s \geq$	$\alpha_{g II, V II}$		mit $c \geq$	mit $s \geq$	$\alpha_{g \perp, V II}$
		60	75	2,00		60	75	2,00
		150	75	2,00		150	75	2,00
		150	240	2,00		150	150	2,00

Soudal Injektionssystem VE-SF

Leistungen Kalksandvollstein KS-NF

Beschreibung des Steins, Installationsparameter, Reduktions- und Gruppenfaktoren

Anhang C 7

Steintyp: Kalksandvollstein KS-NF

Tabelle C15: Charakteristische Werte der Tragfähigkeit unter Zug- und Querlast

Ankergröße		Siebhülse		Effektive Verankerungs- tiefe	Charakteristischer Widerstand bei $c \geq c_{cr}$ und $s \geq s_{cr}$						
					Nutzungsbedingungen						
					d/d			w/d w/w			d/d w/d w/w
					40°C/24°C	80°C/50°C	120°C/72°C	40°C/24°C	80°C/50°C	120°C/72°C	Alle Temperatur- bereiche
hef		$N_{Rk,b} = N_{Rk,p}$			$N_{Rk,b} = N_{Rk,p}$			$V_{Rk,b}^{2)}$			
		[mm]		[kN]							
Druckfestigkeit $f_b \geq 28 \text{ N/mm}^2$ ¹⁾											
M8	-	≥ 80	7,0	6,5	5,0	6,0	5,5	4,0	7,0		
M10 / IG-M6	-	≥ 90	7,0	6,5	5,0	6,0	5,5	4,0			
M12 / IG-M8	-	≥ 100	7,0	6,5	5,0	6,0	5,5	4,0			
M16 / IG-M10	-	≥ 100	7,0	6,5	5,0	7,0	6,5	5,0			
M8	12x80	80	7,0	6,5	5,0	6,0	5,5	4,0			
M8 / M10/ IG-M6	16x85	85	7,0	6,5	5,0	7,0	6,5	5,0			
	16x130	130	7,0	6,5	5,0	7,0	6,5	5,0			
M12 / M16 / IG-M8 / IG-M10	20x85	85	7,0	6,5	5,0	7,0	6,5	5,0			
	20x130	130	7,0	6,5	5,0	7,0	6,5	5,0			
	20x200	200	7,0	6,5	5,0	7,0	6,5	5,0			

¹⁾ Für geringere Druckfestigkeiten müssen die Widerstände mit dem Umrechnungsfaktor nach Tabelle C10 multipliziert werden.

²⁾ $V_{Rk,c}$ gemäß Anhang C3

Tabelle C16: Verschiebungen

Ankergröße	hef	$\delta N / N$	δN_0	δN_∞	$\delta V / V$	δV_0	δV_∞
	[mm]	[mm/kN]	[mm]	[mm]	[mm/kN]	[mm]	[mm]
M8 – M12, IG-M6 – M10	alle	0,1	0,1 * $N_{Rk} / 3,5$	2 * δN_0	0,3	0,3 * $V_{Rk} / 3,5$	1,5 * δV_0
M16	alle				0,1	0,1 * $V_{Rk} / 3,5$	1,5 * δV_0

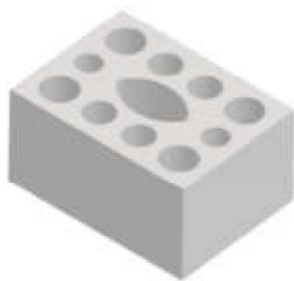
Soudal Injektionssystem VE-SF

Leistungen Kalksandvollstein KS-NF
Charakteristische Tragfähigkeiten und Verschiebungen

Anhang C 8

Steintyp: Kalksandlochstein KSL-3DF

Tabelle C17: Beschreibung des Steins

Steintyp	Kalksandlochstein KSL-3DF		
Dichte	ρ [kg/dm ³]	≥ 1,4	
Druckfestigkeit	f_b [N/mm ²]	≥ 14	
Umrechnungsfaktor für geringere Druckfestigkeiten	$(f_b / 14)^{0,75} \leq 1,0$		
Norm	EN 771-2:2015		
Hersteller (Land)	z.B. KS-Wemding (DE)		
Steinabmessungen	[mm]	≥ 240 x 175 x 113	
Bohrverfahren	Drehbohren		

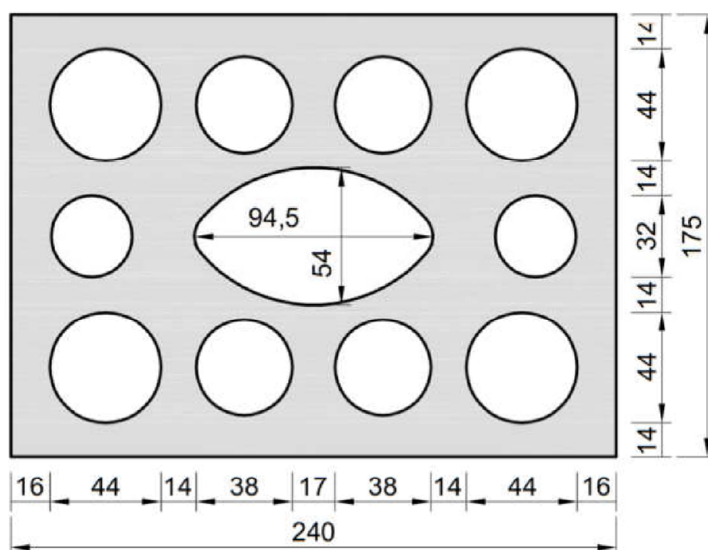
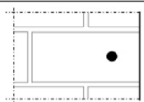
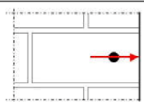


Tabelle C18: Installationsparameter

Ankergröße		[-]	M8	M10	M12	M16	IG-M6	IG-M8	IG-M10
Installationsdrehmoment	T_{inst}	[Nm]	≤ 5	≤ 5	≤ 8	≤ 8	≤ 5	≤ 8	≤ 8
Randabstand	c_{cr}	[mm]	120 (für Querlasten senkrecht zum freien Rand: $c_{cr} = 240$)						
Minimaler Randabstand	c_{min}	[mm]	60						
Achsabstand	$s_{cr, II}$	[mm]	240						
	$s_{cr, \perp}$	[mm]	120						
Minimaler Achsabstand	s_{min}	[mm]	120						

Tabelle C19: Reduktionsfaktoren für Einzelanker unter Randeinfluss

Zuglast			Querlast					
			Senkrecht zum freien Rand			Parallel zum freien Rand		
	mit $c \geq$	$\alpha_{edge, N}$		mit $c \geq$	$\alpha_{edge, V \perp}$		mit $c \geq$	$\alpha_{edge, V II}$
	60	1,00		60	0,30		60	1,00
	120	1,00		240	1,00		120	1,00

Soudal Injektionssystem VE-SF

Leistungen Kalksandlochstein KSL-3DF

Beschreibung des Steins, Installationsparameter, Reduktionsfaktoren

Anhang C 9

Steintyp: Kalksandlochstein KSL-3DF

Tabelle C20: Faktoren für Ankergruppen unter Zuglast

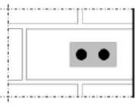
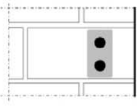
Ankeranordnung parallel zur Lagerfuge				Ankeranordnung senkrecht zur Lagerfuge			
	mit $c \geq$	mit $s \geq$	$\alpha_{g II, N}$		mit $c \geq$	mit $s \geq$	$\alpha_{g \perp, N}$
	60	120	1,50		60	120	1,00
	120	120	2,00		120	120	2,00
	120	240	2,00				

Tabelle C21: Faktoren für Ankergruppen unter Querlast

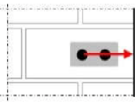
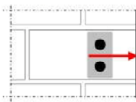
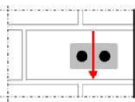
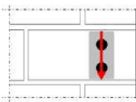
Querlast senkrecht zum freien Rand	Ankeranordnung parallel zur Lagerfuge				Ankeranordnung senkrecht zur Lagerfuge			
		mit $c \geq$	mit $s \geq$	$\alpha_{g II, V \perp}$		mit $c \geq$	mit $s \geq$	$\alpha_{g \perp, V \perp}$
		60	120	0,30		60	120	0,30
		120	120	1,00		240	120	2,00
		120	240	2,00				
Querlast parallel zum freien Rand		mit $c \geq$	mit $s \geq$	$\alpha_{g II, V II}$		mit $c \geq$	mit $s \geq$	$\alpha_{g \perp, V II}$
		60	120	1,00		60	120	1,00
		120	120	1,60		120	120	2,00
		120	240	2,00				

Tabelle C22: Charakteristische Werte der Tragfähigkeit unter Zug- und Querlast

Ankergröße	Siebhülse	Effektive Verankerungstiefe	Charakteristischer Widerstand bei $c \geq c_{cr}$ und $s \geq s_{cr}$							
			Nutzungsbedingungen							
			d/d			w/d w/w			d/d w/d w/w	
			40°C/24°C	80°C/50°C	120°C/72°C	40°C/24°C	80°C/50°C	120°C/72°C	Alle Temperaturbereiche	
		h_{ef}	$N_{Rk,b} = N_{Rk,p}$			$N_{Rk,b} = N_{Rk,p}$			$V_{Rk,b}^{2)}$	
		[mm]	[kN]							
Druckfestigkeit $f_b \geq 14 \text{ N/mm}^2$ ¹⁾										
M8 / M10 / IG-M6	16x85	85	2,5	2,5	1,5	2,5	2,5	1,5	6,0	
	16x130	130	2,5	2,5	2,0	2,5	2,5	2,0	6,0	
M12 / M16 / IG-M8 / IG-M10	20x85	85	6,5	6,0	4,5	6,5	6,0	4,5	6,0	
	20x130	130	6,5	6,0	4,5	6,5	6,0	4,5	6,0	

¹⁾ Für geringere Druckfestigkeiten müssen die Widerstände mit dem Umrechnungsfaktor nach Tabelle C17 multipliziert werden.

²⁾ $V_{Rk,c}$ gemäß Anhang C3

Tabelle C23: Verschiebungen

Ankergröße	h_{ef}	δ_N / N	δ_{N0}	$\delta_{N\infty}$	δ_V / V	δ_{V0}	$\delta_{V\infty}$
	[mm]	[mm/kN]	[mm]	[mm]	[mm/kN]	[mm]	[mm]
M8 – M12, IG-M6 – M10	alle	0,13	$0,13 \cdot N_{Rk} / 3,5$	$2 \cdot \delta_{N0}$	0,55	$0,55 \cdot V_{Rk} / 3,5$	$1,5 \cdot \delta_{V0}$
M16	alle				0,31	$0,31 \cdot V_{Rk} / 3,5$	$1,5 \cdot \delta_{V0}$

Soudal Injektionssystem VE-SF

Leistungen Kalksandlochstein KSL-3DF

Gruppenfaktoren, charakteristische Tragfähigkeiten und Verschiebungen

Anhang C 10

Steintyp: Kalksandlochstein KSL-8DF

Tabelle C24: Beschreibung des Steins

Steintyp	Kalksandlochstein KSL-8DF		
Dichte	ρ [kg/dm ³]	≥ 1,4	
Druckfestigkeit	f_b [N/mm ²]	≥ 12	
Umrechnungsfaktor für geringere Druckfestigkeiten	$(f_b / 12)^{0,75} \leq 1,0$		
Norm	EN 771-2:2015		
Hersteller (Land)	z.B. KS-Wending (DE)		
Steinabmessungen	[mm]	≥ 248 x 240 x 238	
Bohrverfahren	Drehbohren		

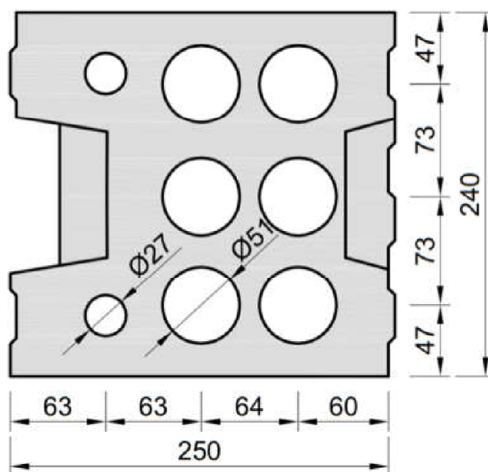
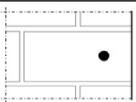
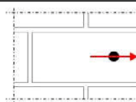
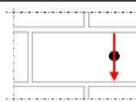


Tabelle C25: Installationsparameter

Ankergröße		[-]	M8	M10	M12	M16	IG-M6	IG-M8	IG-M10
Installationsdrehmoment	T_{inst}	[Nm]	≤ 5	≤ 5	≤ 8	≤ 8	≤ 5	≤ 8	≤ 8
Randabstand	c_{cr}	[mm]	120 (für Querlasten senkrecht zum freien Rand: $c_{cr} = 250$)						
Minimaler Randabstand	c_{min}	[mm]	50						
Achsabstand	$s_{cr, II}$	[mm]	250						
	$s_{cr, \perp}$	[mm]	120						
Minimaler Achsabstand	s_{min}	[mm]	50						

Tabelle C26: Reduktionsfaktoren für Einzelanker unter Randeinfluss

Zuglast			Querlast					
			Senkrecht zum freien Rand			Parallel zum freien Rand		
	mit $c \geq$	$\alpha_{edge, N}$		mit $c \geq$	$\alpha_{edge, V \perp}$		mit $c \geq$	$\alpha_{edge, V II}$
	50	1,00		50	0,30		50	1,00
	120	1,00		250	1,00		120	1,00

Soudal Injektionssystem VE-SF

Leistungen Kalksandlochstein KSL-8DF

Beschreibung des Steins, Installationsparameter, Reduktionsfaktoren

Anhang C 11

Steintyp: Kalksandlochstein KSL-8DF

Tabelle C27: Faktoren für Ankergruppen unter Zuglast

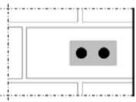
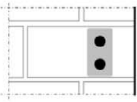
Ankeranordnung parallel zur Lagerfuge				Ankeranordnung senkrecht zur Lagerfuge			
	mit $c \geq$	mit $s \geq$	$\alpha_{g II, N}$		mit $c \geq$	mit $s \geq$	$\alpha_{g \perp, N}$
	50	50	1,00		50	50	1,00
	120	250	2,00		120	120	2,00

Tabelle C28: Faktoren für Ankergruppen unter Querlast

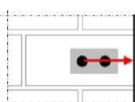
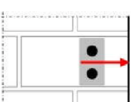
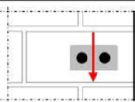
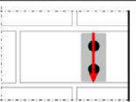
Querlast	Ankeranordnung parallel zur Lagerfuge				Ankeranordnung senkrecht zur Lagerfuge			
		mit $c \geq$	mit $s \geq$	$\alpha_{g II, V \perp}$		mit $c \geq$	mit $s \geq$	$\alpha_{g \perp, V \perp}$
senkrecht zum freien Rand		50	50	0,45		50	50	0,45
		250	50	1,15		250	50	1,20
		250	250	2,00		250	250	2,00
parallel zum freien Rand		mit $c \geq$	mit $s \geq$	$\alpha_{g II, V II}$		mit $c \geq$	mit $s \geq$	$\alpha_{g \perp, V II}$
		50	50	1,30		50	50	1,00
		120	250	2,00		120	250	2,00

Tabelle C29: Charakteristische Werte der Tragfähigkeit unter Zug- und Querlast

Ankergröße	Siebhülse	Effektive Verankerungstiefe	Charakteristischer Widerstand bei $c \geq c_{cr}$ und $s \geq s_{cr}$						
			Nutzungsbedingungen						
			d/d			w/d w/w			d/d w/d w/w
			40°C/24°C	80°C/50°C	120°C/72°C	40°C/24°C	80°C/50°C	120°C/72°C	Alle Temperaturbereiche
		h_{ef}	$N_{Rk,b} = N_{Rk,p}$			$N_{Rk,b} = N_{Rk,p}$			$V_{Rk,b}^{2)}$
		[mm]	[kN]						
Druckfestigkeit $f_b \geq 12 \text{ N/mm}^2$ ¹⁾									
M8 / M10 / IG-M6	16x130	130	5,0	4,5	3,5	5,0	4,5	3,5	3,5
M12 / M16 / IG-M8 / IG-M10	20x130	130	5,0	4,5	3,5	5,0	4,5	3,5	6,0
	20x200	200							

¹⁾ Für geringere Druckfestigkeiten müssen die Widerstände mit dem Umrechnungsfaktor nach Tabelle C24 multipliziert werden.
²⁾ $V_{Rk,c}$ gemäß Anhang C3

Tabelle C30: Verschiebungen

Ankergröße	h_{ef}	$\delta N / N$	δN_0	δN_{∞}	$\delta V / V$	δV_0	δV_{∞}
	[mm]	[mm/kN]	[mm]	[mm]	[mm/kN]	[mm]	[mm]
M8 – M12, IG-M6 – M10	alle	0,13	0,13 * $N_{Rk} / 3,5$	2 * δN_0	0,55	0,55 * $V_{Rk} / 3,5$	1,5 * δV_0
M16	alle				0,31	0,31 * $V_{Rk} / 3,5$	1,5 * δV_0

Soudal Injektionssystem VE-SF

Leistungen Kalksandlochstein KSL-8DF

Gruppenfaktoren, charakteristische Tragfähigkeiten und Verschiebungen

Anhang C 12

Steintyp: Kalksandlochstein KSL-12DF

Tabelle C31: Beschreibung des Steins

Steintyp	Kalksandlochstein KSL-12DF		
Dichte	ρ [kg/dm ³]	$\geq 1,4$	
Druckfestigkeit	f_b [N/mm ²]	≥ 12	
Umrechnungsfaktor für geringere Druckfestigkeiten	$(f_b / 12)^{0,75} \leq 1,0$		
Norm	EN 771-2:2015		
Hersteller (Land)	z.B. KS-Wemding (DE)		
Steinabmessungen	[mm]	$\geq 498 \times 175 \times 238$	
Bohrverfahren	Drehbohren		

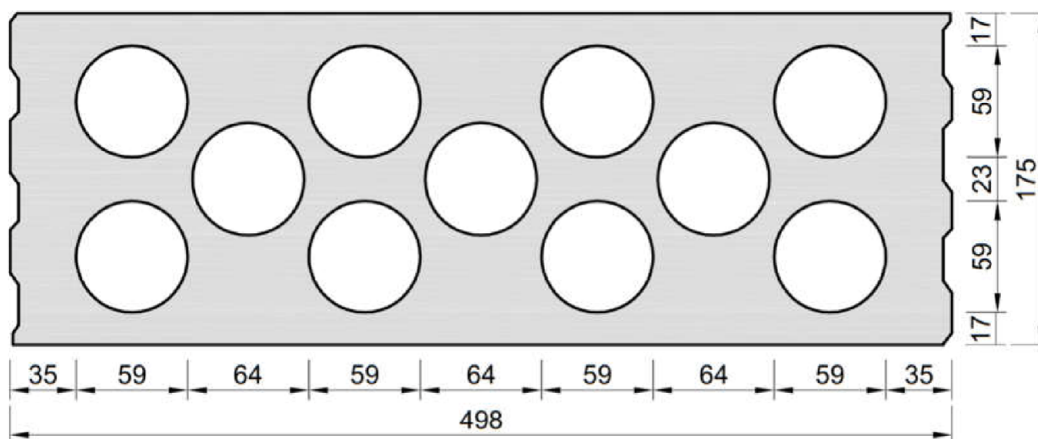
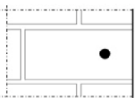
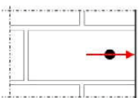


Tabelle C32: Installationsparameter

Ankergröße		[-]	M8	M10	M12	M16	IG-M6	IG-M8	IG-M10
Installationsdrehmoment	T_{inst}	[Nm]	≤ 4	≤ 4	≤ 5	≤ 5	≤ 4	≤ 5	≤ 5
Randabstand	c_{cr}	[mm]	120 (für Querlasten senkrecht zum freien Rand: $c_{cr} = 500$)						
Minimaler Randabstand	c_{min}	[mm]	50						
Achsabstand	$s_{cr, II}$	[mm]	500						
	$s_{cr, \perp}$	[mm]	120						
Minimaler Achsabstand	s_{min}	[mm]	50						

Tabelle C33: Reduktionsfaktoren für Einzelanker unter Randeinfluss

Zuglast			Querlast					
			Senkrecht zum freien Rand			Parallel zum freien Rand		
	mit $c \geq$	$\alpha_{edge, N}$		mit $c \geq$	$\alpha_{edge, V \perp}$		mit $c \geq$	$\alpha_{edge, V II}$
	50	1,00		50	0,45		50	1,00
	120	1,00		500	1,00		120	1,00

Soudal Injektionssystem VE-SF

Leistungen Kalksandlochstein KSL-12DF

Beschreibung des Steins, Installationsparameter, Reduktionsfaktoren

Anhang C 13

Steintyp: Kalksandlochstein KSL-12DF

Tabelle C34: Faktoren für Ankergruppen unter Zuglast

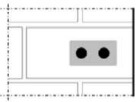
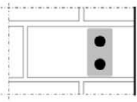
Ankeranordnung parallel zur Lagerfuge				Ankeranordnung senkrecht zur Lagerfuge			
	mit $c \geq$	mit $s \geq$	$\alpha_{g II, N}$		mit $c \geq$	mit $s \geq$	$\alpha_{g \perp, N}$
	50	50	1,50		50	50	1,00
	120	500	2,00		120	240	2,00

Tabelle C35: Faktoren für Ankergruppen unter Querlast

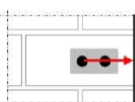
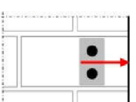
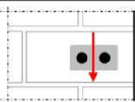
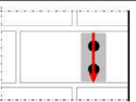
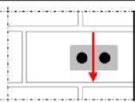
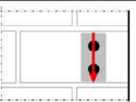
		Ankeranordnung parallel zur Lagerfuge			Ankeranordnung senkrecht zur Lagerfuge			
Querlast senkrecht zum freien Rand		mit $c \geq$	mit $s \geq$	$\alpha_{g II, V \perp}$		mit $c \geq$	mit $s \geq$	$\alpha_{g \perp, V \perp}$
			50	50		0,55		50
Querlast parallel zum freien Rand		500	50	1,00		500	50	1,00
		500	500	2,00		500	250	2,00
Querlast senkrecht zum freien Rand		mit $c \geq$	mit $s \geq$	$\alpha_{g II, V \parallel}$		mit $c \geq$	mit $s \geq$	$\alpha_{g \perp, V \parallel}$
		50	50	2,00		50	50	1,30
		120	500	2,00		120	250	2,00

Tabelle C36: Charakteristische Werte der Tragfähigkeit unter Zug- und Querlast

Ankergröße	Siebhülse	Effektive Verankerungstiefe	Charakteristischer Widerstand bei $c \geq c_{cr}$ und $s \geq s_{cr}$						
			Nutzungsbedingungen						
			d/d			w/d w/w			d/d w/d w/w
			40°C/24°C	80°C/50°C	120°C/72°C	40°C/24°C	80°C/50°C	120°C/72°C	Alle Temperaturbereiche
		h_{ef}	$N_{Rk,b} = N_{Rk,p}$			$N_{Rk,b} = N_{Rk,p}$			$V_{Rk,b}^{2)}$
		[mm]	[kN]						
Druckfestigkeit $f_b \geq 12 \text{ N/mm}^2$ ¹⁾									
M8 / M10 / IG-M6	16x130	130	3,5	3,5	2,5	3,5	3,5	2,5	3,5
M12 / M16 / IG-M8 / IG-M10	20x130	130	3,5	3,5	2,5	3,5	3,5	2,5	7,0

1) Für geringere Druckfestigkeiten müssen die Widerstände mit dem Umrechnungsfaktor nach Tabelle C31 multipliziert werden.
2) $V_{Rk,c}$ gemäß Anhang C3

Tabelle C37: Verschiebungen

Ankergröße	h_{ef}	$\delta N / N$	δN_0	δN_{∞}	$\delta V / V$	δV_0	δV_{∞}
	[mm]	[mm/kN]	[mm]	[mm]	[mm/kN]	[mm]	[mm]
M8 – M12, IG-M6 – M10	alle	0,13	0,13 * $N_{Rk} / 3,5$	2 * δN_0	0,55	0,55 * $V_{Rk} / 3,5$	1,5 * δV_0
M16	alle				0,31	0,31 * $V_{Rk} / 3,5$	1,5 * δV_0

Soudal Injektionssystem VE-SF

Leistungen Kalksandlochstein KSL-12DF
Gruppenfaktoren, charakteristische Tragfähigkeiten und Verschiebungen

Anhang C 14

Steintyp: Mauerziegel 1DF

Tabelle C38: Beschreibung des Steins

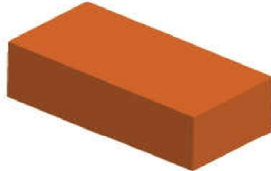
Steintyp	Mauerziegel Mz-1DF	
Dichte ρ [kg/dm ³]	$\geq 2,0$	
Druckfestigkeit f_b [N/mm ²]	≥ 20	
Umrechnungsfaktor für geringere Druckfestigkeiten	$(f_b / 20)^{0,5} \leq 1,0$	
Norm	EN 771-1:2015:2015	
Hersteller (Land)	z.B. Wienerberger (DE)	
Steinabmessungen [mm]	$\geq 240 \times 115 \times 55$	
Bohrverfahren	Hammerbohren	

Tabelle C39: Installationsparameter

Ankergröße		[-]	M8	M10	M12	M16	IG-M6	IG-M8	IG-M10
Installationsdrehmoment	T_{inst}	[Nm]	≤ 10	≤ 10	≤ 10	≤ 10	≤ 10	≤ 10	≤ 10
Randabstand	c_{cr}	[mm]	150 (für Querlasten senkrecht zum freien Rand: $c_{cr} = 240$)						
Minimaler Randabstand	c_{min}	[mm]	60						
Achsabstand	$s_{cr, II}$	[mm]	240						
	$s_{cr, \perp}$	[mm]	130						
Minimaler Achsabstand	s_{min}	[mm]	65						

Tabelle C40: Reduktionsfaktoren für Einzelanker unter Randeinfluss

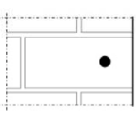
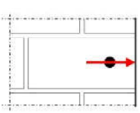
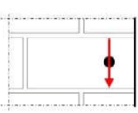
Zuglast			Querlast					
			Senkrecht zum freien Rand			Parallel zum freien Rand		
	mit $c \geq$	$\alpha_{edge, N}$		mit $c \geq$	$\alpha_{edge, V \perp}$		mit $c \geq$	$\alpha_{edge, V II}$
	60	0,75		60	0,10		60	0,30
	100			100	0,50		100	0,65
	150	1,00		240	1,00		150	1,00

Tabelle C41: Faktoren für Ankergruppen unter Zuglast

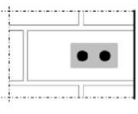
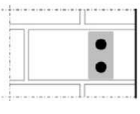
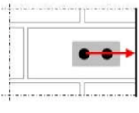
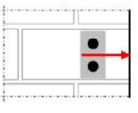
Ankeranordnung parallel zur Lagerfuge				Ankeranordnung senkrecht zur Lagerfuge			
	mit $c \geq$	mit $s \geq$	$\alpha_{g II, N}$		mit $c \geq$	mit $s \geq$	$\alpha_{g \perp, N}$
	60	65	0,85		60	65	1,00
	150	65	1,15		150	65	1,20
	150	240	2,00		150	130	2,00

Tabelle C42: Faktoren für Ankergruppen unter Querlast

	Ankeranordnung parallel zur Lagerfuge				Ankeranordnung senkrecht zur Lagerfuge			
		mit $c \geq$	mit $s \geq$	$\alpha_{g II, V \perp}$		mit $c \geq$	mit $s \geq$	$\alpha_{g \perp, V \perp}$
Querlast senkrecht zum freien Rand		60	65	0,40		60	65	0,30
		240	65	2,00		240	65	2,00
		240	240	2,00		240	130	2,00
Querlast parallel zum freien Rand		60	65	1,75		60	65	1,10
		150	65	2,00		150	65	2,00
		150	240	2,00		150	130	2,00

Soudal Injektionssystem VE-SF

Leistungen Mauerziegel 1DF

Beschreibung des Steins, Installationsparameter, Reduktions- und Gruppenfaktoren

Anhang C 15

Steintyp: Mauerziegel 1DF

Tabelle C43: Charakteristische Werte der Tragfähigkeit unter Zug- und Querlast

Ankergröße		Siebhülse	Effektive Verankerungs- tiefe	Charakteristischer Widerstand bei $c \geq c_{cr}$ und $s \geq s_{cr}$						
				Nutzungsbedingungen						
				d/d			w/d w/w			d/d w/d w/w
				40°C/24°C	80°C/50°C	120°C/72°C	40°C/24°C	80°C/50°C	120°C/72°C	Alle Temperatur- bereiche
hef		$N_{Rk,b} = N_{Rk,p}$			$N_{Rk,b} = N_{Rk,p}$			$V_{Rk,b}^{2)}$		
		[mm]	[kN]							
Druckfestigkeit $f_b \geq 20 \text{ N/mm}^2$ ¹⁾										
M8	-	≥ 80	7,0	6,0	6,0	7,0	6,0	6,0	8,0	
M10 / IG-M6	-	≥ 90	7,0	6,0	6,0	7,0	6,0	6,0	8,0	
M12 / IG-M8	-	≥ 100	7,0	6,0	6,0	7,0	6,0	6,0	8,0	
M16 / IG-M10	-	≥ 100	8,0	6,5	6,5	8,0	6,5	6,5	12,0	
M8	12x80	80	7,0	6,0	6,0	7,0	6,0	6,0	8,0	
M8 / M10/ IG-M6	16x85	85	7,0	6,0	6,0	7,0	6,0	6,0	8,0	
	16x130	130	7,0	6,0	6,0	7,0	6,0	6,0	8,0	
M12 / IG-M8	20x85	85	7,0	6,0	6,0	7,0	6,0	6,0	8,0	
	20x130	130	7,0	6,0	6,0	7,0	6,0	6,0	8,0	
	20x200	200	7,0	6,0	6,0	7,0	6,0	6,0	8,0	
M16 / IG-M10	20x85	85	8,0	6,5	6,5	8,0	6,5	6,5	12,0	
	20x130	130	8,0	6,5	6,5	8,0	6,5	6,5	12,0	
	20x200	200	8,0	6,5	6,5	8,0	6,5	6,5	12,0	

1) Für geringere Druckfestigkeiten müssen die Widerstände mit dem Umrechnungsfaktor nach Tabelle C38 multipliziert werden.

2) $V_{Rk,c}$ gemäß Anhang C3

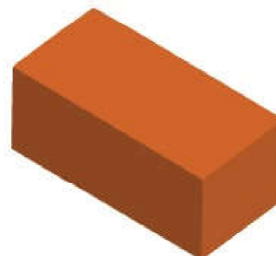
Tabelle C44: Verschiebungen

Ankergröße	hef	$\delta N / N$	δN_0	δN_∞	$\delta V / V$	δV_0	δV_∞
	[mm]	[mm/kN]	[mm]	[mm]	[mm/kN]	[mm]	[mm]
M8 – M12, IG-M6 – M10	alle	0,1	$0,1 \cdot N_{Rk} / 3,5$	$2 \cdot \delta N_0$	0,3	$0,3 \cdot V_{Rk} / 3,5$	$1,5 \cdot \delta V_0$
M16	alle				0,1	$0,1 \cdot V_{Rk} / 3,5$	$1,5 \cdot \delta V_0$

Soudal Injektionssystem VE-SF

Leistungen Mauerziegel 1DF
Charakteristische Tragfähigkeiten und Verschiebungen

Anhang C 16



Steintyp: Mauerziegel 2DF

Tabelle C45: Beschreibung des Steins

Steintyp	Mauerziegel 2DF
Dichte ρ [kg/dm ³]	$\geq 2,0$
Druckfestigkeit f_b [N/mm ²]	≥ 28
Umrechnungsfaktor für geringere Druckfestigkeiten	$(f_b / 28)^{0,5} \leq 1,0$
Norm	EN 771-1:2015
Hersteller (Land)	z.B. Wienerberger (DE)
Steinabmessungen [mm]	$\geq 240 \times 115 \times 113$
Bohrverfahren	Hammerbohren

Tabelle C46: Installationsparameter

Ankergröße		[-]	M8	M10	M12	M16	IG-M6	IG-M8	IG-M10
Installationsdrehmoment	T_{inst}	[Nm]	≤ 10	≤ 10	≤ 10	≤ 10	≤ 10	≤ 10	≤ 10
Randabstand	c_{cr}	[mm]	150 (für Querlasten senkrecht zum freien Rand: $c_{cr} = 240$)						
Minimaler Randabstand	c_{min}	[mm]	50						
Achsabstand	$s_{cr, II}$	[mm]	240						
	$s_{cr, \perp}$	[mm]	240						
Minimaler Achsabstand	s_{min}	[mm]	50						

Tabelle C47: Reduktionsfaktoren für Einzelanker unter Randeinfluss

Zuglast			Querlast					
			Senkrecht zum freien Rand			Parallel zum freien Rand		
	mit $c \geq$	$\alpha_{edge, N}$		mit $c \geq$	$\alpha_{edge, V \perp}$		mit $c \geq$	$\alpha_{edge, V II}$
	50	1,00		50	0,20		50	1,00
	150	1,00		125	0,50		150	1,00
				240	1,00			

Tabelle C48: Faktoren für Ankergruppen unter Zuglast

Ankeranordnung parallel zur Lagerfuge				Ankeranordnung senkrecht zur Lagerfuge			
	mit $c \geq$	mit $s \geq$	$\alpha_{g II, N}$		mit $c \geq$	mit $s \geq$	$\alpha_{g \perp, N}$
	50	50	1,50		50	50	0,80
	150	240	2,00		150	240	2,00

Tabelle C49: Faktoren für Ankergruppen unter Querlast

Ankeranordnung parallel zur Lagerfuge				Ankeranordnung senkrecht zur Lagerfuge				
Querlast senkrecht zum freien Rand		mit $c \geq$	mit $s \geq$	$\alpha_{g II, V \perp}$		mit $c \geq$	mit $s \geq$	$\alpha_{g \perp, V \perp}$
			50	50		0,40		50
		240	50	1,20		240	50	0,60
		240	240	2,00		240	125	1,00
						240	240	2,00
Querlast parallel zum freien Rand		mit $c \geq$	mit $s \geq$	$\alpha_{g II, V II}$		mit $c \geq$	mit $s \geq$	$\alpha_{g \perp, V II}$
		50	50	1,20		50	50	1,00
		150	240	2,00		50	125	1,00
						150	240	2,00

Soudal Injektionssystem VE-SF

Leistungen Mauerziegel 2DF

Beschreibung des Steins, Installationsparameter, Reduktions- und Gruppenfaktoren

Anhang C 17

Steintyp: Mauerziegel 2DF

Tabelle C50: Charakteristische Werte der Tragfähigkeit unter Zug- und Querlast

Ankergröße	Siebhülse	Effektive Verankerungs- tiefe	Charakteristischer Widerstand bei $c \geq c_{cr}$ und $s \geq s_{cr}$						
			Nutzungsbedingungen						
			d/d			w/d w/w			d/d w/d w/w
			40°C/24°C	80°C/50°C	120°C/72°C	40°C/24°C	80°C/50°C	120°C/72°C	Alle Temperatur- bereiche
h_{ef}	$N_{Rk,b} = N_{Rk,p}$			$N_{Rk,b} = N_{Rk,p}$			$V_{Rk,b}^{2)}$		
		[mm]	[kN]						
Druckfestigkeit $f_b \geq 28 \text{ N/mm}^2$ ¹⁾									
M8	-	≥ 80	9,0	9,0	7,5	9,0	9,0	7,5	9,5
M10 / IG-M6	-	≥ 90	9,0	9,0	7,5	9,0	9,0	7,5	9,5
M12 / IG-M8	-	≥ 100	9,0	9,0	7,5	9,0	9,0	7,5	12
M16 / IG-M10	-	≥ 100	9,0	9,0	7,5	9,0	9,0	7,5	12 ³⁾
M8	12x80	80	9,0	9,0	7,5	9,0	9,0	7,5	9,5
M8 / M10/ IG-M6	16x85	85	9,0	9,0	7,5	9,0	9,0	7,5	9,5
	16x130	130	9,0	9,0	7,5	9,0	9,0	7,5	9,5
M12 / IG-M8	20x85	85	9,0	9,0	7,5	9,0	9,0	7,5	12
	20x130	130	9,0	9,0	7,5	9,0	9,0	7,5	12
	20x200	200	9,0	9,0	7,5	9,0	9,0	7,5	12
M16 / IG-M10	20x85	85	9,0	9,0	7,5	9,0	9,0	7,5	12 ³⁾
	20x130	130	9,0	9,0	7,5	9,0	9,0	7,5	12 ³⁾
	20x200	200	9,0	9,0	7,5	9,0	9,0	7,5	12 ³⁾

1) Für geringere Druckfestigkeiten müssen die Widerstände mit dem Umrechnungsfaktor nach Tabelle C45 multipliziert werden.
2) $V_{Rk,c}$ gemäß Anhang C3
3) Gültig für alle Steinfestigkeiten bis min. 10 N/mm²

Tabelle C51: Verschiebungen

Ankergröße	h_{ef}	$\delta N / N$	δN_0	δN_{∞}	$\delta V / V$	δV_0	δV_{∞}
	[mm]	[mm/kN]	[mm]	[mm]	[mm/kN]	[mm]	[mm]
M8 – M12, IG-M6 – M10	alle	0,1	0,1 * $N_{Rk} / 3,5$	2 * δN_0	0,3	0,3 * $V_{Rk} / 3,5$	1,5 * δV_0
M16	alle				0,1	0,1 * $V_{Rk} / 3,5$	1,5 * δV_0

Soudal Injektionssystem VE-SF

Leistungen Mauerziegel 2DF
Charakteristische Tragfähigkeiten und Verschiebungen

Anhang C 18

Steintyp: Hochlochziegel 10 DF

Tabelle C52: Beschreibung des Steins

Steintyp	Hochlochziegel HLZ 10DF	
Dichte ρ [kg/dm ³]	$\geq 1,25$	
Druckfestigkeit f_b [N/mm ²]	≥ 20	
Umrechnungsfaktor für geringere Druckfestigkeiten	$(f_b / 20)^{0,5} \leq 1,0$	
Norm	EN 771-1:2015	
Hersteller (Land)	z.B. Wienerberger (DE)	
Steinabmessungen [mm]	300 x 240 x 249	
Bohrverfahren	Drehbohren	

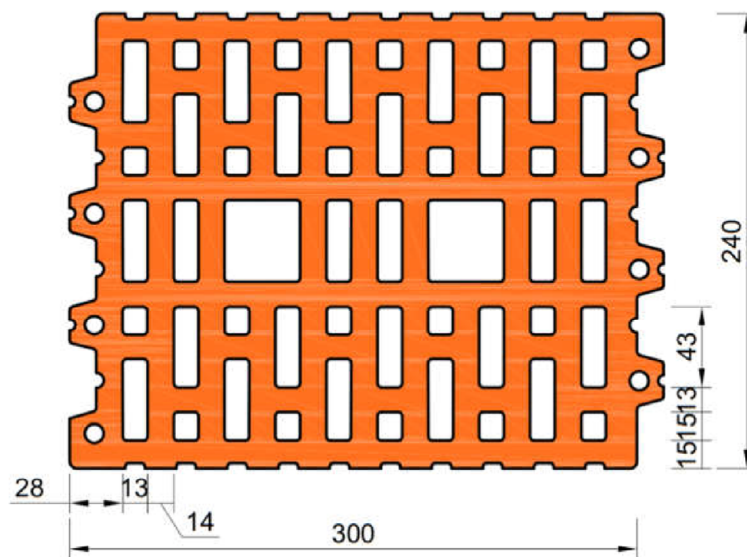
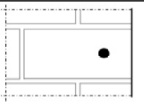
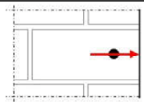
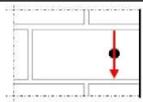


Tabelle C53: Installationsparameter

Ankergröße		[-]	M8	M10	M12	M16	IG-M6	IG-M8	IG-M10
Installationsdrehmoment	T_{inst}	[Nm]	≤ 5	≤ 10	≤ 10	≤ 10	≤ 5	≤ 5	≤ 10
Randabstand	c_{cr}	[mm]	120 (für Querlasten senkrecht zum freien Rand: $c_{cr} = 300$)						
Minimaler Randabstand	c_{min}	[mm]	50						
Achsabstand	$s_{cr, II}$	[mm]	300						
	$s_{cr, \perp}$	[mm]	250						
Minimaler Achsabstand	s_{min}	[mm]	50						

Tabelle C54: Reduktionsfaktoren für Einzelanker unter Randeinfluss

Zuglast			Querlast					
			Senkrecht zum freien Rand			Parallel zum freien Rand		
	mit $c \geq$	$\alpha_{edge, N}$		mit $c \geq$	$\alpha_{edge, V \perp}$		mit $c \geq$	$\alpha_{edge, V II}$
	50	1,00		50	0,20		50	1,00
	120	1,00		300	1,00		120	1,00

Soudal Injektionssystem VE-SF

Leistungen Hochlochziegel HLZ 10DF
Beschreibung des Steins, Installationsparameter, Reduktionsfaktoren

Anhang C 19

Steintyp: Hochlochziegel 10 DF

Tabelle C55: Faktoren für Ankergruppen unter Zuglast

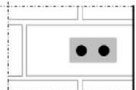
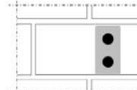
Ankeranordnung parallel zur Lagerfuge				Ankeranordnung senkrecht zur Lagerfuge			
	mit $c \geq$	mit $s \geq$	$\alpha_{g \parallel, N}$		mit $c \geq$	mit $s \geq$	$\alpha_{g \perp, N}$
	50	50	1,55		50	50	1,00
	120	300	2,00		120	250	2,00

Tabelle C56: Faktoren für Ankergruppen unter Querlast

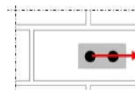
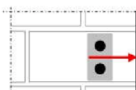
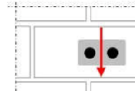
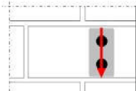
Querlast	Ankeranordnung parallel zur Lagerfuge				Ankeranordnung senkrecht zur Lagerfuge			
		mit $c \geq$	mit $s \geq$	$\alpha_{g \parallel, V \perp}$		mit $c \geq$	mit $s \geq$	$\alpha_{g \perp, V \perp}$
senkrecht zum freien Rand		50	50	0,30		50	50	0,20
	300	50	1,40	300	50	1,00		
	300	300	2,00	300	250	2,00		
parallel zum freien Rand		mit $c \geq$	mit $s \geq$	$\alpha_{g \parallel, V \parallel}$		mit $c \geq$	mit $s \geq$	$\alpha_{g \perp, V \parallel}$
		50	50	1,85		50	50	1,00
		120	300	2,00		120	250	2,00

Tabelle C57: Charakteristische Werte der Tragfähigkeit unter Zug- und Querlast

Ankergröße	Siebhülse	Effektive Verankerungstiefe	Charakteristischer Widerstand bei $c \geq c_{cr}$ und $s \geq s_{cr}$						
			Nutzungsbedingungen						
			d/d			w/d w/w			d/d w/d w/w
			40°C/24°C	80°C/50°C	120°C/72°C	40°C/24°C	80°C/50°C	120°C/72°C	Alle Temperaturbereiche
		h_{ef}	$N_{Rk,b} = N_{Rk,p}$			$N_{Rk,b} = N_{Rk,p}$			$V_{Rk,b}^{2)}$
		[mm]	[kN]						
Druckfestigkeit $f_b \geq 20 \text{ N/mm}^2$ ¹⁾									
M8	12x80	80	2,5	2,5	2,0	2,5	2,5	2,0	8,0
M8 / M10/ IG-M6	16x85	85	2,5	2,5	2,0	2,5	2,5	2,0	8,0
	16x130	130	2,5	2,5	2,0	2,5	2,5	2,0	8,0
M12 / IG-M8	20x85	85	5,0	5,0	4,5	5,0	5,0	4,5	8,0
	20x130	130	5,0	5,0	4,5	5,0	5,0	4,5	8,0
	20x200	200	5,0	5,0	4,5	5,0	5,0	4,5	8,0
M16 / IG-M10	20x85	85	5,0	5,0	4,5	5,0	5,0	4,5	11,5
	20x130	130	5,0	5,0	4,5	5,0	5,0	4,5	11,5
	20x200	200	5,0	5,0	4,5	5,0	5,0	4,5	11,5

¹⁾ Für geringere Druckfestigkeiten müssen die Widerstände mit dem Umrechnungsfaktor nach Tabelle C52 multipliziert werden.

²⁾ $V_{Rk,c}$ gemäß Anhang C3

Tabelle C58: Verschiebungen

Ankergröße	h_{ef}	$\delta N / N$	δN_0	δN_{∞}	$\delta V / V$	δv_0	δv_{∞}
	[mm]	[mm/kN]	[mm]	[mm]	[mm/kN]	[mm]	[mm]
M8 – M12, IG-M6 – M10	alle	0,13	0,13 * $N_{Rk} / 3,5$	2 * δN_0	0,55	0,55 * $V_{Rk} / 3,5$	1,5 * δv_0
M16	alle				0,31	0,31 * $V_{Rk} / 3,5$	1,5 * δv_0

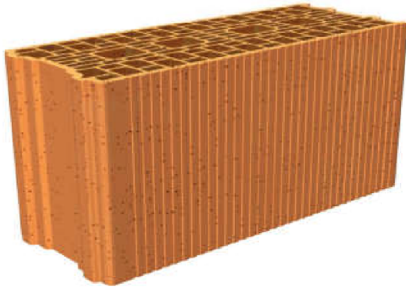
Soudal Injektionssystem VE-SF

Leistungen Hochlochziegel HLZ 10DF
Gruppenfaktoren, charakteristische Tragfähigkeiten und Verschiebungen

Anhang C 20

Steintyp: Hochlochziegel Porotherm Homebric

Tabelle C59: Beschreibung des Steins

Steintyp	Hochlochziegel Porotherm Homebric		
Dichte	ρ [kg/dm ³]	≥ 0,70	
Druckfestigkeit	f_b [N/mm ²]	≥ 10	
Umrechnungsfaktor für geringere Druckfestigkeiten	$(f_b / 10)^{0,5} \leq 1,0$		
Norm	EN 771-1:2015		
Hersteller (Land)	z.B. Wienerberger (FR)		
Steinabmessungen	[mm]	500 x 200 x 299	
Bohrverfahren	Drehbohren		

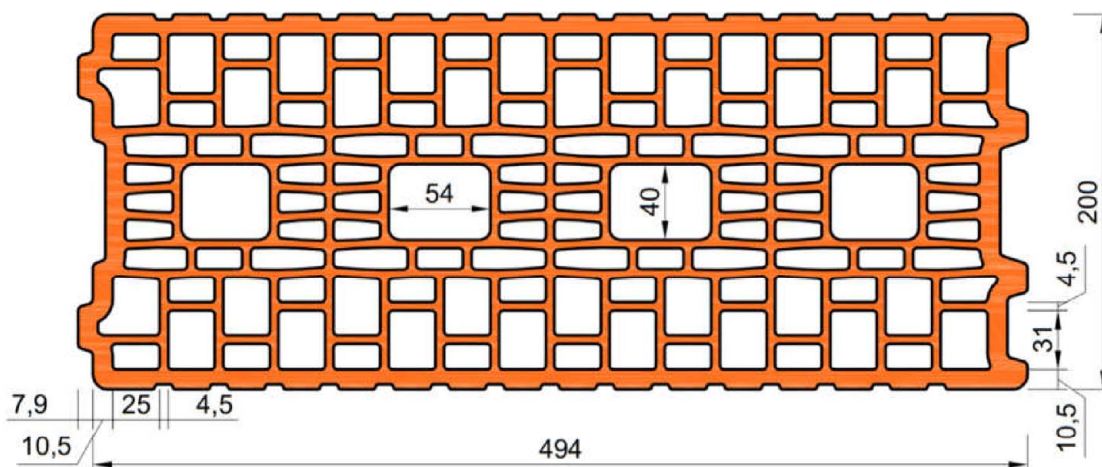
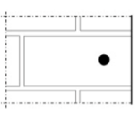
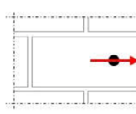
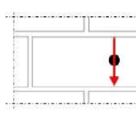


Tabelle C60: Installationsparameter

Ankergröße		[-]	M8	M10	M12	M16	IG-M6	IG-M8	IG-M10
Installationsdrehmoment	T_{inst}	[Nm]	≤ 2	≤ 2	≤ 2	≤ 2	≤ 2	≤ 2	≤ 2
Randabstand	c_{cr}	[mm]	120 (für Querlasten senkrecht zum freien Rand: $c_{cr} = 500$)						
Minimaler Randabstand	c_{min}	[mm]	120						
Achsabstand	$s_{cr, II}$	[mm]	500						
	$s_{cr, \perp}$	[mm]	300						
Minimaler Achsabstand	s_{min}	[mm]	120						

Tabelle C61: Reduktionsfaktoren für Einzelanker unter Randeinfluss

Zuglast			Querlast					
			Senkrecht zum freien Rand			Parallel zum freien Rand		
	mit $c \geq$	$\alpha_{edge, N}$		mit $c \geq$	$\alpha_{edge, V \perp}$		mit $c \geq$	$\alpha_{edge, V II}$
	120	1,00		120	0,30		120	0,60
	120	1,00		250	0,60		200	1,00
	120	1,00		500	1,00			

Soudal Injektionssystem VE-SF

Leistungen Hochlochziegel Porotherm Homebric
Beschreibung des Steins, Installationsparameter, Reduktionsfaktoren

Anhang C 21

Steintyp: Hochlochziegel Porotherm Homebric

Tabelle C62: Faktoren für Ankergruppen unter Zuglast

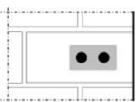
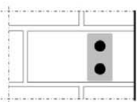
Ankeranordnung parallel zur Lagerfuge				Ankeranordnung senkrecht zur Lagerfuge			
	mit $c \geq$	mit $s \geq$	$\alpha_{g II, N}$		mit $c \geq$	mit $s \geq$	$\alpha_{g \perp, N}$
	120	100	1,00		120	100	1,00
	200	100	2,00		200	100	1,20
	120	500	2,00		120	300	2,00

Tabelle C63: Faktoren für Ankergruppen unter Querlast

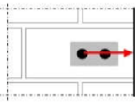
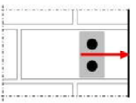
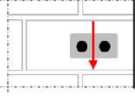
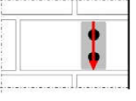
	Ankeranordnung parallel zur Lagerfuge				Ankeranordnung senkrecht zur Lagerfuge			
		mit $c \geq$	mit $s \geq$	$\alpha_{g II, V \perp}$		mit $c \geq$	mit $s \geq$	$\alpha_{g \perp, V \perp}$
Querlast senkrecht zum freien Rand		120	100	0,30		120	100	0,30
		250	100	0,60		250	100	0,60
		500	100	1,00		120	300	2,00
	120	500	2,00					
Querlast parallel zum freien Rand		mit $c \geq$	mit $s \geq$	$\alpha_{g II, V II}$		mit $c \geq$	mit $s \geq$	$\alpha_{g \perp, V II}$
		120	100	1,00		120	100	1,00
		120	500	2,00		120	300	2,00

Tabelle C64: Charakteristische Werte der Tragfähigkeit unter Zug- und Querlast

Ankergröße	Siebhülse	Effektive Verankerungstiefe	Charakteristischer Widerstand bei $c \geq c_{cr}$ und $s \geq s_{cr}$						
			Nutzungsbedingungen						
			d/d			w/d			d/d
			40°C/24°C	80°C/50°C	120°C/72°C	40°C/24°C	80°C/50°C	120°C/72°C	w/d
			Alle Temperaturbereiche						
		h_{ef}	$N_{Rk,b} = N_{Rk,p}$			$N_{Rk,b} = N_{Rk,p}$			
		[mm]	[kN]						
Druckfestigkeit $f_b \geq 10 \text{ N/mm}^2$									
M8	12x80	80				1,2			
M8 / M10 / IG-M6	16x85	85				1,2			
	16x130	130				1,5			
M12 / M16 / IG-M8 / IG-M10	20x85	85				1,2			
	20x130	130				1,5			
	20x200	200				1,5			

¹⁾ Für geringere Druckfestigkeiten müssen die Widerstände mit dem Umrechnungsfaktor nach Tabelle C59 multipliziert werden.
²⁾ $V_{Rk,c}$ gemäß Anhang C3

Tabelle C65: Verschiebungen

Ankergröße	h_{ef}	$\delta N / N$	δN_0	δN_{∞}	$\delta V / V$	δV_0	δV_{∞}
	[mm]	[mm/kN]	[mm]	[mm]	[mm/kN]	[mm]	[mm]
M8 – M12, IG-M6 – M10	alle	0,13	0,13 * $N_{Rk} / 3,5$	2 * δN_0	0,55	0,55 * $V_{Rk} / 3,5$	1,5 * δV_0
M16	alle				0,31	0,31 * $V_{Rk} / 3,5$	1,5 * δV_0

Soudal Injektionssystem VE-SF

Leistungen Hochlochziegel Porotherm Homebric
Gruppenfaktoren, charakteristische Tragfähigkeiten und Verschiebungen

Anhang C 22

Steintyp: Hochlochziegel BGV Thermo

Tabelle C66: Beschreibung des Steins

Steintyp	Hochlochziegel BGV Thermo		
Dichte	ρ [kg/dm ³]	≥ 0,60	
Druckfestigkeit	f_b [N/mm ²]	≥ 10	
Umrechnungsfaktor für geringere Druckfestigkeiten	$(f_b / 10)^{0,5} \leq 1,0$		
Norm	EN 771-1:2015		
Hersteller (Land)	z.B. Leroux (FR)		
Steinabmessungen	[mm]	500 x 200 x 314	
Bohrverfahren	Drehbohren		

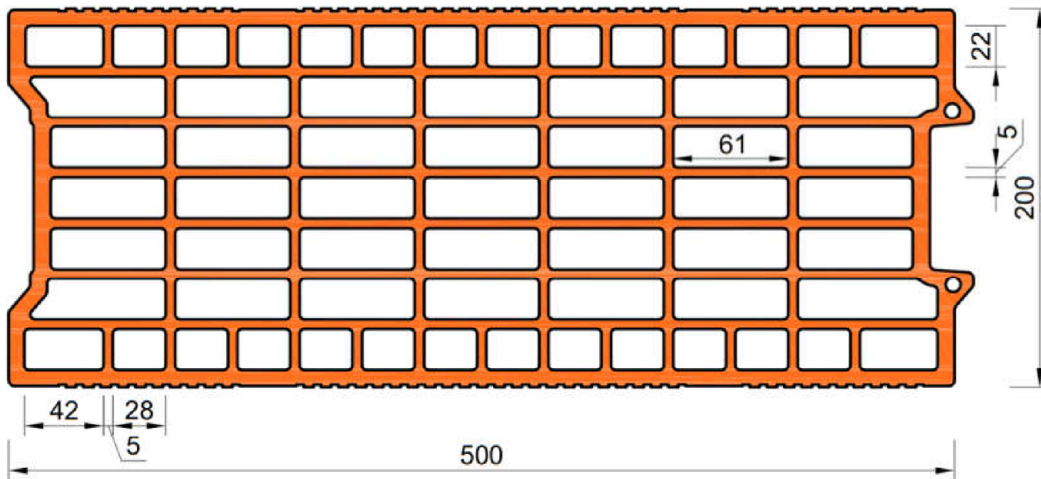
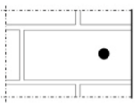
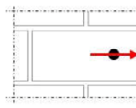
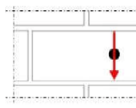


Tabelle C67: Installationsparameter

Ankergröße		[-]	M8	M10	M12	M16	IG-M6	IG-M8	IG-M10
Installationsdrehmoment	T_{inst}	[Nm]	≤ 2	≤ 2	≤ 2	≤ 2	≤ 2	≤ 2	≤ 2
Randabstand	c_{cr}	[mm]	120 (für Querlasten senkrecht zum freien Rand: $c_{cr} = 500$)						
Minimaler Randabstand	c_{min}	[mm]	120						
Achsabstand	$s_{cr, II}$	[mm]	500						
	$s_{cr, \perp}$	[mm]	315						
Minimaler Achsabstand	s_{min}	[mm]	120						

Tabelle C68: Reduktionsfaktoren für Einzelanker unter Randeinfluss

Zuglast			Querlast					
			Senkrecht zum freien Rand			Parallel zum freien Rand		
	mit $c \geq$	$\alpha_{edge, N}$		mit $c \geq$	$\alpha_{edge, V \perp}$		mit $c \geq$	$\alpha_{edge, V II}$
	120	1,00		120	0,30		120	0,60
	120	1,00		250	0,60		250	0,60
	120	1,00		500	1,00		250	1,00

Soudal Injektionssystem VE-SF

Leistungen Hochlochziegel BGV Thermo

Beschreibung des Steins, Installationsparameter, Reduktionsfaktoren

Anhang C 23

Steintyp: Hochlochziegel BGV Thermo

Tabelle C69: Faktoren für Ankergruppen unter Zuglast

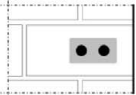
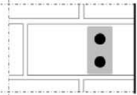
Ankeranordnung parallel zur Lagerfuge				Ankeranordnung senkrecht zur Lagerfuge			
	mit $c \geq$	mit $s \geq$	$\alpha_{g II, N}$		mit $c \geq$	mit $s \geq$	$\alpha_{g \perp, N}$
	120	100	1,00		120	100	1,00
	200	100	1,70		200	100	1,10
	120	500	2,00		120	315	2,00

Tabelle C70: Faktoren für Ankergruppen unter Querlast

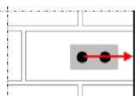
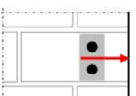
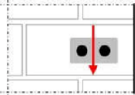
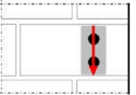
Querlast senkrecht zum freien Rand	Ankeranordnung parallel zur Lagerfuge				Ankeranordnung senkrecht zur Lagerfuge			
		mit $c \geq$	mit $s \geq$	$\alpha_{g II, V \perp}$		mit $c \geq$	mit $s \geq$	$\alpha_{g \perp, V \perp}$
		120	100	1,00		120	100	1,00
		120	500	2,00		120	315	2,00
Querlast parallel zum freien Rand		mit $c \geq$	mit $s \geq$	$\alpha_{g II, V II}$		mit $c \geq$	mit $s \geq$	$\alpha_{g \perp, V II}$
		120	100	1,00		120	100	1,00
		120	500	2,00		120	315	2,00

Tabelle C71: Charakteristische Werte der Tragfähigkeit unter Zug- und Querlast

Ankergröße	Siebhülse	Effektive Verankerungstiefe	Charakteristischer Widerstand bei $c \geq c_{cr}$ und $s \geq s_{cr}$						
			Nutzungsbedingungen						
			d/d			w/d w/w			d/d w/d w/w
			40°C/24°C	80°C/50°C	120°C/72°C	40°C/24°C	80°C/50°C	120°C/72°C	Alle Temperaturbereiche
		h_{ef}	$N_{Rk,b} = N_{Rk,p}$			$N_{Rk,b} = N_{Rk,p}$			$V_{Rk,b}^{2)}$
		[mm]	[kN]						
Druckfestigkeit $f_b \geq 10 \text{ N/mm}^2$ ¹⁾									
M8	12x80	80	0,9			3,5			
M8 / M10/ IG-M6	16x85	85	0,9			3,5			
	16x130	130	2,0	1,5	2,0	1,5	4,0		
M12 / IG-M8	20x85	85	0,9			4,0			
	20x130	130	2,0	1,5	2,0	1,5	4,0		
	20x200	200	2,0	1,5	2,0	1,5	4,0		
M16 / IG-M10	20x85	85	0,9			4,0			
	20x130	130	2,0	1,5	2,0	1,5	4,0		
	20x200	200	2,0	1,5	2,0	1,5	4,0		

¹⁾ Für geringere Druckfestigkeiten müssen die Widerstände mit dem Umrechnungsfaktor nach Tabelle C66 multipliziert werden.

²⁾ $V_{Rk,c}$ gemäß Anhang C3

Tabelle C72: Verschiebungen

Ankergröße	h_{ef}	$\delta N / N$	δN_0	δN_{∞}	$\delta V / V$	δV_0	δV_{∞}
	[mm]	[mm/kN]	[mm]	[mm]	[mm/kN]	[mm]	[mm]
M8 – M12, IG-M6 – M10	alle	0,13	0,13 * $N_{Rk} / 3,5$	2 * δN_0	0,55	0,55 * $V_{Rk} / 3,5$	1,5 * δV_0
M16	alle				0,31	0,31 * $V_{Rk} / 3,5$	1,5 * δV_0

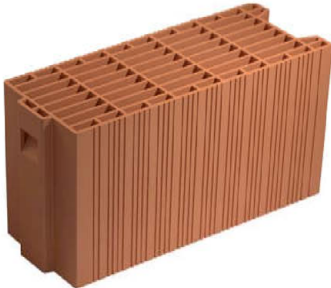
Soudal Injektionssystem VE-SF

Leistungen Hochlochziegel BGV Thermo
Gruppenfaktoren, charakteristische Tragfähigkeiten und Verschiebungen

Anhang C 24

Steintyp: Hochlochziegel Calibric R+

Tabelle C73: Beschreibung des Steins

Steintyp	Hochlochziegel Calibric R+		
Dichte ρ [kg/dm ³]	$\geq 0,60$		
Druckfestigkeit f_b [N/mm ²]	≥ 12		
Umrechnungsfaktor für geringere Druckfestigkeiten	$(f_b / 12)^{0,5} \leq 1,0$		
Norm	EN 771-1:2015		
Hersteller (Land)	z.B. Leroux (FR)		
Steinabmessungen [mm]	500 x 200 x 314		
Bohrverfahren	Drehbohren		

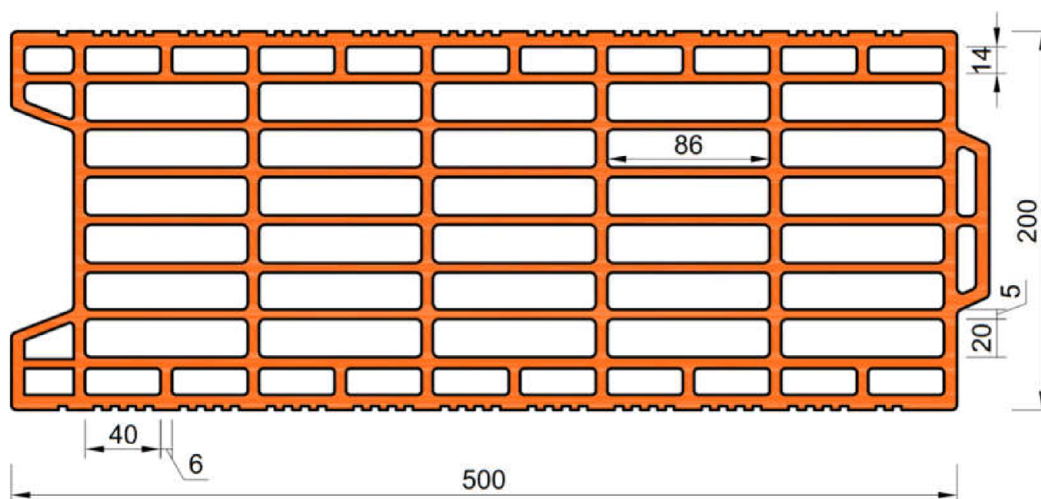
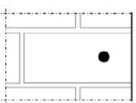
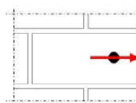
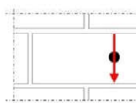


Tabelle C74: Installationsparameter

Ankergröße		[-]	M8	M10	M12	M16	IG-M6	IG-M8	IG-M10
Installationsdrehmoment	T_{inst}	[Nm]	≤ 2	≤ 2	≤ 2	≤ 2	≤ 2	≤ 2	≤ 2
Randabstand	c_{cr}	[mm]	120 (für Querlasten senkrecht zum freien Rand: $c_{cr} = 500$)						
Minimaler Randabstand	c_{min}	[mm]	120						
Achsabstand	$s_{cr, II}$	[mm]	500						
	$s_{cr, \perp}$	[mm]	315						
Minimaler Achsabstand	s_{min}	[mm]	120						

Tabelle C75: Reduktionsfaktoren für Einzelanker unter Randeinfluss

Zuglast			Querlast					
			Senkrecht zum freien Rand			Parallel zum freien Rand		
	mit $c \geq$	$\alpha_{edge, N}$		mit $c \geq$	$\alpha_{edge, V \perp}$		mit $c \geq$	$\alpha_{edge, V II}$
	120	1,00		120	0,15		120	0,30
	120	1,00		250	0,30		250	1,00
	120	1,00		500	1,00		250	1,00

Soudal Injektionssystem VE-SF

Leistungen Hochlochziegel Calibric R+
Beschreibung des Steins, Installationsparameter, Reduktionsfaktoren

Anhang C 25

Steintyp: Hochlochziegel Calibric R+

Tabelle C76: Faktoren für Ankergruppen unter Zuglast

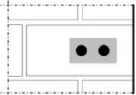
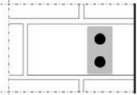
Ankeranordnung parallel zur Lagerfuge				Ankeranordnung senkrecht zur Lagerfuge			
	mit $c \geq$	mit $s \geq$	$\alpha_{g II, N}$		mit $c \geq$	mit $s \geq$	$\alpha_{g \perp, N}$
	120	100	1,00		120	100	1,00
	175	100	1,70		175	100	1,10
	120	500	2,00		120	315	2,00

Tabelle C77: Faktoren für Ankergruppen unter Querlast

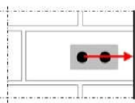
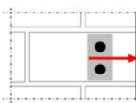
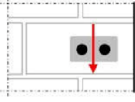
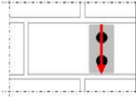
Querlast senkrecht zum freien Rand	Ankeranordnung parallel zur Lagerfuge				Ankeranordnung senkrecht zur Lagerfuge			
		mit $c \geq$	mit $s \geq$	$\alpha_{g II, V \perp}$		mit $c \geq$	mit $s \geq$	$\alpha_{g \perp, V \perp}$
		120	100	1,00		120	100	1,00
		120	500	2,00		120	315	2,00
Querlast parallel zum freien Rand		mit $c \geq$	mit $s \geq$	$\alpha_{g II, V II}$		mit $c \geq$	mit $s \geq$	$\alpha_{g \perp, V II}$
		120	100	1,00		120	100	1,00
		120	500	2,00		120	315	2,00

Tabelle C78: Charakteristische Werte der Tragfähigkeit unter Zug- und Querlast

Ankergröße	Siebhülse	Effektive Verankerungstiefe	Charakteristischer Widerstand bei $c \geq c_{cr}$ und $s \geq s_{cr}$						
			Nutzungsbedingungen						
			d/d			w/d w/w			d/d w/d w/w
			40°C/24°C	80°C/50°C	120°C/72°C	40°C/24°C	80°C/50°C	120°C/72°C	Alle Temperaturbereiche
		h_{ef}	$N_{Rk,b} = N_{Rk,p}$			$N_{Rk,b} = N_{Rk,p}$			$V_{Rk,b}^{2)}$
		[mm]	[kN]						
Druckfestigkeit $f_b \geq 12 \text{ N/mm}^2$ ¹⁾									
M8	12x80	80	1,2	1,2	0,9	1,2	1,2	0,9	4,0
M8 / M10/ IG-M6	16x85	85	1,2	1,2	0,9	1,2	1,2	0,9	5,5
	16x130	130	1,5	1,5	1,2	1,5	1,5	1,2	5,5
M12 / IG-M8	20x85	85	1,2	1,2	0,9	1,2	1,2	0,9	8,5
	20x130	130	1,5	1,5	1,2	1,5	1,5	1,2	8,5
M16 / IG-M10	20x85	85	1,2	1,2	0,9	1,2	1,2	0,9	8,5
	20x130	130	1,5	1,5	1,2	1,5	1,5	1,2	8,5

1) Für geringere Druckfestigkeiten müssen die Widerstände mit dem Umrechnungsfaktor nach Tabelle C73 multipliziert werden.
2) $V_{Rk,c}$ gemäß Anhang C3

Tabelle C79: Verschiebungen

Ankergröße	h_{ef}	$\delta N / N$	δN_0	δN_{∞}	$\delta v / V$	δv_0	δv_{∞}
	[mm]	[mm/kN]	[mm]	[mm]	[mm/kN]	[mm]	[mm]
M8 – M12, IG-M6 – M10	alle	0,13	0,13 * $N_{Rk} / 3,5$	2 * δN_0	0,55	0,55 * $V_{Rk} / 3,5$	1,5 * δv_0
M16	alle				0,31	0,31 * $V_{Rk} / 3,5$	1,5 * δv_0

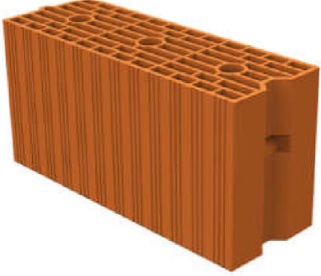
Soudal Injektionssystem VE-SF

Leistungen Hochlochziegel Calibric R+
Gruppenfaktoren, charakteristische Tragfähigkeiten und Verschiebungen

Anhang C 26

Steintyp: Hochlochziegel Urbanbric

Tabelle C80: Beschreibung des Steins

Steintyp		Hochlochziegel Urbanbric	
Dichte	ρ [kg/dm ³]	$\geq 0,70$	
Druckfestigkeit	f_b [N/mm ²]	≥ 12	
Umrechnungsfaktor für geringere Druckfestigkeiten		$(f_b / 12)^{0,5} \leq 1,0$	
Norm		EN 771-1:2015	
Hersteller (Land)		z.B. Imerys (FR)	
Steinabmessungen	[mm]	560 x 200 x 274	
Bohrverfahren		Drehbohren	

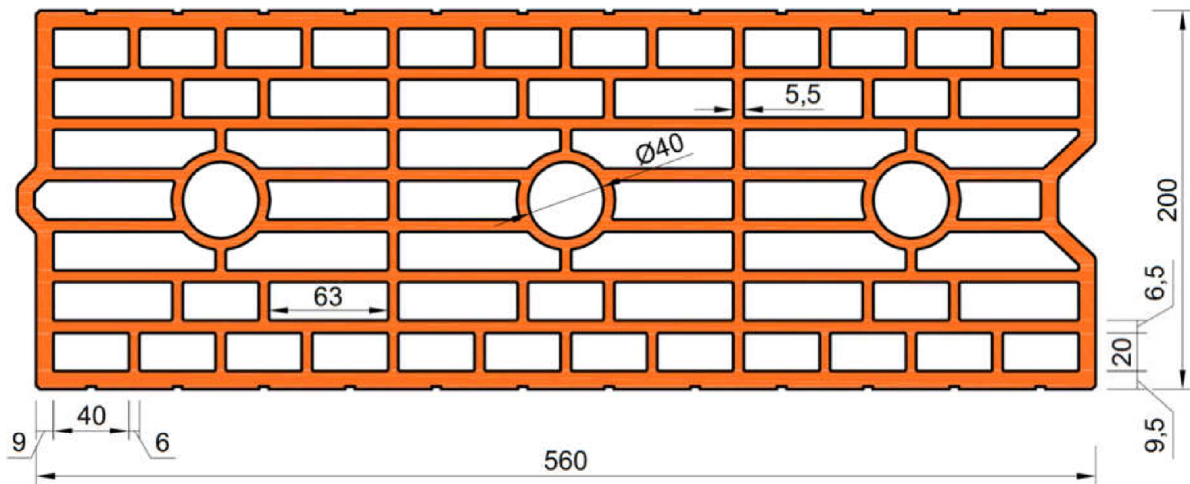
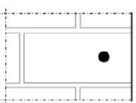
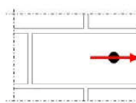
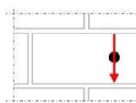


Tabelle C81: Installationsparameter

Ankergröße		[-]	M8	M10	M12	M16	IG-M6	IG-M8	IG-M10
Installationsdrehmoment	T_{inst}	[Nm]	≤ 2	≤ 2	≤ 2	≤ 2	≤ 2	≤ 2	≤ 2
Randabstand	c_{cr}	[mm]	120 (für Querlasten senkrecht zum freien Rand: $c_{cr} = 500$)						
Minimaler Randabstand	c_{min}	[mm]	120						
Achsabstand	$s_{cr, II}$	[mm]	560						
	$s_{cr, \perp}$	[mm]	275						
Minimaler Achsabstand	s_{min}	[mm]	100						

Tabelle C82: Reduktionsfaktoren für Einzelanker unter Randeinfluss

Zuglast			Querlast					
			Senkrecht zum freien Rand			Parallel zum freien Rand		
	mit $c \geq$	$\alpha_{edge, N}$		mit $c \geq$	$\alpha_{edge, V \perp}$		mit $c \geq$	$\alpha_{edge, V II}$
	120	1,00		120	0,25		120	0,50
	120	1,00		250	0,50		250	1,00
	120	1,00		500	1,00		250	1,00

Soudal Injektionssystem VE-SF

Leistungen Hochlochziegel Urbanbric

Beschreibung des Steins, Installationsparameter, Reduktionsfaktoren

Anhang C 27

Steintyp: Hochlochziegel Urbanbric

Tabelle C83: Faktoren für Ankergruppen unter Zuglast

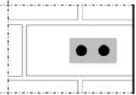
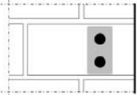
Ankeranordnung parallel zur Lagerfuge				Ankeranordnung senkrecht zur Lagerfuge			
	mit $c \geq$	mit $s \geq$	$\alpha_{g II, N}$		mit $c \geq$	mit $s \geq$	$\alpha_{g \perp, N}$
	120	100	1,00		120	100	1,00
	185	100	1,90		185	100	1,10
	120	560	2,00		120	275	2,00

Tabelle C84: Faktoren für Ankergruppen unter Querlast

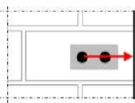
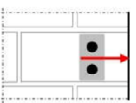
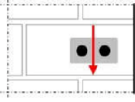
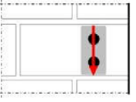
Querlast	Ankeranordnung parallel zur Lagerfuge				Ankeranordnung senkrecht zur Lagerfuge			
		mit $c \geq$	mit $s \geq$	$\alpha_{g II, V \perp}$		mit $c \geq$	mit $s \geq$	$\alpha_{g \perp, V \perp}$
senkrecht zum freien Rand		120	100	1,00		120	100	1,00
	120	560	2,00	120	275	2,00		
parallel zum freien Rand		mit $c \geq$	mit $s \geq$	$\alpha_{g II, V II}$		mit $c \geq$	mit $s \geq$	$\alpha_{g \perp, V II}$
		120	100	1,00		120	100	1,00
		120	560	2,00		120	275	2,00

Tabelle C85: Charakteristische Werte der Tragfähigkeit unter Zug- und Querlast

Ankergröße	Siebhülse	Effektive Verankerungstiefe	Charakteristischer Widerstand bei $c \geq c_{cr}$ und $s \geq s_{cr}$						
			Nutzungsbedingungen						
			d/d			w/d w/w			d/d w/d w/w
			40°C/24°C	80°C/50°C	120°C/72°C	40°C/24°C	80°C/50°C	120°C/72°C	Alle Temperaturbereiche
		h_{ef}	$N_{Rk,b} = N_{Rk,p}$			$N_{Rk,b} = N_{Rk,p}$			$V_{Rk,b}^{2)}$
		[mm]	[kN]						
Druckfestigkeit $f_b \geq 12 \text{ N/mm}^2$ ¹⁾									
M8	12x80	80	1,2	1,2	0,9	1,2	1,2	0,9	4,5
M8 / M10/ IG-M6	16x85	85	1,2	1,2	0,9	1,2	1,2	0,9	4,5
	16x130	130	3,0	3,0	2,5	3,0	3,0	2,5	4,5
M12 / IG-M8	20x85	85	1,2	1,2	0,9	1,2	1,2	0,9	5,0
	20x130	200	3,0	3,0	2,5	3,0	3,0	2,5	5,0
M16 / IG-M10	20x85	85	1,2	1,2	0,9	1,2	1,2	0,9	5,0
	20x130	200	3,0	3,0	2,5	3,0	3,0	2,5	5,0

1) Für geringere Druckfestigkeiten müssen die Widerstände mit dem Umrechnungsfaktor nach Tabelle C80 multipliziert werden.
2) $V_{Rk,c}$ gemäß Anhang C3

Tabelle C86: Verschiebungen

Ankergröße	h_{ef}	$\delta N / N$	δN_0	δN_{∞}	$\delta V / V$	δV_0	δV_{∞}
	[mm]	[mm/kN]	[mm]	[mm]	[mm/kN]	[mm]	[mm]
M8 – M12, IG-M6 – M10	alle	0,13	0,13 * $N_{Rk} / 3,5$	2 * δN_0	0,55	0,55 * $V_{Rk} / 3,5$	1,5 * δV_0
M16	alle				0,31	0,31 * $V_{Rk} / 3,5$	1,5 * δV_0

Soudal Injektionssystem VE-SF

Leistungen Hochlochziegel Urbanbric
Gruppenfaktoren, charakteristische Tragfähigkeiten und Verschiebungen

Anhang C 28

Steintyp: Lochziegel Brique creuse C40

Tabelle C87: Beschreibung des Steins

Steintyp	Lochziegel Brique creuse C40		
Dichte	ρ [kg/dm ³]	≥ 0,70	
Druckfestigkeit	f_b [N/mm ²]	≥ 12	
Umrechnungsfaktor für geringere Druckfestigkeiten	$(f_b / 12)^{0,5} \leq 1,0$		
Norm	EN 771-1:2015		
Hersteller (Land)	z.B. Terreal (FR)		
Steinabmessungen	[mm]	500 x 200 x 200	
Bohrverfahren	Drehbohren		

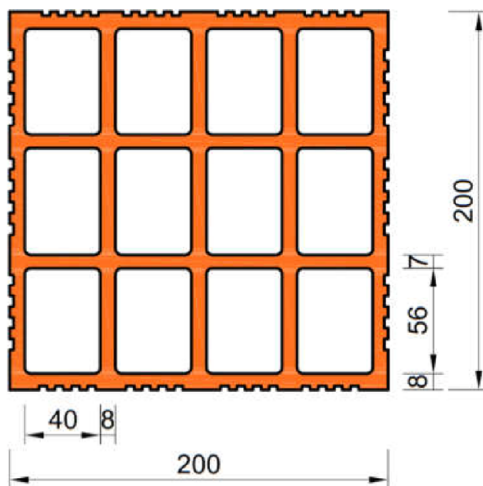
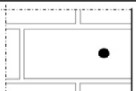
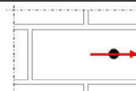


Tabelle C88: Installationsparameter

Ankergröße		[-]	M8	M10	M12	M16	IG-M6	IG-M8	IG-M10
Installationsdrehmoment	T_{inst}	[Nm]	≤ 2	≤ 2	≤ 2	≤ 2	≤ 2	≤ 2	≤ 2
Randabstand	c_{cr}	[mm]	120 (für Querlasten senkrecht zum freien Rand: $c_{cr} = 500$)						
Minimaler Randabstand	c_{min}	[mm]	120						
Achsabstand	$s_{cr, II}$	[mm]	500						
	$s_{cr, \perp}$	[mm]	200						
Minimaler Achsabstand	s_{min}	[mm]	200						

Tabelle C89: Reduktionsfaktoren für Einzelanker unter Randeinfluss

Zuglast			Querlast					
			Senkrecht zum freien Rand			Parallel zum freien Rand		
	mit $c \geq$	$\alpha_{edge, N}$		mit $c \geq$	$\alpha_{edge, V \perp}$		mit $c \geq$	$\alpha_{edge, V II}$
	120	1,00		120	0,83		120	1,00
	120	1,00		500	1,00		250	1,00

Soudal Injektionssystem VE-SF

Leistungen Lochziegel Brique Creuse C40

Beschreibung des Steins, Installationsparameter, Reduktionsfaktoren

Anhang C 29

Steintyp: Lochziegel Brique creuse C40

Tabelle C90: Faktoren für Ankergruppen unter Zuglast

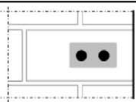
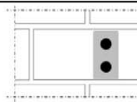
Ankeranordnung parallel zur Lagerfuge				Ankeranordnung senkrecht zur Lagerfuge			
	mit $c \geq$	mit $s \geq$	$\alpha_{g \parallel, N}$		mit $c \geq$	mit $s \geq$	$\alpha_{g \perp, N}$
	120	500	2,00		120	200	2,00

Tabelle C91: Faktoren für Ankergruppen unter Querlast

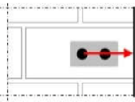
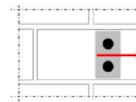
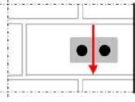
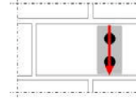
	Ankeranordnung parallel zur Lagerfuge				Ankeranordnung senkrecht zur Lagerfuge			
Querlast senkrecht zum freien Rand		mit $c \geq$	mit $s \geq$	$\alpha_{g \parallel, V \perp}$		mit $c \geq$	mit $s \geq$	$\alpha_{g \perp, V \perp}$
		120	500	2,00		120	200	2,00
Querlast parallel zum freien Rand		mit $c \geq$	mit $s \geq$	$\alpha_{g \parallel, V \parallel}$		mit $c \geq$	mit $s \geq$	$\alpha_{g \perp, V \parallel}$
		120	500	2,00		120	200	2,00

Tabelle C92: Charakteristische Werte der Tragfähigkeit unter Zug- und Querlast

Ankergröße	Siebhülse	Effektive Verankerungstiefe	Charakteristischer Widerstand bei $c \geq c_{cr}$ und $s \geq s_{cr}$						
			Nutzungsbedingungen						
			d/d			w/d w/w			d/d w/d w/w
			40°C/24°C	80°C/50°C	120°C/72°C	40°C/24°C	80°C/50°C	120°C/72°C	Alle Temperaturbereiche
		h_{ef}	$N_{Rk,b} = N_{Rk,p}$			$N_{Rk,b} = N_{Rk,p}$			$V_{Rk,b}^{2)}$
		[mm]	[kN]						
Druckfestigkeit $f_b \geq 12 \text{ N/mm}^2$ ¹⁾									
M8	12x80	80	1,2	1,2	0,9	1,2	1,2	0,9	1,5
M8 / M10/ IG-M6	16x85	85							
	16x130	130							
M12 / IG-M8	20x85	85							
	20x130	130							
M16 / IG-M10	20x85	85							
	20x130	130							

¹⁾ Für geringere Druckfestigkeiten müssen die Widerstände mit dem Umrechnungsfaktor nach Tabelle C87 multipliziert werden.

²⁾ $V_{Rk,c}$ gemäß Anhang C3

Tabelle C93: Verschiebungen

Ankergröße	h_{ef}	δ_N / N	δ_{N0}	$\delta_{N\infty}$	δ_V / V	δ_{V0}	$\delta_{V\infty}$
	[mm]	[mm/kN]	[mm]	[mm]	[mm/kN]	[mm]	[mm]
M8 – M12, IG-M6 – M10	alle	0,13	0,13 * $N_{Rk} / 3,5$	2 * δ_{N0}	0,55	0,55 * $V_{Rk} / 3,5$	1,5 * δ_{V0}
M16	alle				0,31	0,31 * $V_{Rk} / 3,5$	1,5 * δ_{V0}

Soudal Injektionssystem VE-SF

Leistungen Lochziegel Brique Creuse C40

Gruppenfaktoren, charakteristische Tragfähigkeiten und Verschiebungen

Anhang C 30



Steintyp: Lochziegel Blocchi Leggeri

Tabelle C94: Beschreibung des Steins

Steintyp		Lochziegel Blocchi Leggeri
Dichte	ρ [kg/dm ³]	$\geq 0,60$
Druckfestigkeit	f_b [N/mm ²]	≥ 12
Umrechnungsfaktor für geringere Druckfestigkeiten		$(f_b / 12)^{0,5} \leq 1,0$
Norm		EN 771-1:2015
Hersteller (Land)		z.B. Wienerberger (IT)
Steinabmessungen	[mm]	250 x 120 x 250
Bohrverfahren		Drehbohren

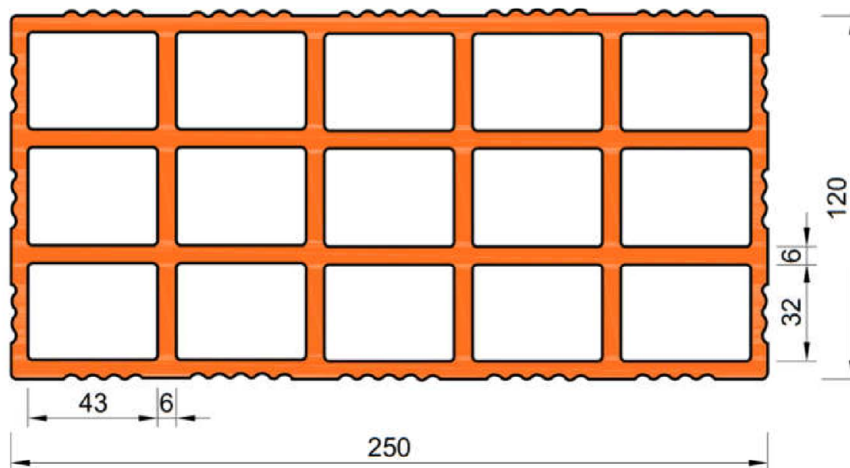


Tabelle C95: Installationsparameter

Ankergröße		[-]	M8	M10	M12	M16	IG-M6	IG-M8	IG-M10
Installationsdrehmoment	T_{inst}	[Nm]	≤ 2	≤ 2	≤ 2	≤ 2	≤ 2	≤ 2	≤ 2
Randabstand	c_{cr}	[mm]	120 (für Querlasten senkrecht zum freien Rand: $c_{cr} = 250$)						
Minimaler Randabstand	c_{min}	[mm]	60						
Achsabstand	$s_{cr, II}$	[mm]	250						
	$s_{cr, \perp}$	[mm]	250						
Minimaler Achsabstand	s_{min}	[mm]	100						

Tabelle C96: Reduktionsfaktoren für Einzelanker unter Randeinfluss

Zuglast			Querlast					
			Senkrecht zum freien Rand			Parallel zum freien Rand		
	mit $c \geq$	$\alpha_{edge, N}$		mit $c \geq$	$\alpha_{edge, V \perp}$		mit $c \geq$	$\alpha_{edge, V II}$
	60	1,00		60	0,40		60	0,40
	120	1,00		250	1,00		120	1,00

Soudal Injektionssystem VE-SF

Leistungen Lochziegel Blocchi Leggeri

Beschreibung des Steins, Installationsparameter, Reduktionsfaktoren

Anhang C 31

Steintyp: Lochziegel Blocchi Leggeri

Tabelle C97: Faktoren für Ankergruppen unter Zuglast

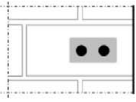
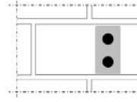
Ankeranordnung parallel zur Lagerfuge				Ankeranordnung senkrecht zur Lagerfuge			
	mit $c \geq$	mit $s \geq$	$\alpha_{g II, N}$		mit $c \geq$	mit $s \geq$	$\alpha_{g \perp, N}$
	60	100	1,00		60	100	2,00
	120	250	2,00		120	250	2,00

Tabelle C98: Faktoren für Ankergruppen unter Querlast

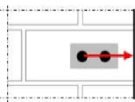
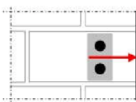
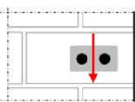
	Ankeranordnung parallel zur Lagerfuge				Ankeranordnung senkrecht zur Lagerfuge			
		mit $c \geq$	mit $s \geq$	$\alpha_{g II, V \perp}$		mit $c \geq$	mit $s \geq$	$\alpha_{g \perp, V \perp}$
Querlast senkrecht zum freien Rand		60	100	0,40		60	100	0,40
		250	100	1,00		250	100	1,00
	250	250	2,00	250	250	2,00		
Querlast parallel zum freien Rand		mit $c \geq$	mit $s \geq$	$\alpha_{g II, V II}$		mit $c \geq$	mit $s \geq$	$\alpha_{g \perp, V II}$
		60	100	0,40		60	100	0,40
		120	100	1,00		120	100	1,00
		120	250	2,00		120	250	2,00

Tabelle C99: Charakteristische Werte der Tragfähigkeit unter Zug- und Querlast

Ankergröße	Siebhülse	Effektive Verankerungstiefe	Charakteristischer Widerstand bei $c \geq c_{cr}$ und $s \geq s_{cr}$						
			Nutzungsbedingungen						
			d/d			w/d w/w			d/d w/d w/w
			40°C/24°C	80°C/50°C	120°C/72°C	40°C/24°C	80°C/50°C	120°C/72°C	Alle Temperaturbereiche
		h_{ef}	$N_{Rk,b} = N_{Rk,p}$			$N_{Rk,b} = N_{Rk,p}$			$V_{Rk,b}^{2)}$
		[mm]	[kN]						
Druckfestigkeit $f_b \geq 12 \text{ N/mm}^2$ ¹⁾									
M8	12x80	80	0,6	0,6	0,6	0,6	0,6	0,6	3,5
M8 / M10/ IG-M6	16x85	85							
	16x130	130							
M12 / M16 / IG-M8 / IG-M10	20x85	85							
	20x130	130							
	20x200	200							

1) Für geringere Druckfestigkeiten müssen die Widerstände mit dem Umrechnungsfaktor nach Tabelle C94 multipliziert werden.
2) $V_{Rk,c}$ gemäß Anhang C3

Tabelle C100: Verschiebungen

Ankergröße	h_{ef}	δ_N / N	δ_{N0}	$\delta_{N\infty}$	δ_V / V	δ_{V0}	$\delta_{V\infty}$
	[mm]	[mm/kN]	[mm]	[mm]	[mm/kN]	[mm]	[mm]
M8 – M12, IG-M6 – M10	alle	0,13	0,13 * $N_{Rk} / 3,5$	2 * δ_{N0}	0,55	0,55 * $V_{Rk} / 3,5$	1,5 * δ_{V0}
M16	alle				0,31	0,31 * $V_{Rk} / 3,5$	1,5 * δ_{V0}

Soudal Injektionssystem VE-SF

Leistungen Lochziegel Blocchi Leggeri
Gruppenfaktoren, charakteristische Tragfähigkeiten und Verschiebungen

Anhang C 32

Steintyp: Hochlochziegel Doppio Uni

Tabelle C101: Beschreibung des Steins

Steintyp	Hochlochziegel Doppio Uni	
Dichte ρ [kg/dm ³]	$\geq 0,90$	
Druckfestigkeit f_b [N/mm ²]	≥ 28	
Umrechnungsfaktor für geringere Druckfestigkeiten	$(f_b / 28)^{0,5} \leq 1,0$	
Norm	EN 771-1:2015	
Hersteller (Land)	z.B. Wienerberger (IT)	
Steinabmessungen [mm]	250 x 120 x 120	
Bohrverfahren	Drehbohren	

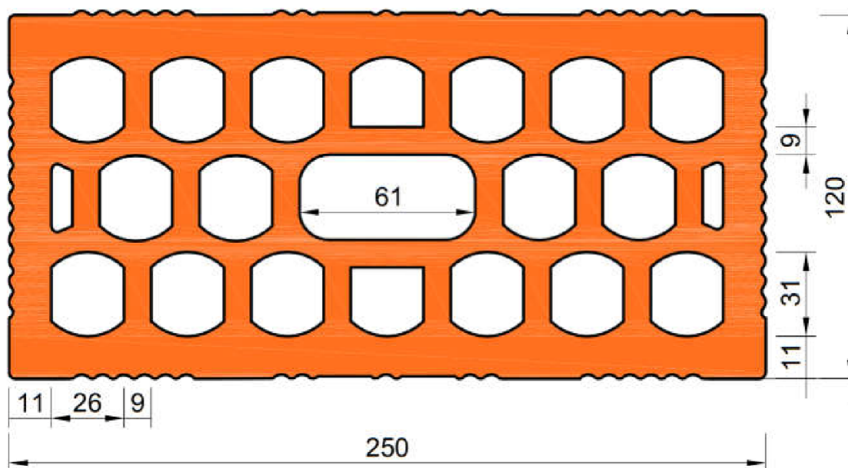
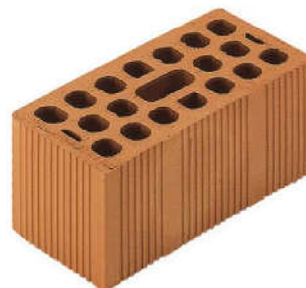


Tabelle C102: Installationsparameter

Ankergröße		[-]	M8	M10	M12	M16	IG-M6	IG-M8	IG-M10
Installationsdrehmoment	T_{inst}	[Nm]	≤ 2	≤ 2	≤ 2	≤ 2	≤ 2	≤ 2	≤ 2
Randabstand	c_{cr}	[mm]	120 (für Querlasten senkrecht zum freien Rand: $c_{cr} = 250$)						
Minimaler Randabstand	c_{min}	[mm]	100						
Achsabstand	$s_{cr, II}$	[mm]	250						
	$s_{cr, \perp}$	[mm]	120						
Minimaler Achsabstand	s_{min}	[mm]	100						

Tabelle C103: Reduktionsfaktoren für Einzelanker unter Randeinfluss

Zuglast			Querlast					
			Senkrecht zum freien Rand			Parallel zum freien Rand		
	mit $c \geq$	$\alpha_{edge, N}$		mit $c \geq$	$\alpha_{edge, V \perp}$		mit $c \geq$	$\alpha_{edge, V II}$
	100	1,00		100	0,50		100	1,00
	120	1,00		250	1,00		120	1,00

Soudal Injektionssystem VE-SF

Leistungen Hochlochziegel Doppio Uni
Beschreibung des Steins, Installationsparameter, Reduktionsfaktoren

Anhang C 33

Steintyp: Hochlochziegel Doppio Uni

Tabelle C104: Faktoren für Ankergruppen unter Zuglast

Ankeranordnung parallel zur Lagerfuge				Ankeranordnung senkrecht zur Lagerfuge			
	mit $c \geq$	mit $s \geq$	$\alpha_{g \parallel, N}$		mit $c \geq$	mit $s \geq$	$\alpha_{g \perp, N}$
	100	100	1,00		100	120	2,00
	120	250	2,00		120	120	2,00

Tabelle C105: Faktoren für Ankergruppen unter Querlast

	Ankeranordnung parallel zur Lagerfuge				Ankeranordnung senkrecht zur Lagerfuge			
Querlast senkrecht zum freien Rand		mit $c \geq$	mit $s \geq$	$\alpha_{g \parallel, V \perp}$		mit $c \geq$	mit $s \geq$	$\alpha_{g \perp, V \perp}$
		100	100	1,00		100	100	1,00
		250	250	2,00		250	120	2,00
Querlast parallel zum freien Rand		mit $c \geq$	mit $s \geq$	$\alpha_{g \parallel, V \parallel}$		mit $c \geq$	mit $s \geq$	$\alpha_{g \perp, V \parallel}$
		100	100	1,00		100	100	1,00
		120	250	2,00		120	120	2,00

Tabelle C106: Charakteristische Werte der Tragfähigkeit unter Zug- und Querlast

Ankergröße	Siebhülse	Effektive Verankerungstiefe	Charakteristischer Widerstand bei $c \geq c_{cr}$ und $s \geq s_{cr}$						
			Nutzungsbedingungen						
			d/d			w/d w/w			d/d w/d w/w
			40°C/24°C	80°C/50°C	120°C/72°C	40°C/24°C	80°C/50°C	120°C/72°C	Alle Temperaturbereiche
		h_{ef}	$N_{Rk,b} = N_{Rk,p}$			$N_{Rk,b} = N_{Rk,p}$			$V_{Rk,b}^{2)}$
		[mm]	[kN]						
Druckfestigkeit $f_b \geq 28 \text{ N/mm}^2$ ¹⁾									
M8	12x80	80	1,2	1,2	0,9	1,2	1,2	0,9	2,5
M8 / M10/ IG-M6	16x85	85							
	16x130	130							
M12 / IG-M8	20x85	85							
	20x130	130							
	20x200	200							
M16 / IG-M10	20x85	85							
	20x130	130							
	20x200	200							

1) Für geringere Druckfestigkeiten müssen die Widerstände mit dem Umrechnungsfaktor nach Tabelle C101 multipliziert werden.

2) $V_{Rk,c}$ gemäß Anhang C3

Tabelle C107: Verschiebungen

Ankergröße	h_{ef}	δ_N / N	δ_{N0}	$\delta_{N\infty}$	δ_V / V	δ_{V0}	$\delta_{V\infty}$
	[mm]	[mm/kN]	[mm]	[mm]	[mm/kN]	[mm]	[mm]
M8 – M12, IG-M6 – M10	alle	0,13	0,13 * $N_{Rk} / 3,5$	2 * δ_{N0}	0,55	0,55 * $V_{Rk} / 3,5$	1,5 * δ_{V0}
M16	alle				0,31	0,31 * $V_{Rk} / 3,5$	1,5 * δ_{V0}

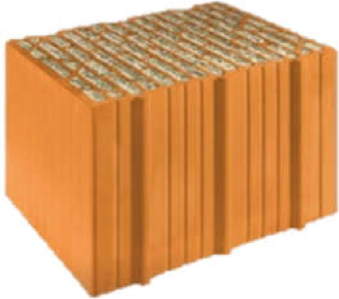
Soudal Injektionssystem VE-SF

Leistungen Hochlochziegel Doppio Uni
Gruppenfaktoren, charakteristische Tragfähigkeiten und Verschiebungen

Anhang C 34

Steintyp: Hochlochziegel Coriso W07 mit Wärmedämmung

Tabelle C108: Beschreibung des Steins

Steintyp	Hochlochziegel Coriso W07		
Füllung	Mineralwolle		
Dichte	ρ [kg/dm ³]	$\geq 0,55$	
Druckfestigkeit	f_b [N/mm ²]	≥ 6	
Umrechnungsfaktor für geringere Druckfestigkeiten	$(f_b / 6)^{0,5} \leq 1,0$		
Norm	EN 771-1:2015		
Hersteller (Land)	z.B. Unipor (DE)		
Steinabmessungen	[mm]	248 x 365 x 249	
Bohrverfahren	Drehbohren		

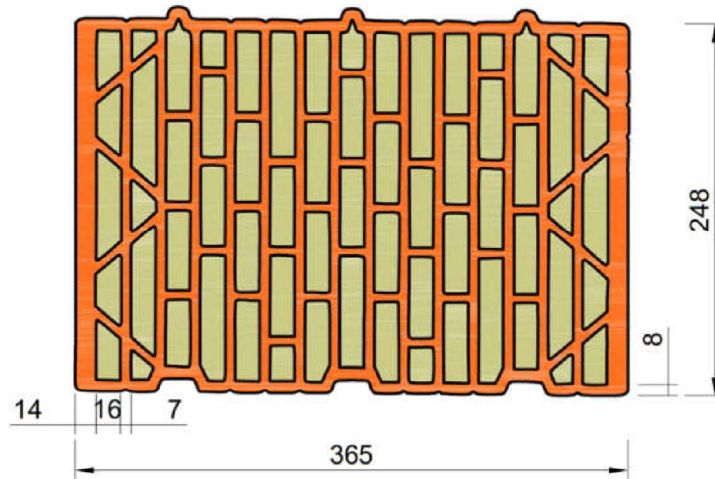
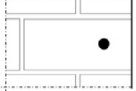
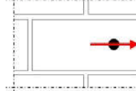
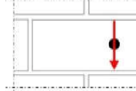


Tabelle C109: Installationsparameter

Ankergröße		[-]	M8	M10	M12	M16	IG-M6	IG-M8	IG-M10
Installationsdrehmoment	T_{inst}	[Nm]	≤ 5	≤ 5	≤ 10	≤ 10	≤ 5	≤ 5	≤ 5
Randabstand	c_{cr}	[mm]	120 (für Querlasten senkrecht zum freien Rand: $c_{cr} = 250$)						
Minimaler Randabstand	c_{min}	[mm]	50						
Achsabstand	$s_{cr, II}$	[mm]	250						
	$s_{cr, \perp}$	[mm]	250						
Minimaler Achsabstand	s_{min}	[mm]	50						

Tabelle C110: Reduktionsfaktoren für Einzelanker unter Randeinfluss

Zuglast			Querlast					
			Senkrecht zum freien Rand			Parallel zum freien Rand		
	mit $c \geq$	$\alpha_{edge, N}$		mit $c \geq$	$\alpha_{edge, V \perp}$		mit $c \geq$	$\alpha_{edge, V II}$
	50	1,00		50	0,30		50	1,00
	120	1,00		250	1,00		120	1,00

Soudal Injektionssystem VE-SF

Leistungen Hochlochziegel Coriso W07 mit Wärmedämmung
Beschreibung des Steins, Installationsparameter, Reduktionsfaktoren

Anhang C 35

Steintyp: Hochlochziegel Coriso W07 mit Wärmedämmung

Tabelle C111: Faktoren für Ankergruppen unter Zuglast

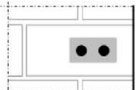
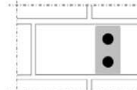
Ankeranordnung parallel zur Lagerfuge				Ankeranordnung senkrecht zur Lagerfuge			
	mit $c \geq$	mit $s \geq$	$\alpha_{g II, N}$		mit $c \geq$	mit $s \geq$	$\alpha_{g \perp, N}$
	50	50	1,50		50	50	1,00
	120	250	2,00		120	250	2,00

Tabelle C112: Faktoren für Ankergruppen unter Querlast

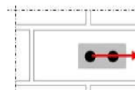
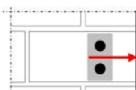
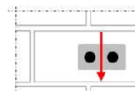
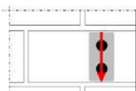
	Ankeranordnung parallel zur Lagerfuge				Ankeranordnung senkrecht zur Lagerfuge			
Querlast senkrecht zum freien Rand		mit $c \geq$	mit $s \geq$	$\alpha_{g II, V \perp}$		mit $c \geq$	mit $s \geq$	$\alpha_{g \perp, V \perp}$
		50	50	0,40		50	50	0,40
		250	50	1,00		250	50	1,20
		250	250	2,00		250	250	2,00
Querlast parallel zum freien Rand		mit $c \geq$	mit $s \geq$	$\alpha_{g II, V II}$		mit $c \geq$	mit $s \geq$	$\alpha_{g \perp, V II}$
		50	50	1,65		50	50	1,00
		120	250	2,00		120	250	2,00

Tabelle C113: Charakteristische Werte der Tragfähigkeit unter Zug- und Querlast

Ankergröße	Siebhülse	Effektive Verankerungstiefe	Charakteristischer Widerstand bei $c \geq c_{cr}$ und $s \geq s_{cr}$						
			Nutzungsbedingungen						
			d/d			w/d w/w			d/d w/d w/w
			40°C/24°C	80°C/50°C	120°C/72°C	40°C/24°C	80°C/50°C	120°C/72°C	Alle Temperaturbereiche
		h_{ef}	$N_{Rk,b} = N_{Rk,p}$			$N_{Rk,b} = N_{Rk,p}$			$V_{Rk,b}^{2)}$
		[mm]	[kN]						
Druckfestigkeit $f_b \geq 6 \text{ N/mm}^2$ ¹⁾									
M8	12x80	80	1,5	1,5	1,5	1,5	1,5	1,5	5,0
M8 / M10/	16x85	85							
IG-M6	16x130	130							
M12 / M16 /	20x85	85							
IG-M8 /	20x130	130							
IG-M10	20x200	200							

1) Für geringere Druckfestigkeiten müssen die Widerstände mit dem Umrechnungsfaktor nach Tabelle C108 multipliziert werden.

2) $V_{Rk,c}$ gemäß Anhang C3

Tabelle C114: Verschiebungen

Ankergröße	h_{ef} [mm]	$\delta N / N$ [mm/kN]	δN_0 [mm]	δN_{∞} [mm]	$\delta v / V$ [mm/kN]	δv_0 [mm]	δv_{∞} [mm]
M8 – M12, IG-M6 – M10	alle	0,13	0,13 * $N_{Rk} / 3,5$	2 * δN_0	0,55	0,55 * $V_{Rk} / 3,5$	1,5 * δv_0
M16	alle				0,31	0,31 * $V_{Rk} / 3,5$	1,5 * δv_0

Soudal Injektionssystem VE-SF

Leistungen Hochlochziegel Coriso W07 mit Wärmedämmung
Gruppenfaktoren, charakteristische Tragfähigkeiten und Verschiebungen

Anhang C 36

Steintyp: Hochlochziegel T7 MW mit integrierter Wärmedämmung

Tabelle C115: Beschreibung des Steins

Steintyp	Hochlochziegel T7 MW
Füllung	Mineralwolle
Dichte ρ [kg/dm ³]	$\geq 0,59$
Druckfestigkeit f_b [N/mm ²]	≥ 8
Umrechnungsfaktor für geringere Druckfestigkeiten	$(f_b / 8)^{0,5} \leq 1,0$
Norm	EN 771-1:2015
Hersteller (Land)	z.B. Wienerberger (DE)
Steinabmessungen [mm]	248 x 365 x 249
Bohrverfahren	Drehbohren

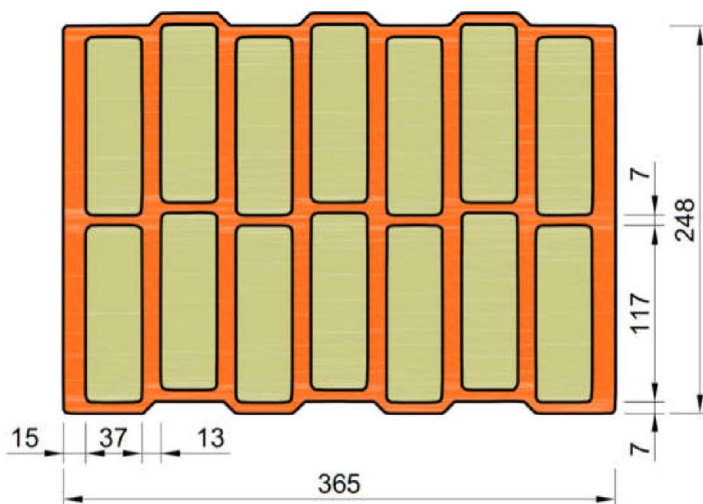


Tabelle C116: Installationsparameter

Ankergröße		[-]	M8	M10	M12	M16	IG-M6	IG-M8	IG-M10
Installationsdrehmoment	T_{inst}	[Nm]	≤ 5	≤ 5	≤ 10	≤ 10	≤ 5	≤ 5	≤ 5
Randabstand	c_{cr}	[mm]	120 (für Querlasten senkrecht zum freien Rand: $c_{cr} = 250$)						
Minimaler Randabstand	c_{min}	[mm]	50						
Achsabstand	$s_{cr, II}$	[mm]	250						
	$s_{cr, \perp}$	[mm]	250						
Minimaler Achsabstand	s_{min}	[mm]	50						

Tabelle C117: Reduktionsfaktoren für Einzelanker unter Randeinfluss

Zuglast			Querlast					
			Senkrecht zum freien Rand			Parallel zum freien Rand		
	mit $c \geq$	$\alpha_{edge, N}$		mit $c \geq$	$\alpha_{edge, V \perp}$		mit $c \geq$	$\alpha_{edge, V II}$
	50	1,00		50	0,35		50	1,00
	120	1,00		250	1,00		120	1,00

Soudal Injektionssystem VE-SF

Leistungen Hochlochziegel T7 MW mit integrierter Wärmedämmung
Beschreibung des Steins, Installationsparameter, Reduktionsfaktoren

Anhang C 37

Steintyp: Hochlochziegel T7 MW mit integrierter Wärmedämmung

Tabelle C118: Faktoren für Ankergruppen unter Zuglast

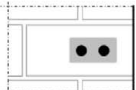
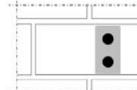
Ankeranordnung parallel zur Lagerfuge				Ankeranordnung senkrecht zur Lagerfuge			
	mit $c \geq$	mit $s \geq$	$\alpha_{g II, N}$		mit $c \geq$	mit $s \geq$	$\alpha_{g \perp, N}$
	50	50	1,40		50	50	1,15
	120	250	2,00		120	250	2,00

Tabelle C119: Faktoren für Ankergruppen unter Querlast

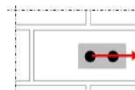
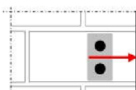
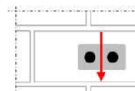
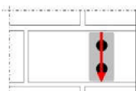
	Ankeranordnung parallel zur Lagerfuge				Ankeranordnung senkrecht zur Lagerfuge			
Querlast senkrecht zum freien Rand		mit $c \geq$	mit $s \geq$	$\alpha_{g II, V \perp}$		mit $c \geq$	mit $s \geq$	$\alpha_{g \perp, V \perp}$
		50	50	0,60		50	50	0,40
		250	50	1,55		250	50	1,00
		250	250	2,00		250	250	2,00
Querlast parallel zum freien Rand		mit $c \geq$	mit $s \geq$	$\alpha_{g II, V II}$		mit $c \geq$	mit $s \geq$	$\alpha_{g \perp, V II}$
		50	50	2,00		50	50	1,20
		120	250	2,00		120	250	2,00

Tabelle C120: Charakteristische Werte der Tragfähigkeit unter Zug- und Querlast

Ankergröße	Siebhülse	Effektive Verankerungstiefe	Charakteristischer Widerstand bei $c \geq c_{cr}$ und $s \geq s_{cr}$						
			Nutzungsbedingungen						
			d/d			w/d w/w			d/d w/d w/w
			40°C/24°C	80°C/50°C	120°C/72°C	40°C/24°C	80°C/50°C	120°C/72°C	Alle Temperaturbereiche
		h_{ef}	$N_{Rk,b} = N_{Rk,p}$			$N_{Rk,b} = N_{Rk,p}$			$V_{Rk,b}^{2)}$
		[mm]	[kN]						
Druckfestigkeit $f_b \geq 8 \text{ N/mm}^2$ ¹⁾									
M8	12x80	80							3,0
M8 / M10/ IG-M6	16x85	85							
	16x130	130							
M12 / IG-M8	20x85	85	2,0	2,0	1,5	2,0	2,0	1,5	
	20x130	130							
	20x200	200							
M16 / IG-M10	20x85	85							4,5
	20x130	130							
	20x200	200							

1) Für geringere Druckfestigkeiten müssen die Widerstände mit dem Umrechnungsfaktor nach Tabelle C115 multipliziert werden.

2) $V_{Rk,c}$ gemäß Anhang C3

Tabelle C121: Verschiebungen

Ankergröße	h_{ef}	δ_N / N	δ_{N0}	$\delta_{N\infty}$	δ_V / V	δ_{V0}	$\delta_{V\infty}$
	[mm]	[mm/kN]	[mm]	[mm]	[mm/kN]	[mm]	[mm]
M8 – M12, IG-M6 – M10	alle	0,13	0,13 * N_{Rk} / 3,5	2 * δ_{N0}	0,55	0,55 * V_{Rk} / 3,5	1,5 * δ_{V0}
M16	alle				0,31	0,31 * V_{Rk} / 3,5	1,5 * δ_{V0}

Soudal Injektionssystem VE-SF

Leistungen Hochlochziegel T7 MW mit integrierter Wärmedämmung
Gruppenfaktoren, charakteristische Tragfähigkeiten und Verschiebungen

Anhang C 38

Steintyp: Hochlochziegel T8 P mit integrierter Wärmedämmung

Tabelle C122: Beschreibung des Steins

Steintyp		Hochlochziegel T8 P
Füllung		Perlite
Dichte	ρ [kg/dm ³]	$\geq 0,56$
Druckfestigkeit	f_b [N/mm ²]	≥ 6
Umrechnungsfaktor für geringere Druckfestigkeiten		$(f_b / 6)^{0,5} \leq 1,0$
Norm		EN 771-1:2015
Hersteller (Land)		z.B. Wienerberger (DE)
Steinabmessungen	[mm]	248 x 365 x 249
Bohrverfahren		Drehbohren

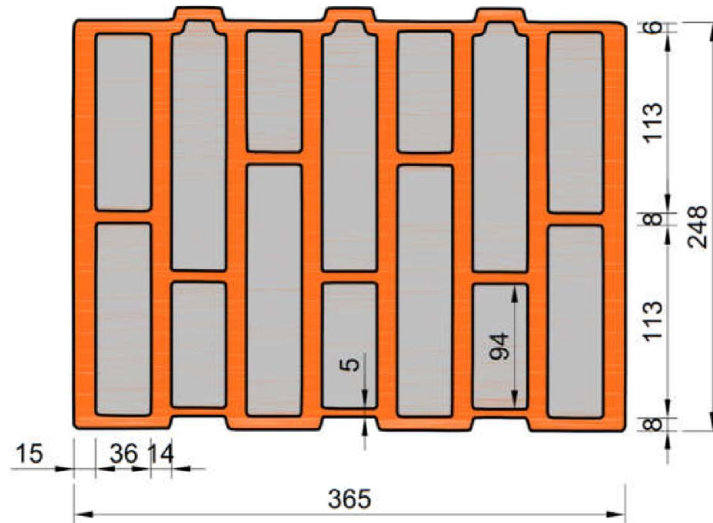


Tabelle C123: Installationsparameter

Ankergröße		[-]	M8	M10	M12	M16	IG-M6	IG-M8	IG-M10
Installationsdrehmoment	T_{inst}	[Nm]	≤ 4	≤ 4	≤ 10	≤ 10	≤ 4	≤ 4	≤ 4
Randabstand	c_{cr}	[mm]	120 (für Querlasten senkrecht zum freien Rand: $c_{cr} = 250$)						
Minimaler Randabstand	c_{min}	[mm]	50						
Achsabstand	$s_{cr, II}$	[mm]	250						
	$s_{cr, \perp}$	[mm]	250						
Minimaler Achsabstand	s_{min}	[mm]	50						

Tabelle C124: Reduktionsfaktoren für Einzelanker unter Randeinfluss

Zuglast			Querlast					
			Senkrecht zum freien Rand			Parallel zum freien Rand		
	mit $c \geq$	$\alpha_{edge, N}$		mit $c \geq$	$\alpha_{edge, V \perp}$		mit $c \geq$	$\alpha_{edge, V II}$
	50	1,00		50	0,25		50	1,00
	120	1,00		250	1,00		120	1,00

Soudal Injektionssystem VE-SF

Leistungen Lochziegel T8 P mit integrierter Wärmedämmung
Beschreibung des Steins, Installationsparameter, Reduktionsfaktoren

Anhang C 39

Steintyp: Hochlochziegel T8 P mit integrierter Wärmedämmung

Tabelle C125: Faktoren für Ankergruppen unter Zuglast

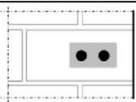
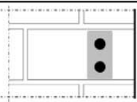
Ankeranordnung parallel zur Lagerfuge				Ankeranordnung senkrecht zur Lagerfuge			
	mit c ≥	mit s ≥	$\alpha_{g II, N}$		mit c ≥	mit s ≥	$\alpha_{g \perp, N}$
	50	50	1,30		50	50	1,10
	120	250	2,00		120	250	2,00

Tabelle C126: Faktoren für Ankergruppen unter Querlast

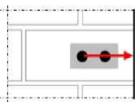
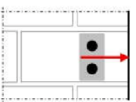
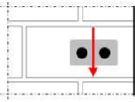
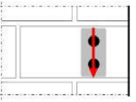
	Ankeranordnung parallel zur Lagerfuge				Ankeranordnung senkrecht zur Lagerfuge			
Querlast senkrecht zum freien Rand		mit c ≥	mit s ≥	$\alpha_{g II, V \perp}$		mit c ≥	mit s ≥	$\alpha_{g \perp, V \perp}$
		50	50	0,40		50	50	0,30
		250	50	1,35		250	50	1,20
Querlast parallel zum freien Rand		mit c ≥	mit s ≥	$\alpha_{g II, V II}$		mit c ≥	mit s ≥	$\alpha_{g \perp, V II}$
		50	50	1,70		50	50	1,00
		120	250	2,00		120	250	2,00

Tabelle C127: Charakteristische Werte der Tragfähigkeit unter Zug- und Querlast

Ankergröße	Siebhülse	Effektive Verankerungstiefe	Charakteristischer Widerstand bei $c \geq c_{cr}$ und $s \geq s_{cr}$							
			Nutzungsbedingungen							
			d/d			w/d			d/d	
			40°C/24°C	80°C/50°C	120°C/72°C	40°C/24°C	80°C/50°C	120°C/72°C	Alle Temperaturbereiche	
		h_{ef}	$N_{Rk,b} = N_{Rk,p}$			$N_{Rk,b} = N_{Rk,p}$			$V_{Rk,b}^{2)}$	
		[mm]	[kN]							
Druckfestigkeit $f_b \geq 6 \text{ N/mm}^2$ ¹⁾										
M8	12x80	80	1,5	1,5	1,5	1,5	1,5	1,5	1,5	4,5
M8 / M10 / IG-M6	16x85	85								
	16x130	130								
M12 / IG-M8	20x85	85	2,5	2,5	2,0	2,5	2,5	2,0	2,0	7,0
	20x130	130								
	20x200	200								
M16 / IG-M10	20x85	85	2,5	2,5	2,0	2,5	2,5	2,0	2,0	7,0
	20x130	130								
	20x200	200								

1) Für geringere Druckfestigkeiten müssen die Widerstände mit dem Umrechnungsfaktor nach Tabelle C122 multipliziert werden.
2) $V_{Rk,c}$ gemäß Anhang C3

Tabelle C128: Verschiebungen

Ankergröße	h_{ef}	$\delta N / N$	δN_0	δN_{∞}	$\delta V / V$	δV_0	δV_{∞}
	[mm]	[mm/kN]	[mm]	[mm]	[mm/kN]	[mm]	[mm]
M8 – M12, IG-M6 – M10	alle	0,13	0,13 * $N_{Rk} / 3,5$	2 * δN_0	0,55	0,55 * $V_{Rk} / 3,5$	1,5 * δV_0
M16	alle				0,31	0,31 * $V_{Rk} / 3,5$	1,5 * δV_0

Soudal Injektionssystem VE-SF

Leistungen Lochziegel T8 P mit integrierter Wärmedämmung
Gruppenfaktoren, charakteristische Tragfähigkeiten und Verschiebungen

Anhang C 40

Steintyp: Hochlochziegel Thermoplan MZ90-G mit integrierter Wärmedämmung

Tabelle C129: Beschreibung des Steins

Steintyp	Hochlochziegel Thermoplan MZ90-G		
Füllung	Mineralwolle		
Dichte	ρ [kg/dm ³]	≥ 0,68	
Druckfestigkeit	f_b [N/mm ²]	≥ 12	
Umrechnungsfaktor für geringere Druckfestigkeiten	$(f_b / 12)^{0,5} \leq 1,0$		
Norm	EN 771-1:2015		
Hersteller (Land)	z.B. Mein Ziegelhaus (DE)		
Steinabmessungen	[mm]	248 x 365 x 249	
Bohrverfahren	Drehbohren		

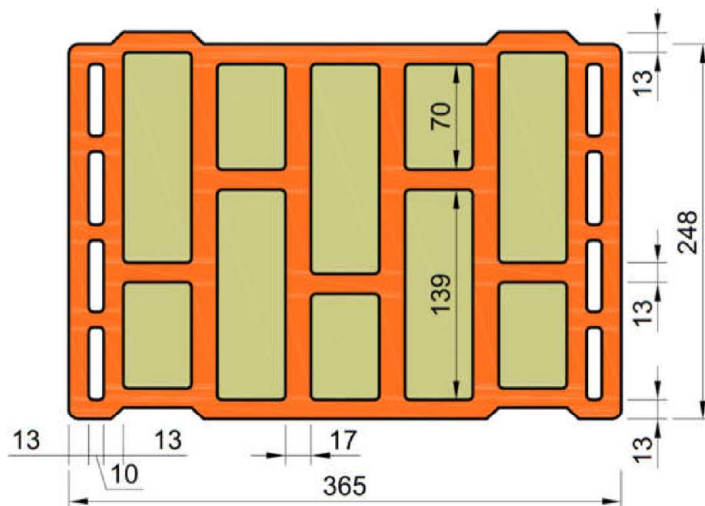
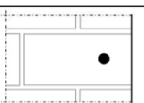
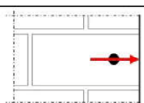
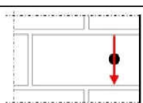


Tabelle C130: Installationsparameter

Ankergröße		[-]	M8	M10	M12	M16	IG-M6	IG-M8	IG-M10
Installationsdrehmoment	T_{inst}	[Nm]	≤ 4	≤ 4	≤ 10	≤ 10	≤ 4	≤ 4	≤ 4
Randabstand	c_{cr}	[mm]	120 (für Querlasten senkrecht zum freien Rand: $c_{cr} = 250$)						
Minimaler Randabstand	c_{min}	[mm]	50						
Achsabstand	$s_{cr, II}$	[mm]	250						
	$s_{cr, \perp}$	[mm]	250						
Minimaler Achsabstand	s_{min}	[mm]	50						

Tabelle C131: Reduktionsfaktoren für Einzelanker unter Randeinfluss

Zuglast			Querlast					
			Senkrecht zum freien Rand			Parallel zum freien Rand		
	mit $c \geq$	$\alpha_{edge, N}$		mit $c \geq$	$\alpha_{edge, V \perp}$		mit $c \geq$	$\alpha_{edge, V II}$
	50	1,00		50	0,25		50	1,00
	120	1,00		250	1,00		120	1,00

Soudal Injektionssystem VE-SF

Leistungen Hochlochziegel MZ90-G mit integrierter Wärmedämmung
Beschreibung des Steins, Installationsparameter, Reduktionsfaktoren

Anhang C 41

Steintyp: Hochlochziegel Thermoplan MZ90-G mit integrierter Wärmedämmung

Tabelle C132: Faktoren für Ankergruppen unter Zuglast

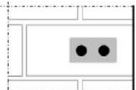
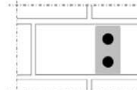
Ankeranordnung parallel zur Lagerfuge				Ankeranordnung senkrecht zur Lagerfuge			
	mit c ≥	mit s ≥	$\alpha_{g II, N}$		mit c ≥	mit s ≥	$\alpha_{g \perp, N}$
	50	50	1,00		50	50	1,00
	120	250	2,00		120	250	2,00

Tabelle C133: Faktoren für Ankergruppen unter Querlast

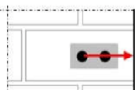
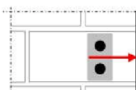
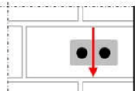
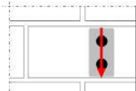
	Ankeranordnung parallel zur Lagerfuge				Ankeranordnung senkrecht zur Lagerfuge			
		mit c ≥	mit s ≥	$\alpha_{g II, V \perp}$		mit c ≥	mit s ≥	$\alpha_{g \perp, V \perp}$
Querlast senkrecht zum freien Rand		50	50	0,75		50	50	0,50
		250	50	2,00		250	50	1,70
	250	250	2,00	250	250	2,00		
Querlast parallel zum freien Rand		mit c ≥	mit s ≥	$\alpha_{g II, V II}$		mit c ≥	mit s ≥	$\alpha_{g \perp, V II}$
		50	50	1,65		50	50	1,15
		120	250	2,00		120	250	2,00

Tabelle C134: Charakteristische Werte der Tragfähigkeit unter Zug- und Querlast

Ankergröße	Siebhülse	Effektive Verankerungstiefe	Charakteristischer Widerstand bei $c \geq c_{cr}$ und $s \geq s_{cr}$						
			Nutzungsbedingungen						
			d/d			w/d w/w			d/d w/d w/w
			40°C/24°C	80°C/50°C	120°C/72°C	40°C/24°C	80°C/50°C	120°C/72°C	Alle Temperaturbereiche
		h_{ef}	$N_{Rk,b} = N_{Rk,p}$			$N_{Rk,b} = N_{Rk,p}$			$V_{Rk,b}^{2)}$
		[mm]	[kN]						
Druckfestigkeit $f_b \geq 12 \text{ N/mm}^2$ ¹⁾									
M8	12x80	80	3,0	3,0	2,5	3,0	3,0	2,5	4,0
M8 / M10/ IG-M6	16x85	85							
	16x130	130							
M12 / IG-M8	20x85	85	3,5	3,5	3,0	3,5	3,5	3,0	7,5
	20x130	130							
	20x200	200							
M16 / IG-M10	20x85	85	3,5	3,5	3,0	3,5	3,5	3,0	7,5
	20x130	130							
	20x200	200							

1) Für geringere Druckfestigkeiten müssen die Widerstände mit dem Umrechnungsfaktor nach Tabelle C129 multipliziert werden.

2) $V_{Rk,c}$ gemäß Anhang C3

Tabelle C135: Verschiebungen

Ankergröße	h_{ef}	δ_N / N	δ_{N0}	$\delta_{N\infty}$	δ_V / V	δ_{V0}	$\delta_{V\infty}$
	[mm]	[mm/kN]	[mm]	[mm]	[mm/kN]	[mm]	[mm]
M8 – M12, IG-M6 – M10	alle	0,13	0,13 * $N_{Rk} / 3,5$	2 * δ_{N0}	0,55	0,55 * $V_{Rk} / 3,5$	1,5 * δ_{V0}
M16	alle				0,31	0,31 * $V_{Rk} / 3,5$	1,5 * δ_{V0}

Soudal Injektionssystem VE-SF

Leistungen Hochlochziegel MZ90-G mit integrierter Wärmedämmung
Gruppenfaktoren, charakteristische Tragfähigkeiten und Verschiebungen

Anhang C 42

Steintyp: Leichtbetonlochstein HBL 16DF

Tabelle C136: Beschreibung des Steins

Steintyp	Leichtbetonlochstein HBL 16DF	
Dichte	ρ [kg/dm ³]	$\geq 1,0$
Druckfestigkeit	f_b [N/mm ²]	$\geq 3,1$
Umrechnungsfaktor für geringere Druckfestigkeiten	$(f_b / 3,1)^{0,5} \leq 1,0$	
Norm	EN 771-3:2015	
Hersteller (Land)	z.B. KLB Klimaleichtblock (DE)	
Steinabmessungen	[mm]	500 x 250 x 240
Bohrverfahren	Drehbohren	

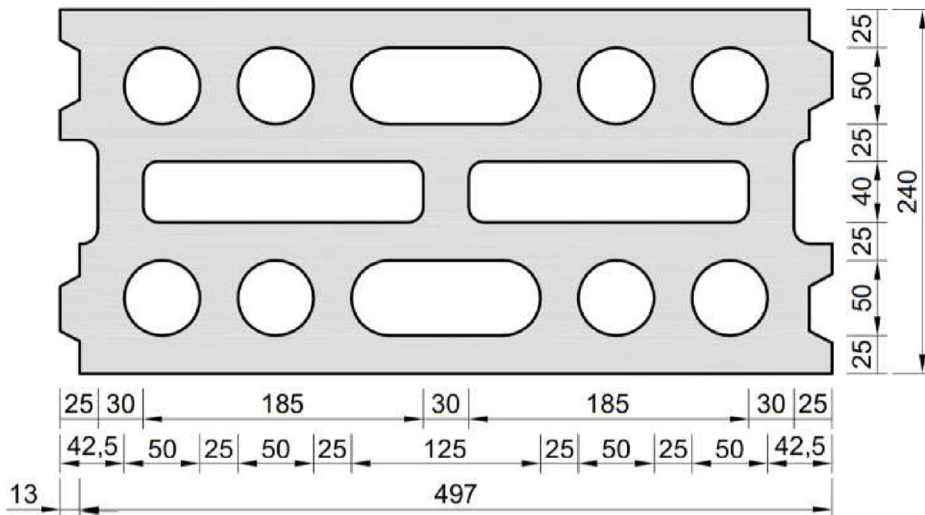


Tabelle C137: Installationsparameter

Ankergröße		[-]	M8	M10	M12	M16	IG-M6	IG-M8	IG-M10
Installationsdrehmoment	T_{inst}	[Nm]	≤ 2	≤ 2	≤ 5	≤ 5	≤ 2	≤ 5	≤ 5
Randabstand	c_{cr}	[mm]	120 (für Querlasten senkrecht zum freien Rand: $c_{cr} = 250$)						
Minimaler Randabstand	c_{min}	[mm]	50						
Achsabstand	$s_{cr, II}$	[mm]	500						
	$s_{cr, \perp}$	[mm]	250						
Minimaler Achsabstand	s_{min}	[mm]	50						

Tabelle C138: Reduktionsfaktoren für Einzelanker unter Randeinfluss

Zuglast			Querlast					
mit $c \geq$	$\alpha_{edge, N}$	Senkrecht zum freien Rand	Senkrecht zum freien Rand			Parallel zum freien Rand		
			mit $c \geq$	$\alpha_{edge, V \perp}$	mit $c \geq$	$\alpha_{edge, V II}$		
50	1,00		50	0,30		50	1,00	
120	1,00		250	1,00		120	1,00	

Soudal Injektionssystem VE-SF

Leistungen Leichtbetonlochstein HBL 16DF
Beschreibung des Steins, Installationsparameter, Reduktionsfaktoren

Anhang C 43

Steintyp: Leichtbetonlochstein HBL 16DF

Tabelle C139: Faktoren für Ankergruppen unter Zuglast

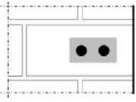
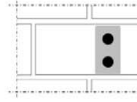
Ankeranordnung parallel zur Lagerfuge				Ankeranordnung senkrecht zur Lagerfuge			
	mit $c \geq$	mit $s \geq$	$\alpha_{g II, N}$		mit $c \geq$	mit $s \geq$	$\alpha_{g \perp, N}$
	50	50	2,00		50	50	1,55
	120	500	2,00		120	250	2,00

Tabelle C140: Faktoren für Ankergruppen unter Querlast

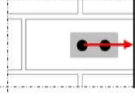
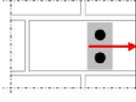
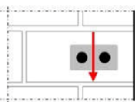
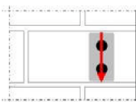
	Ankeranordnung parallel zur Lagerfuge				Ankeranordnung senkrecht zur Lagerfuge				
Querlast senkrecht zum freien Rand 	mit $c \geq$	mit $s \geq$	$\alpha_{g II, V \perp}$			mit $c \geq$	mit $s \geq$	$\alpha_{g \perp, V \perp}$	
	50	50	0,60			50	50	0,35	
	120	50	2,00			120	50	1,15	
Querlast parallel zum freien Rand 	mit $c \geq$	mit $s \geq$	$\alpha_{g II, V II}$			mit $c \geq$	mit $s \geq$	$\alpha_{g \perp, V II}$	
	50	50	1,30			50	50	1,00	
	120	250	2,00			120	250	2,00	

Tabelle C141: Charakteristische Werte der Tragfähigkeit unter Zug- und Querlast

Ankergröße	Siebhülse	Effektive Verankerungstiefe	Charakteristischer Widerstand bei $c \geq c_{cr}$ und $s \geq s_{cr}$							
			Nutzungsbedingungen							
			d/d			w/d w/w			d/d w/w	
			40°C/24°C	80°C/50°C	120°C/72°C	40°C/24°C	80°C/50°C	120°C/72°C	Alle Temperaturbereiche	
		h_{ef}	$N_{Rk,b} = N_{Rk,p}$			$N_{Rk,b} = N_{Rk,p}$			$V_{Rk,b}^{2)}$	
		[mm]	[kN]							
Druckfestigkeit $f_b \geq 3,1 \text{ N/mm}^2$ ¹⁾										
M8 / M10/ IG-M6	16x85	85	1,2	1,2	0,9	1,2	1,2	0,9	2,0	
	16x130	130								
M12 / IG-M8	20x85	85	1,5	1,5	1,2	1,5	1,5	1,2	3,0	
	20x130	130								
	20x200	200								
M16 / IG-M10	20x85	85	1,5	1,5	1,2	1,5	1,5	1,2	5,0	
	20x130	130								
	20x200	200								

1) Für geringere Druckfestigkeiten müssen die Widerstände mit dem Umrechnungsfaktor nach Tabelle C136 multipliziert werden.

2) $V_{Rk,c}$ gemäß Anhang C3

Tabelle C142: Verschiebungen

Ankergröße	h_{ef}	δ_N / N	δ_{N0}	$\delta_{N\infty}$	δ_V / V	δ_{V0}	$\delta_{V\infty}$
	[mm]	[mm/kN]	[mm]	[mm]	[mm/kN]	[mm]	[mm]
M8 – M12, IG-M6 – M10	alle	0,13	0,13 * $N_{Rk} / 3,5$	2 * δ_{N0}	0,55	0,55 * $V_{Rk} / 3,5$	1,5 * δ_{V0}
M16	alle				0,31	0,31 * $V_{Rk} / 3,5$	1,5 * δ_{V0}

Soudal Injektionssystem VE-SF

Leistungen Leichtbetonlochstein HBL 16DF
Gruppenfaktoren, charakteristische Tragfähigkeiten und Verschiebungen

Anhang C 44

Steintyp: Betonlochstein Bloc Creux B40

Tabelle C143: Beschreibung des Steins

Steintyp	Betonlochstein Bloc Creux B40		
Dichte	ρ [kg/dm ³]	≥ 0,8	
Druckfestigkeit	f_b [N/mm ²]	≥ 5,2	
Umrechnungsfaktor für geringere Druckfestigkeiten	$(f_b / 5,2)^{0,5} \leq 1,0$		
Norm	EN 771-3:2015		
Hersteller (Land)	z.B. Leroux (FR)		
Steinabmessungen	[mm]	500 x 200 x 200	
Bohrverfahren	Drehbohren		

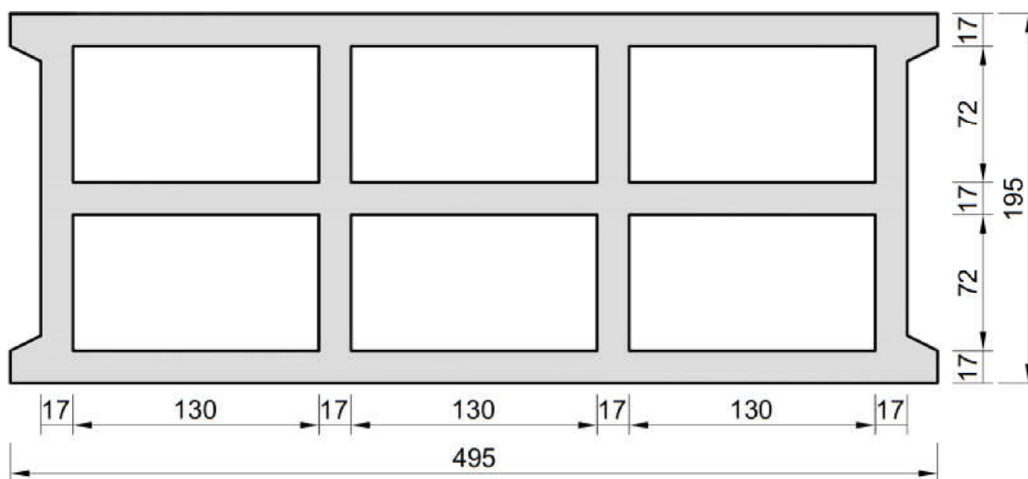
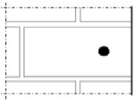
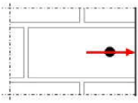
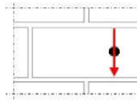


Tabelle C144: Installationsparameter

Ankergröße		[-]	M8	M10	M12	M16	IG-M6	IG-M8	IG-M10
Installationsdrehmoment	T_{inst}	[Nm]	≤ 4	≤ 4	≤ 4	≤ 4	≤ 4	≤ 4	≤ 4
Randabstand	c_{cr}	[mm]	120 (für Querlasten senkrecht zum freien Rand: $c_{cr} = 170$)						
Minimaler Randabstand	c_{min}	[mm]	50						
Achsabstand	$s_{cr, II}$	[mm]	170						
	$s_{cr, \perp}$	[mm]	200						
Minimaler Achsabstand	s_{min}	[mm]	50						

Tabelle C145: Reduktionsfaktoren für Einzelanker unter Randeinfluss

Zuglast			Querlast					
			Senkrecht zum freien Rand			Parallel zum freien Rand		
	mit $c \geq$	$\alpha_{edge, N}$		mit $c \geq$	$\alpha_{edge, V \perp}$		mit $c \geq$	$\alpha_{edge, V II}$
	50	1,00		50	0,35		50	1,00
	120	1,00		170	1,00		120	1,00

Soudal Injektionssystem VE-SF

Leistungen Betonlochstein Bloc Creux B40

Beschreibung des Steins, Installationsparameter, Reduktionsfaktoren

Anhang C 45

Steintyp: Betonlochstein Bloc Creux B40

Tabelle C146: Faktoren für Ankergruppen unter Zuglast

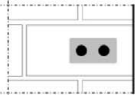
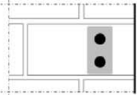
Ankeranordnung parallel zur Lagerfuge				Ankeranordnung senkrecht zur Lagerfuge			
	mit $c \geq$	mit $s \geq$	$\alpha_{g II, N}$		mit $c \geq$	mit $s \geq$	$\alpha_{g \perp, N}$
	50	50	1,50		50	50	1,40
	50	170	2,00		50	200	2,00
	120	170	2,00		120	200	2,00

Tabelle C147: Faktoren für Ankergruppen unter Querlast

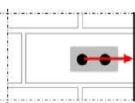
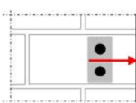
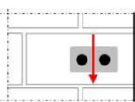
Querlast	Ankeranordnung parallel zur Lagerfuge				Ankeranordnung senkrecht zur Lagerfuge			
		mit $c \geq$	mit $s \geq$	$\alpha_{g II, V \perp}$		mit $c \geq$	mit $s \geq$	$\alpha_{g \perp, V \perp}$
senkrecht zum freien Rand		50	50	0,55		50	50	0,35
	120	50	1,30	120	50	0,85		
	120	170	2,00	120	200	2,00		
parallel zum freien Rand		mit $c \geq$	mit $s \geq$	$\alpha_{g II, V \parallel}$		mit $c \geq$	mit $s \geq$	$\alpha_{g \perp, V \parallel}$
		50	50	1,10		50	50	1,00
		120	170	2,00		50	200	2,00
		120	200	2,00		120	200	2,00

Tabelle C148: Charakteristische Werte der Tragfähigkeit unter Zug- und Querlast

Ankergröße	Siebhülse	Effektive Verankerungstiefe	Charakteristischer Widerstand bei $c \geq c_{cr}$ und $s \geq s_{cr}$						
			Nutzungsbedingungen						
			d/d			w/d w/w			d/d w/d w/w
			40°C/24°C	80°C/50°C	120°C/72°C	40°C/24°C	80°C/50°C	120°C/72°C	Alle Temperaturbereiche
		h_{ef}	$N_{Rk,b} = N_{Rk,p}$			$N_{Rk,b} = N_{Rk,p}$			$V_{Rk,b}^{2)}$
		[mm]	[kN]						
Druckfestigkeit $f_b \geq 5,2 \text{ N/mm}^2$ ¹⁾									
M8 / M10 / IG-M6	16x130	130	2,0	1,5	1,2	2,0	1,5	1,2	6,0
M12 / IG-M8	20x130	130							
M16 / IG-M10	20x130	130							

1) Für geringere Druckfestigkeiten müssen die Widerstände mit dem Umrechnungsfaktor nach Tabelle C143 multipliziert werden.

2) $V_{Rk,c}$ gemäß Anhang C3

Tabelle C149: Verschiebungen

Ankergröße	h_{ef}	$\delta N / N$	δN_0	δN_{∞}	$\delta V / V$	δV_0	δV_{∞}
	[mm]	[mm/kN]	[mm]	[mm]	[mm/kN]	[mm]	[mm]
M8 – M12, IG-M6 – M10	alle	0,13	$0,13 \cdot N_{Rk} / 3,5$	$2 \cdot \delta N_0$	0,55	$0,55 \cdot V_{Rk} / 3,5$	$1,5 \cdot \delta V_0$
M16	alle				0,31	$0,31 \cdot V_{Rk} / 3,5$	$1,5 \cdot \delta V_0$

Soudal Injektionssystem VE-SF

Leistungen Betonlochstein Bloc Creux B40
Gruppenfaktoren, charakteristische Tragfähigkeiten und Verschiebungen

Anhang C 46

Steintyp: Leichtbetonvollstein

Tabelle C150: Beschreibung des Steins

Steintyp	Leichtbetonvollstein	
Dichte	ρ [kg/dm ³]	$\geq 0,6$
Druckfestigkeit	f_b [N/mm ²]	≥ 2
Umrechnungsfaktor für geringere Druckfestigkeiten	$(f_b / 2)^{0,5} \leq 1,0$	
Norm	EN 771-3:2015	
Hersteller (Land)	z.B. Bisotherm (DE)	
Steinabmessungen	[mm]	$\geq 240 \times 300 \times 113$
Bohrverfahren	Drehbohren	



Tabelle C151: Installationsparameter

Ankergröße		[-]	M8	M10	M12	M16	IG-M6	IG-M8	IG-M10
Installationsdrehmoment	T_{inst}	[Nm]	≤ 2						
Randabstand	c_{cr}	[mm]	150						
Minimaler Randabstand	c_{min}	[mm]	60						
Achsabstand	$s_{cr, II}$	[mm]	300						
	$s_{cr, \perp}$	[mm]	300						
Minimaler Achsabstand	s_{min}	[mm]	120						

Tabelle C152: Reduktionsfaktoren für Einzelanker unter Randeinfluss

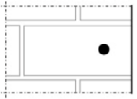
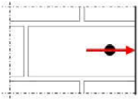
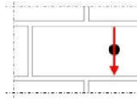
Zuglast			Querlast					
			Senkrecht zum freien Rand			Parallel zum freien Rand		
	mit $c \geq$	$\alpha_{edge, N}$		mit $c \geq$	$\alpha_{edge, V \perp}$		mit $c \geq$	$\alpha_{edge, V II}$
	60	1,00		60	0,25		60	0,40
	150	1,00		150	1,00		100	1,00

Tabelle C153: Faktoren für Ankergruppen unter Zuglast

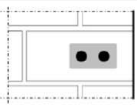
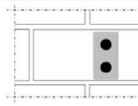
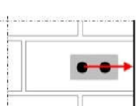
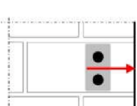
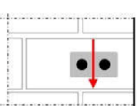
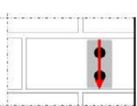
Ankeranordnung parallel zur Lagerfuge				Ankeranordnung senkrecht zur Lagerfuge			
	mit $c \geq$	mit $s \geq$	$\alpha_{g II, N}$		mit $c \geq$	mit $s \geq$	$\alpha_{g \perp, N}$
	60	120	1,00		60	120	1,00
	150	300	2,00		150	300	2,00

Tabelle C154: Faktoren für Ankergruppen unter Querlast

	Ankeranordnung parallel zur Lagerfuge				Ankeranordnung senkrecht zur Lagerfuge			
Querlast senkrecht zum freien Rand		mit $c \geq$	mit $s \geq$	$\alpha_{g II, V \perp}$		mit $c \geq$	mit $s \geq$	$\alpha_{g \perp, V \perp}$
		60	120	0,25		60	120	0,25
		150	120	1,00		150	120	1,00
Querlast parallel zum freien Rand		mit $c \geq$	mit $s \geq$	$\alpha_{g II, V II}$		mit $c \geq$	mit $s \geq$	$\alpha_{g \perp, V II}$
		60	120	0,40		60	120	0,40
		100	120	1,00		100	120	1,00
		150	300	2,00		150	300	2,00

Soudal Injektionssystem VE-SF

Leistungen Leichtbetonvollstein

Beschreibung des Steins, Installationsparameter, Reduktions- und Gruppenfaktoren

Anhang C 47

Steintyp: Leichtbetonvollstein

Tabelle C155: Charakteristische Werte der Tragfähigkeit unter Zug- und Querlast

		Effektive Verankerungs- tiefe	Charakteristischer Widerstand bei $c \geq c_{cr}$ und $s \geq s_{cr}$						
			Nutzungsbedingungen						
Ankergröße	Siebhülse		d/d			w/d w/w			d/d w/d w/w
			40°C/24°C	80°C/50°C	120°C/72°C	40°C/24°C	80°C/50°C	120°C/72°C	Alle Temperatur- bereiche
		h_{ef}	$N_{Rk,b} = N_{Rk,p}$			$N_{Rk,b} = N_{Rk,p}$			$V_{Rk,b}^{2)}$
		[mm]	[kN]						
Druckfestigkeit $f_b \geq 2 \text{ N/mm}^2$ ¹⁾									
M8	-	80	3,0	2,5	2,0	2,5	2,0	1,5	3,0
M10 / IG-M6	-	90							
M12 / IG-M8	-	100							
M16 / IG-M10	-	100							
M8	12x80	80	2,5	2,5	2,0	2,5	2,0	1,5	
M8 / M10/ IG-M6	16x85	85							
	16x130	130							
	20x85	85							
M12 / IG-M8	20x130	130							
	20x200	200							
M16 / IG-M10	20x85	85							
	20x130	130							
	20x200	200							

1) Für geringere Druckfestigkeiten müssen die Widerstände mit dem Umrechnungsfaktor nach Tabelle C150 multipliziert werden.

2) $V_{Rk,c}$ gemäß Anhang C3

Tabelle C156: Verschiebungen

Ankergröße	h_{ef}	$\delta N / N$	δN_0	δN_{∞}	$\delta V / V$	δV_0	δV_{∞}
	[mm]	[mm/kN]	[mm]	[mm]	[mm/kN]	[mm]	[mm]
M8 – M12, IG-M6 – M10	alle	0,1	0,1 * $N_{Rk} / 3,5$	2 * δN_0	0,3	0,3 * $V_{Rk} / 3,5$	1,5 * δV_0
M16	alle				0,1	0,1 * $V_{Rk} / 3,5$	1,5 * δV_0

Soudal Injektionssystem VE-SF

Leistungen Leichtbetonvollstein
Charakteristische Tragfähigkeiten und Verschiebungen

Anhang C 48